

สำนักหอสมุด มหาวิทยาลัยบูรพา

ต.แสลงสุข อ.เมือง จ.ชลบุรี 20131

ไข้ดีดพะห้องกันย์บีชเมือง ภาคตะวันออก

การศึกษา Cysts อันอาจเป็นสาเหตุของการเกิดปรากฏการณ์เปลี่ยนสีบริเวณ
ชายฝั่งตะวันออกของอ่าวไทย

(Studies on cysts : possible clues of red tide phenomena along the
Eastern Coast of Thailand)

โดย

สมควิด จริตควร และ สมภพ รุ่งสุภา

¹ ภาควิชาเคมีศาสตร์ คณะวิทยาศาสตร์ มหาวิทยาลัยบูรพา ชลบุรี

² งานสมุทรศาสตร์และตรวจเฝ้าระวังมลพิษบริเวณชายฝั่งทะเลตะวันออก
สถานีวิจัยวิทยาศาสตร์ทางทะเลและศูนย์ฝึกนักสิิต เกาะสีชัง³
สถาบันวิจัยทรัพยากรทางน้ำ จุฬาลงกรณ์มหาวิทยาลัย ชลบุรี

บทคัดย่อ

ทำการออกเก็บตัวอย่างดินตะกอนบริเวณอ่าวไทยตอนบน ตึ้งแต่บริเวณปากแม่น้ำบางปะกง จนถึง ศรีราชา และ ภาคสีชั้ง ระหว่าง เดือนสิงหาคม 2538-เดือนสิงหาคม 2539 โดยตัดเฉพาะผิวน้ำดินหนา 2 ซม. เก็บด้วยเครื่องมือเก็บตัวอย่างดินที่ไม่ทำให้ขี้นดินถูกทำลายหรือเสียรูป ส่วนหนึ่งนำร่อนด้วยตะแกรงร่อนตาที่เพื่อนำสิ่งที่ค้างอยู่มาตรวจด้วยกล้อง กลุ่มรรศน์กำลังขยายสูง อีกส่วนหนึ่งนำมาใส่หลอดทดลองเติมน้ำทะเลกรองทิ้งไว้ 1 วัน นำน้ำตัวอย่างขึ้นบนมาตรวจด้วยกล้อง กลุ่มรรศน์กำลังขยายสูง เปลี่ยน้ำทะเลกรอง เช่นนี้เป็นเวลา 5 วันต่อเนื่อง ผลการศึกษาพบ Cyst ของ *Phaeopolykrikos* sp. มากและบ่อยที่สุด โดยมีลักษณะกลมมีหนามเล็กๆ โดยรอบ ปากแม่น้ำบางปะกงเป็นบริเวณที่พบบ่อยที่สุด โดยเฉพาะอย่างยิ่งในเดือนกรกฎาคม 2539 หรือในช่วงฤดูหนาว จำนวนตัวอย่างที่พบได้โดยรวมแล้วต่ำเทียบกับตัวอย่างทั้งหมดที่เก็บ ขึ้นอยู่มากอยู่ในช่วง 6.6-40 % และการตรวจตอบด้วยวิธีเพาะขยายในหลอดทดลอง ได้ผลดีกว่าการกรองด้วยตะแกรงตาที่

ABSTRACT

Sediment sampling covered Bangpakong River Mouth to Srilacha and Sichang island from August 1995 - August 1996. The top 2 cm. of non destroyed structure sediment by special corer was divided into two part. One was sonicated and sieved with stainless steel sieve and let filtered sample to study type and shape with high resolution microscope. The other was incubated in test tube by filter seawater (from the sampling site) incubated for 1 day and check the seawater above under high resolution microscope. The new filter seawater was changed daily and continuous monitoring for 5 days. The result was that *Phaeopolykrikos* sp. cyst cyst was round shape covered with tiny spine was the most frequency and abundant. The appearance of dinoflagellate cysts were dominant in Bangpakong River Mouth, especially in January 1996 or winter season. And the frequency of dinoflagellate cyst was only 6.6-40.0 % of total samples. In this studied the cultured method was better than the sieving method.

Somtawin JARITKHUAN¹ and Sompop RUNGSUPA²

¹ Aquatic Science Department , Faculty of Science, Burapha University, Chonburi Province.

² Sichang Marine Scicence Research Station, Aquatic Resources Research Institute, Chulalongkorn University, Sichang Island, Chonburi Province

สารบัญ

รายละเอียด

หน้า

บทคัดย่อ

ABSTRACT

สารบัญตาราง

สารบัญรูป

สารบัญภาคผนวก

ความสำคัญและที่มา

วัตถุประสงค์ของโครงการ

สำรวจเอกสาร

การศึกษาเกี่ยวกับ Dinoflagellate Cysts ในต่างประเทศ

การศึกษาเกี่ยวกับ Dinoflagellate Cysts ในประเทศไทย

วิธีดำเนินการ

ผลการศึกษา

สรุปและวิารณ์ผลการศึกษา

คำขอเบิกบุญ

เอกสารอ้างอิง

ภาคผนวก

i

ii

iv

vi

vii

1

2

2

5

8

13

28

40

41

45

สารบัญตาราง

รายละเอียด

หน้า

ตารางที่ 1 แสดงสถานีเก็บตัวอย่างและลักษณะดินตะกอน บริเวณอ่าวไทยตอนบน ผังตะวันออก พศ. 2538-2539	8
ตารางที่ 2 แสดงคุณภาพน้ำเฉลี่ย บริเวณอ่าวไทยตอนบน ผังตะวันออก พศ. 2538 - 2539	13
ตารางที่ 3 แสดงปริมาณชาตุอาหารเฉลี่ยบริเวณอ่าวไทยตอนบน ผังตะวันออก พศ. 2538 - 2539	14
ตารางที่ 4 แสดงปริมาณคีดอฟิล์ด เบ ซี และ ซี เนลี่ย (mg/cu.m) บริเวณอ่าวไทยตอนบน ผังตะวันออก พศ. 2538 - 2539	15
ตารางที่ 5 แสดงชนิดและ % frequency ของไดโนแฟลกелоเดตซีส ที่พบบ่อยที่สุด ที่สถานีเก็บตัวอย่างบริเวณชายฝั่งตะวันออก ของอ่าวไทย เมื่อทำการศึกษาด้วยวิธีกรอง (sieve-method) และ วิธีเพาะขยายในหลอดทดลอง (culture-method)	16
ตารางที่ 6.1 แสดงชนิดและความหนาแน่น ($\times 10^6$ เชลล์/ลูกบาศก์เมตร) ของแพลงก์ตอนพืชชนิดเด่นบริเวณอ่าวไทยตอนบน ผังตะวันออก เดือนสิงหาคม พศ. 2538	19
ตารางที่ 6.2 แสดงชนิดและความหนาแน่น ($\times 10^6$ เชลล์/ลูกบาศก์เมตร) ของแพลงก์ตอนพืชชนิดเด่นบริเวณอ่าวไทยตอนบน ผังตะวันออก เดือนตุลาคม พศ. 2538	19
ตารางที่ 6.3 แสดงชนิดและความหนาแน่น ($\times 10^6$ เชลล์/ลูกบาศก์เมตร) ของแพลงก์ตอนพืชชนิดเด่นบริเวณอ่าวไทยตอนบน ผังตะวันออก เดือนมกราคม พศ. 2539	20
ตารางที่ 6.4 แสดงชนิดและความหนาแน่น ($\times 10^6$ เชลล์/ลูกบาศก์เมตร) ของแพลงก์ตอนพืชชนิดเด่นบริเวณอ่าวไทยตอนบน ผังตะวันออก เดือนมีนาคม พศ. 2539	20

ตารางที่ 6.5 แสดงชนิดและความหนาแน่น ($\times 10^6$ เชลล์/ลูกบาศก์เมตร) ของแพลงก์ตอนพืชชนิดเด่นบริเวณอ่าวไทยตอนบน	21
ผังตะวันออก เดือนมิถุนายน พศ. 2539	
ตารางที่ 6.6 แสดงชนิดและความหนาแน่น ($\times 10^6$ เชลล์/ลูกบาศก์เมตร) ของแพลงก์ตอนพืชชนิดเด่นบริเวณอ่าวไทยตอนบน	21
ผังตะวันออก เดือนสิงหาคม พศ. 2539	
ตารางที่ 6.7 แสดงความหนาแน่นรวม (total density : $\times 10^6$ เชลล์/ลูกบาศก์เมตร) ของแพลงก์ตอนพืชบริเวณอ่าวไทยตอนบน	22
ผังตะวันออก : พศ. 2538-2539	
ตารางที่ 6.8 แสดงจำนวน genera รวม (total genera)	23
ของแพลงก์ตอนพืชชนิดเด่นบริเวณอ่าวไทยตอนบน	
ผังตะวันออก : พศ. 2538 - 2539	
ตารางที่ 7 แสดงปริมาณสารอินทรีย์ที่ถูกออกซิได้ (%) oxidisable organic matter) บริเวณอ่าวไทยตอนบนผังตะวันออก พศ. 2538-2539	26
ตารางที่ 8 แสดงปริมาณซัลไฟต์ในดินตะกอน (mM/gm wet wt sed) บริเวณ อ่าวไทยตอนบนผังตะวันออก พศ. 2538-2539	27
ตารางที่ 9 แสดงปริมาณน้ำเปลี่ยนสี และการศึกษาเกี่ยวกับแพลงก์ตอนพืช ในกลุ่มไครโนแฟลกเจลเลตในอ่าวไทย	34
ตารางที่ 10 แสดงแพลงก์ตอนพืชชนิดเด่นที่พบบริเวณปากแม่น้ำบางปะกงถึง ศรีราชา พศ. 2538	38

สารบัญรูป

รายละเอียด

หน้า

รูปที่ 1 แสดงสถานีเก็บตัวอย่างบริเวณที่ศึกษาชายฝั่งทะเลตะวันออก
ของอ่าวไทยตอนบน 9

รูปที่ 2 แสดง Gravity Corer ซึ่งมีขนาดเส้นผ่าศูนย์กลางท่อเก็บตัวอย่าง 10
ขนาด 3 นิ้ว ใช้สำหรับระดับน้ำลึกเกิน 8 เมตร

รูปที่ 3 แสดง Hand Corer ซึ่งมีขนาดเส้นผ่าศูนย์กลางท่อเก็บตัวอย่าง 10
ขนาด 3 นิ้ว ใช้สำหรับระดับ น้ำลึกน้อยกว่า 8 เมตร

รูปที่ 4 แสดงการกลั่นเพื่อวิเคราะห์ปริมาณซัลไฟฟ์ในคืนตะกอน 12

รูปที่ 5 แสดง cysts ของ *Phaeopolykrikos hartmannii* ที่พบในการศึกษา
ครั้งนี้ ที่สังเกตจากการใช้กล้องจุลทรรศน์ กำลังขยาย $10*40$ เท่า 30

รูปที่ 6 แสดง cysts ของ *Phaeopolykrikos hartmannii* ที่พบในประเทศไทย 31
และประเทศไทย

รูปที่ 7 แสดง cysts ของ *Scrippsiella trochoidea* ที่พบในการศึกษาครั้งนี้ 31
ที่สังเกตจากการใช้กล้องจุลทรรศน์ กำลังขยาย $10*40$ เท่า

รูปที่ 8 แสดง cysts ของ *Scrippsiella trochoidea* ที่พบในประเทศไทย 32

รูปที่ 9 แสดงบริเวณที่เกย gekid ปรากฏการณ์น้ำเปลี่ยนสี (Harmful Algal Bloom) ในบริเวณภูมิภาคอาเซียน 44

ภาคผนวก

รายละเอียด	หน้า
ตารางที่ 1 แสดงคุณภาพน้ำทั่วไปบริเวณที่ศึกษาอย่างทั่วไป	45
ตะวันออกของอ่าวไทยตอนบน : เดือนสิงหาคม พศ. 2538	
ตารางที่ 2 แสดงคุณภาพน้ำทั่วไปบริเวณที่ศึกษาอย่างทั่วไป	47
ตะวันออกของอ่าวไทยตอนบน : เดือนตุลาคม พศ. 2538	
ตารางที่ 3 แสดงคุณภาพน้ำทั่วไปบริเวณที่ศึกษาอย่างทั่วไป	49
ตะวันออกของอ่าวไทยตอนบน : เดือนมกราคม พศ. 2539	
ตารางที่ 4 แสดงคุณภาพน้ำทั่วไปบริเวณที่ศึกษาอย่างทั่วไป	51
ตะวันออกของอ่าวไทยตอนบน : เดือนมีนาคม พศ. 2539	
ตารางที่ 5 แสดงคุณภาพน้ำทั่วไปบริเวณที่ศึกษาอย่างทั่วไป	53
ตะวันออกของอ่าวไทยตอนบน : เดือนมิถุนายน พศ. 2539	
ตารางที่ 6 แสดงคุณภาพน้ำทั่วไปบริเวณที่ศึกษาอย่างทั่วไป	55
ตะวันออกของอ่าวไทยตอนบน : เดือนสิงหาคม พศ. 2539	
ตารางที่ 7 แสดงปริมาณธาตุอาหารบริเวณที่ศึกษาอย่างทั่วไป	57
ตะวันออกของอ่าวไทยตอนบน : เดือนสิงหาคม พศ. 2538	
ตารางที่ 8 แสดงปริมาณธาตุอาหารบริเวณที่ศึกษาอย่างทั่วไป	58
ตะวันออกของอ่าวไทยตอนบน : เดือนตุลาคม พศ. 2538	
ตารางที่ 9 แสดงปริมาณธาตุอาหารบริเวณที่ศึกษาอย่างทั่วไป	59
ตะวันออกของอ่าวไทยตอนบน : เดือนมกราคม พศ. 2539	
ตารางที่ 10 แสดงปริมาณธาตุอาหารบริเวณที่ศึกษาอย่างทั่วไป	60
ตะวันออกของอ่าวไทยตอนบน : เดือนมีนาคม พศ. 2539	
ตารางที่ 11 แสดงปริมาณธาตุอาหารบริเวณที่ศึกษาอย่างทั่วไป	61
ตะวันออกของอ่าวไทยตอนบน : เดือนมิถุนายน พศ. 2539	
ตารางที่ 12 แสดงปริมาณธาตุอาหารบริเวณที่ศึกษาอย่างทั่วไป	62
ตะวันออกของอ่าวไทยตอนบน : เดือนสิงหาคม พศ. 2539	

รายละเอียด

หน้า

ตารางที่ 13 แสดงปริมาณคลอโรฟิลล์ เอ บี และ ซี (mg/cu. m) บริเวณ 63

ที่ศึกษาชายฝั่งทะเลตะวันออกของอ่าวไทยตอนบน

: เดือนสิงหาคม พศ. 2538

ตารางที่ 14 แสดงปริมาณคลอโรฟิลล์ เอ บี และ ซี (mg/cu. m) 64

บริเวณที่ศึกษา ชายฝั่งทะเลตะวันออกของอ่าวไทยตอนบน

: เดือนตุลาคม พศ. 2538

ตารางที่ 15 แสดงปริมาณคลอโรฟิลล์ เอ บี และ ซี (mg/cu. m) 65

บริเวณที่ศึกษาชายฝั่งทะเลตะวันออกของอ่าวไทยตอนบน

: เดือนมกราคม พศ. 2539

ตารางที่ 16 แสดงปริมาณคลอโรฟิลล์ เอ บี และ ซี (mg/cu. m) 66

บริเวณที่ศึกษาชายฝั่งทะเลตะวันออกของอ่าวไทยตอนบน

: เดือนมีนาคม พศ. 2539

ตารางที่ 17 แสดงปริมาณคลอโรฟิลล์ เอ บี และ ซี (mg/cu. m) 67

บริเวณที่ศึกษาชายฝั่งทะเลตะวันออกของอ่าวไทยตอนบน

: เดือนมิถุนายน พศ. 2539

ตารางที่ 18 แสดงปริมาณคลอโรฟิลล์ เอ บี และ ซี (mg/cu. m) 68

บริเวณที่ศึกษาชายฝั่งทะเลตะวันออกของอ่าวไทยตอนบน

: เดือนสิงหาคม พศ. 2539

ตารางที่ 19 แสดงชนิด จำนวน และ ความถี่ (%) ที่พบ Dinoflagellate 69

Cysts ในดินตะกอนบริเวณที่ศึกษาชายฝั่งทะเลตะวันออกของ

อ่าวไทยตอนบน : เดือนสิงหาคม พศ. 2538

ตารางที่ 20 แสดงชนิด จำนวน และ ความถี่ (%) ที่พบ Dinoflagellate 70

Cysts ในดินตะกอนบริเวณที่ศึกษาชายฝั่งทะเลตะวันออกของ

อ่าวไทยตอนบน : เดือนตุลาคม พศ. 2538

ตารางที่ 21 แสดงชนิด จำนวน และ ความถี่ (%) ที่พบ Dinoflagellate Cysts ในดินตะกอนบริเวณที่ศึกษาชายฝั่งทะเลตะวันออกของอ่าวไทยตอนบน : เดือนมกราคม พศ. 2539	71
ตารางที่ 22 แสดงชนิด จำนวน และ ความถี่ (%) ที่พบ Dinoflagellate Cysts ในดินตะกอนบริเวณที่ศึกษาชายฝั่งทะเลตะวันออกของอ่าวไทยตอนบน : เดือนมีนาคม พศ. 2539	72
ตารางที่ 23 แสดงชนิด จำนวน และ ความถี่ที่พบ Dinoflagellate Cysts ในดินตะกอนบริเวณที่ศึกษาชายฝั่งทะเลตะวันออกของอ่าวไทยตอนบน (เดือนมิถุนายน พศ. 2539)	73
ตารางที่ 24 แสดงชนิด จำนวน และ ความถี่ (%) ที่พบ Dinoflagellate Cysts ในดินตะกอนบริเวณที่ศึกษาชายฝั่งทะเลตะวันออกของอ่าวไทยตอนบน : เดือนสิงหาคม พศ. 2539	74
ตารางที่ 25 แสดงชนิดและความหนาแน่น ($\times 10^6$ cell/cu.m) ของแพลงก์ตอนพืชบริเวณที่ศึกษาชายฝั่งตะวันออกของอ่าวไทยตอนบน : เดือนสิงหาคม พศ. 2538	75
ตารางที่ 26 แสดงชนิดและความหนาแน่น ($\times 10^6$ cell/cu.m) ของแพลงก์ตอนพืชบริเวณที่ศึกษาชายฝั่งตะวันออกของอ่าวไทยตอนบน : เดือนตุลาคม พศ. 2538	76
ตารางที่ 27 แสดงชนิดและความหนาแน่น ($\times 10^6$ cell/cu.m) ของแพลงก์ตอนพืชบริเวณที่ศึกษาชายฝั่งตะวันออกของอ่าวไทยตอนบน : เดือนมกราคม พศ. 2539	78
ตารางที่ 28 แสดงชนิดและความหนาแน่น ($\times 10^6$ cell/cu.m) ของแพลงก์ตอนพืชบริเวณที่ศึกษาชายฝั่งตะวันออกของอ่าวไทยตอนบน : เดือนมีนาคม พศ. 2539	80

ตารางที่ 29 แสดงชนิดและความหนาแน่น ($\times 10^6$ cell/cu.m) ของ แพลงก์ตอนพืชบริเวณที่ศึกษาชายฝั่งทะเลตะวันออก ของอ่าวไทยตอนบน : เดือนมิถุนายน พศ. 2539	81
ตารางที่ 30 แสดงชนิดและความหนาแน่น ($\times 10^6$ cell/cu.m) ของ แพลงก์ตอนพืชบริเวณที่ศึกษาชายฝั่งตะวันออก ของอ่าวไทยตอนบน : เดือนสิงหาคม พศ. 2539	83
ตารางที่ 31 แสดงปริมาณอินทรีย์สารในดินตะกอน (%) ฝั่งตะวันออก ของอ่าวไทยตอนบน : เดือนสิงหาคม พศ. 2538	84
ตารางที่ 32 แสดงปริมาณอินทรีย์สารในดินตะกอน (%) ฝั่งตะวันออก ของอ่าวไทยตอนบน : เดือนตุลาคม พศ. 2538	86
ตารางที่ 33 แสดงปริมาณอินทรีย์สารในดินตะกอน (%) ฝั่งตะวันออก ของอ่าวไทยตอนบน : เดือนกรกฎาคม พศ. 2539	88
ตารางที่ 34 แสดงปริมาณอินทรีย์สารในดินตะกอน (%) ฝั่งตะวันออก ของอ่าวไทยตอนบน : เดือนมีนาคม พศ. 2539	90
ตารางที่ 35 แสดงปริมาณอินทรีย์สารในดินตะกอน (%) ฝั่งตะวันออก ของอ่าวไทยตอนบน : เดือนมิถุนายน พศ. 2539	92
ตารางที่ 36 แสดงปริมาณอินทรีย์สารในดินตะกอน (%) ฝั่งตะวันออก ของอ่าวไทยตอนบน : เดือนสิงหาคม พศ. 2539	93
ตารางที่ 37 แสดงปริมาณซัลไฟฟ์ในดินตะกอน (mM/gm wet wt sed) บริเวณที่ศึกษาฝั่งทะเลตะวันออกของอ่าวไทยตอนบน : เดือนสิงหาคม พศ. 2538	95
ตารางที่ 38 แสดงปริมาณซัลไฟฟ์ในดินตะกอน (mM/gm wet wt sed) บริเวณที่ศึกษาฝั่งทะเลตะวันออกของอ่าวไทยตอนบน : เดือนตุลาคม พศ. 2538	96

ตารางที่ 39 แสดงปริมาณซัลไฟฟ์ในดินตะกอน (mM/gm wet wt sed) 98

บริเวณที่ศึกษาอย่างทดสอบวันออกของอ่าวไทยตอนบน
: เดือนมกราคม พศ. 2539

ตารางที่ 40 แสดงปริมาณซัลไฟฟ์ในดินตะกอน (mM/gm wet wt sed) 100

บริเวณที่ศึกษาอย่างทดสอบวันออกของอ่าวไทยตอนบน
: เดือนมีนาคม พศ. 2539

ตารางที่ 41 แสดงปริมาณซัลไฟฟ์ในดินตะกอน (mM/gm wet wt sed) 101

บริเวณที่ศึกษาอย่างทดสอบวันออกของอ่าวไทยตอนบน
: เดือนมิถุนายน พศ. 2539

ตารางที่ 42 แสดงปริมาณซัลไฟฟ์ในดินตะกอน (mM/gm wet wt sed) 102

บริเวณที่ศึกษาอย่างทดสอบวันออกของอ่าวไทยตอนบน
: เดือนสิงหาคม พศ. 2539

ความสำคัญและที่มา

การเกิดปรากฏการณ์น้ำเปลี่ยนสี (Red Tides) ในประเทศไทยบ่อยมานานแล้ว แต่ไม่สนใจเกี่ยวกับเรื่องนี้ไม่มากนัก จนถึงปัจจุบันได้หันมาให้ความสำคัญกับเหตุการณ์ดังกล่าวมากขึ้น เนื่องจากในปี พศ. 2521 ได้เกิดปรากฏการณ์น้ำเปลี่ยนสีที่ อำเภอปราษบูรี จังหวัดประจวบคีรีขันธ์ จนเป็นสาเหตุทำให้เด็กที่กินหอยแมลงภู่ตาย 1 คน อันเกิดจากหอยแมลงภู่กรองกินแพลงก์ตอนพืชที่เป็นพิษที่ทำให้เกิดน้ำเปลี่ยนสี เข้าไป แล้วเด็กกินหอยแมลงภู่อีกที่หนึ่ง โดยพิษที่เกิดจากแพลงก์ตอนพืชชนิดนี้จะมีผลกับสัตว์มีกระดูกสันหลังเท่านั้น ซึ่งเหตุการณ์ดังกล่าวทำให้นักวิทยาศาสตร์หันมาสนใจกันมากขึ้น และในระยะหลังได้เกิดน้ำเปลี่ยนสีบ่อยครั้งมากในแต่ละปีตามบริเวณชายฝั่งของอ่าวไทย เช่น จังหวัดชลบุรี และระยอง เป็นต้น ซึ่งน้ำเปลี่ยนสีที่เกิดขึ้น อาจเกิดจากแพลงก์ตอนพืชชนิดเดียวกันหรือต่างชนิดกันก็ได้ ซึ่งมักเกิดจากไดโนแฟลกเจลเลตชนิด *Noctiluca scintillans* เป็นต้น โดยในช่วงชีวิตของไดโนแฟลกเจลเลตส่วนใหญ่สามารถสร้าง Cysts ได้ เมื่อสภาพแวดล้อมไม่เหมาะสม โดยจะอยู่ใต้พื้นท้องทะเลและสามารถออกจาก Cysts มาเป็นตัวแพลงก์ตอนพืชตามปกติได้

Cysts มีความสำคัญในแง่พัฒนารูปแบบ การดำรงพันธุ์รวมทั้งเป็นแหล่งของสารพิษอันพاتในหอยสองฝ่ายที่อาศัยอยู่ที่พื้นท้องทะเล จากการศึกษาพบว่า Cysts จะมีความเป็นพิษมากกว่าเซลล์ปกติประมาณ 10 เท่า โดยในบริเวณที่เป็น Cysts bed ของแพลงก์ตอนพืชที่เป็นพิษ สามารถตรวจพบหอยสองฝ่ายอยู่ในบริเวณนั้นมีการปนเปื้อนพิษมากทั้งๆที่ไม่มีการ bloom ของแพลงก์ตอนพืชที่เป็นพิษเลย นอกจากนั้น Cysts ยังเป็นสาเหตุหนึ่งที่ทำให้เกิดปรากฏการณ์น้ำเปลี่ยนสีได้ โดยเมื่อสภาพแวดล้อมเหมาะสม เช่นแสง และ อุณหภูมิ จะทำให้ Cysts germinate ออกมาเป็นเซลล์ใหม่แล้วเพิ่มจำนวนมากขึ้น (bloom) จนเกิดน้ำเปลี่ยนสีได้ (ไทย darüber เลิศวิทยา ประสิทธิ์, 2536)

ดังนั้นในการศึกษาเกี่ยวกับ Cysts ในดินตะกอนนี้ จึงเป็นการศึกษาเบื้องต้นถึงปริมาณการแพร่กระจาย รูปร่างลักษณะของ Cysts ที่พบ ซึ่งอาจเป็นแนวทางที่จะบอกร

ได้ถึงมาตรฐานของการเกิดปรากฏการณ์น้ำเปลี่ยนสี หรือทำนาย โอกาส ที่จะเกิดน้ำเปลี่ยนสีได้

วัตถุประสงค์ของโครงการได้แก่

1. เพื่อศึกษาปริมาณของ Cysts ในดินตะกอน
2. เพื่อศึกษารูปร่างลักษณะต่างๆ ของ Cysts ชนิดต่างๆที่พบในดินตะกอน
3. เพื่อศึกษาช่วงระยะเวลาที่เกิด Excystment

สำรวจเอกสาร

การศึกษาเกี่ยวกับ Dinoflagellate Cysts ในต่างประเทศ

Okaichi, T (1974) รายงานว่าค่าสูงสุดของคุณภาพน้ำที่ไม่ทำให้เกิดปีศาจ red tide จาก Associations of Fisheries Resource Conservation of Japan คือปริมาณสารประกอบอนินทรีย์และฟอสเฟตที่ละลายน้ำมีค่าไม่เกิน 100 ug/l และ 15 ug/l dissolved ตามลำดับ และต้องลด COD จาก 1,600 ตัน/วัน ใน 1972 เป็น 844 ตัน/วัน ใน กศ. 1989.

Wall (1975) ศึกษาเกี่ยวกับการจำแนกชนิดแพลงก์ตอนพืช และ Cysts ของไนโตรแฟลกเจลเลตที่เป็นสาเหตุของน้ำเปลี่ยนสี พบว่าไนโตรแฟลกเจลเลตที่อาศัยบริเวณปากแม่น้ำและชายฝั่ง สามารถสร้าง Cysts ได้ในช่วงชีวิตของมัน และพบว่า Cysts มีความสัมพันธ์กับการเกิดน้ำเปลี่ยนสี

Anderson (1978) ศึกษาความสำคัญของ Cysts ของ Gonyaulax tamarensis และ G. excavata ที่เป็นตัวเริ่มต้นทำให้เกิดปรากฏการณ์น้ำเปลี่ยนสี โดยสรุปว่า Cysts ของทั้งสองชนิดเป็นตัวทำให้เกิดการเพิ่มจำนวนอย่างมากในแต่ละปี เมื่อสภาพแวดล้อมเหมาะสม

Yentsch et al (1982) ทำการศึกษาเชิงวิทยาของ Cysts ของไนโตรแฟลกเจลเลต Gonyaulax excavata โดยศึกษาวงจรชีวิต การสร้าง Cyst ความเป็นพิษ และการออกจาก Cysts (excystment) เป็นต้น

Anderson et al (1982) ศึกษาการแพร่กระจายในแนวคิ่งและแนวอนของ Cysts ของไดโนแฟลกเจลเลตในคืนตะกอน

Barrie Dale (1983) รายงานถึงสภาพที่ไดโนแฟลกเจลเลต จะเข้า cysts ได้แก่ 1) สภาพที่อุณหภูมิลดลงอย่างกระแทกหนัก (reversing adverse temperature) 2) ระดับปริมาณไนโตรเจนที่ลดลงในน้ำทะเล 3) สภาพที่ขาดออกซิเจน (anoxic condition) โดยเฉพาะอย่างยิ่งในคืนตะกอนที่เป็นโคลนเหตุ

Anderson (1984) ศึกษาความเป็นพิษของหอยและ Cyst ในขณะที่เกิดน้ำเปลี่ยนสีโดยไดโนแฟลกเจลเลตที่เป็นพิษ พบว่า Cysts อาจเป็นต้นเหตุของการเกิดน้ำเปลี่ยนสีและเป็นตัวที่ทำให้น้ำเปลี่ยนสีลดน้อยลง

Matsuoka K. and Y. Fukuyo (1986) ศึกษา Dinoflagellate โดยรายงานว่าสามารถเก็บตัวอย่างคืนในที่เย็นได้ 2-3 เดือนก่อนนำไปวิเคราะห์ โดยนำไป sonicate แล้วร่อนผ่านตะกรงสแตนเลสขนาด 125 และ 37 ไมครอน นำตัวอย่างที่ค้างบนตะกรงสแตนเลส 37 ไมครอนล้างด้วยน้ำทะเลกรองผ่าน GF/C หลักครั้ง นำไปบ่มที่ 20-22 องศาเซลเซียส แสดงฟลูออเรสเซนต์ 4,000 ดีกซ์ ช่วงสว่าง-มืด 10-14 ชม. ตามลำดับ โดยใช้น้ำเนพะผิวน้ำตะกอนคืนมาวิเคราะห์

Joo Suck Park (1992) รายงานว่าพบพอกไดโนแฟลกเจลเลตที่ทำให้เกิด red tide ในเกาหลีตั้งแต่ คศ. 1981 -1990 โดยพบทั้งสิ้น 22 ชนิด มีรายงานว่าพบ *Noctiluca scintillans* และ *Scrippsiella trochoidea* ด้วยและรายงานว่าในระยะที่พบมี red tide ปัจจัยครั้งนั้น ปริมาณ DIN (dissolved inorganic nitrogen) มีค่าเกินมาตรฐานที่ 0.1 ppm หาก ปริมาณ phosphate-p มีค่าเกินมาตรฐานที่ 0.015 ppm รายงานว่าค่า COD สูงสุดที่อาจทำให้เกิด red tide ได้เท่ากับ 2 ppm (ค่านี้รายงานในคศ. 1990)

Sangbok , H. D. (1992) กล่าวว่าปัจจัยสำคัญในการแพร่กระจายของ red tides จะขึ้นกับ กระแสน้ำขึ้น-น้ำลง, กระแสน้ำที่เกิดจากการกระทำของลม และการกระจากตัวของ red tide เอง โดยกล่าวว่าความเร็วของกระแสน้ำขึ้น-น้ำลง (m/s) จะมีค่าประมาณ 4.4 % ของ ค่าเรนจ์น้ำ และ กระแสน้ำที่เกิดจากการกระทำของลมมีค่าประมาณ 2 % ของความเร็วลมขณะนั้น

Hak Gyoong Kin (1993) รายงานการพบ cysts ของ *Phaeopolykrikos hartmannii* ที่ความเค็ม 24.7 - 34.8 ppt อุณหภูมิ 3.0 - 28.9 องศาเซลเซียส โดยพบใน

อ่าวชินเช (Chinhae Bay) ทางทิศตะวันออกเฉียงใต้ของคาบสมุทรเกาหลี อ่าวดังกล่าวเป็นลักษณะ กึ่งปิด (semi-closed) มีการเกิด eutrophication พื้นดินเป็นโคลนเหลว และ รายงานว่าพบ *P. hartmannii* cysts ได้ตั้งแต่ปี โดยในคศ. 1988 พบ 1-3 สถานี แต่ในคศ. 1990 พบเพิ่มเป็น 8 สถานี และพบได้ตั้งแต่ปี (กือในเดือนกุมภาพันธ์ เมษายน กรกฎาคม และ พฤศจิกายน) และยังรายงานว่าพบการแพร่กระจายของ cysts ตามแนวลักษณะของดินตะกอน โดยพบมากเฉพาะที่ระดับ 2 ซม. ที่ผิวน้ำดินเท่านั้น

John L. Maclean (1993) แสดงให้เห็นว่าการเพิ่มของจำนวนประชากร สัมพันธ์โดยตรงกับการเกิดปรากฏการณ์ป่าลาวาพ เช่นที่พบในอ่าว Tolo เกาะช่องกง โดยพบว่าอัตราส่วน Si : P และ N : P ลดลงจะทำให้เพดุงก์ตอนพืชพวงได้อะตอมถูกแทนที่ด้วยพวงไไดโนแฟลกเจลเดตที่มีพิษได้ พบว่าการศึกษา red tide ในเอเชียเริ่มตั้งแต่ คศ. 1954 (FAO/UNESCO, 1954) ใน คศ. 1976, 1980 และ ประเทศไทยปีบินส์ คศ. 1983 ในช่องกง เริ่มพบป่าตายจากพิษของ red tide ในคศ. 1980 (อ้าง Wong and Wu, 1987) พิษเนียบพลันที่เกิดจาก red tide ทำให้ประชาชัชน้ำดึงหรือได้รับอันตราย เช่น การเกิดการบลูมของ *Pyrodinium* ในรัฐชานาร์ (ประเทศไทยเชีย) (อ้างถึง Tiny and Wong, 1989) ในประเทศไทยปีบินส์ คศ. 1989 (อ้างถึง Gongales, 1989 a) นอกจากนี้พบว่าบริเวณเดิมที่เคยเกิดการบลูมจะมีโอกาสเกิดซ้ำอีก เช่น ในประเทศไทยปีบินส์ 1987 *Pyrodinium* บลูมอีกครั้งหลังจากในครั้งแรกถึง 4 ปี ในไทย มีรายงานการเกิด *Trichodesmium* บลูมในคศ. 1983 (อ้างถึง Surapepun, 1989) ทำให้ป่าตายในอ่าวไทยเป็นจำนวนมาก หรือในคศ. 1988 หอยแมลงภู่ในอ่างมนต์ (ประเทศไทยปีบินส์) เสียหายมากกว่า 1 ล้านดอลลาร์ จาก *Pyrodinium* (อ้างถึง Hallegraeff, 1987) ว่าการบุดคลอกพื้นทะเลอาจเป็นการกระตุ้นให้เกิดการบลูมจาก cyst ที่อยู่ในดินได้ นอกจากนี้ยังพบว่าการเพาะเลี้ยงสัตว์ทะเลบางอย่าง มีผลต่อการเกิด red tide เช่น Anderson (1989) รายงานว่า การเกิดพิษ PSP ในอ่าว Balete (ประเทศไทยปีบินส์) เกิดหลังจากมีการเลี้ยงหอยแมลงภู่เพียง 1 ปี Corrales and Gomez (1990) ยังรายงานเพิ่มเติมอีกว่า red tides ส่วนใหญ่ในประเทศไทยปีบินส์เกิดใกล้บริเวณที่เลี้ยงหอยแมลงภู่

Joon- Baek Lee and K. Matsuoka (1994) รายงานวิธีการศึกษา cysts โดยใช้ เนพะผิวน้ำดินตะกอน โดยเก็บตัวอย่างด้วย gravity core (แบบ Phleger Corer) ขนาดเส้นผ่าศูนย์กลาง 37 mm โดยเก็บชั้นดินที่ผิวน้ำ 2 ซม. รวมทั้งน้ำทะเลที่อยู่ด้านบนด้วย เก็บไว้ในที่เย็น 4 องศาเซลเซียส ก่อนนำดินดังกล่าวประมาณ 0.5 - 0.97 กรัม มา sonicate ในน้ำทะเลกรอง 2 นาที แล้วกรองผ่านตะแกรงขนาดตา 125 และ 20 ไมครอน นำมาส่องดูด้วยกล้อง 2 ตา ขนาดกำลังขยาย 100 - 400 เท่า ใช้หน่วยนับในการศึกษานี้เป็น cysts per unit volume of sediment หรือ (cysts/cm^3)

Marret, F. (1994) รายงานว่า dinoflagellate blooms มักเกิดตามหลัง diatom blooms และจะสัมพันธ์กับการเกิด high nutrient level และปริมาณ diatom โดยเฉพาะกลุ่ม Heterotrophic dinoflagellate และรายงานว่า cysts ที่เกิดจะสัมพันธ์กับการเปลี่ยนแปลงของ nutrient และผลผลิตปฐมภูมิ (primary productivity) ด้วย

Margasigan A.N. , J. Ingles and R. Babaran (1995) ได้ศึกษาการแพร่กระจายของ Dinoflagellate Cysts โดยการใช้ light weight corer (TFO) นำผิวดินค้างบน 2 ซม. ใส่ในขวดพลาสติก 20 ซม. ละลายในน้ำทะเลและ sonicated อย่างน้อย 3 นาที นำไปกรองผ่านตะแกรงขนาด 180, 125 และ 37 ไมครอน แล้วนำที่ค้างบนตะแกรงขนาด 37 ไมครอนไปละลายในน้ำทะเลกรอง 10 มิลลิลิตร

การศึกษาเกี่ยวกับ Dinoflagellate Cysts ในประเทศไทย

สุทธิชัย เตมียวัฒน์ (2527) พบว่าการเกิด Red Tides ในเดือนธันวาคม 2526 บริเวณหมู่บ้านราก ถึง กรุงเทพมหานคร น้ำทะเลเมืองสีแดงเกิดจาก *Dinophysis caudata* ทำให้หอยพิมเปลี่ยนสีเนื้อจากขาวๆ กลายเป็นแดงคล้ำเลือด

Yasuwo Fukuyo et al (1989) ศึกษาความเป็นพิษ PSP ของไดโนแฟลกเจล เดตในอ่าวไทย ระหว่าง 1983-1986 พบ *Protogonyaulax* 4 ชนิด *P. cothotica*, *P. fratercula*, *P. leeii*, *P. tamarensis* พบว่า *P. cothotica* น่าจะเป็นตัวก่อให้เกิด PSP ในไทย

ไวยดาวร เลิศวิทยาประสีฐ (2537) รายงานการเกิด Red Tide ในประเทศไทย ไทยส่วนใหญ่เกิดจากแพลงก์ตอนพืชหลายกลุ่ม ได้แก่ กลุ่มไดโนแฟลกเจลเดต เช่น

Noctiluca scintillans กลุ่มสาหร่ายสีน้ำเงินแกรมเปี้ยว ได้แก่ *Trichodesmium erythraeum* ส่วนใหญ่จงงานวิจัยที่เกี่ยวกับ red tide ในประเทศไทยเริ่มประมาณ พศ. 2527 ถึง ปัจจุบัน ในหัวข้อต่างๆ เช่น

Noctiluca scintillans : biology and physiology โดย เสริมมิตร และ สุชนา,
2527.

Symbiology between Pedinomonas and *Noctiluca scintillans* : จันทนา และ
กิตติพงษ์, 2530.

Trichodesmium : การเกิดและผลกระแทบ (Suvapepun, 1992)

Alexandrium spp. การแพร่กระจายในอ่าวไทย (Fukuyo, et al, 1988,
Piyakamchana et al, 1990) การศึกษาพิษและการทดสอบพิษ (Kodoma et al., 1987;
Kodama et al., 1988, Wisessang et al, 1991)

K. Matsuoka and Y. Fukuyo (1994) ได้อ้างถึงการพบ *Gymnodinium
catenatum* ในอ่าวไทย กศ. 1989

จาก ASEAN-Canada Cooperative Programme on Marine Science ในเรื่อง
Location of HAB events in Asian Waters รายงานว่าประเทศไทยมีการพบพวกได้
ในแหล่งเขตชนิดต่างๆ ในสถานที่ต่างๆดังนี้

1. *Alexandrium bahamarensis* var. *compressa* พบริจังหวัดเพชรบุรี
2. *Heterosigma* sp. พบริจังหวัดเพชรบุรี อ่าวไทยตอนบนบริเวณปราณบุรี อ่าวไทย
ตอนบนบริเวณตะวันออกเฉียงหนือ และ ที่จังหวัดจันทบุรี
3. *Chattanella* sp. พบริจังหวัดเพชรบุรี อ่าวไทยตอนบนบริเวณปราณบุรี อ่าวไทยตอน
บนบริเวณตะวันออกเฉียงหนือ และ ที่จังหวัดจันทบุรี
4. *Noctiluca scintillans* พบริจังหวัดเพชรบุรี อ่าวไทยตอนบนบริเวณปราณบุรี อ่าวไทย
ตอนบนบริเวณตะวันออกเฉียงหนือ และ ที่จังหวัดจันทบุรี

สมบัติ และ สมภพ (2536) ได้รายงานแพลงก์ตอนพืชในกลุ่มไดโนแฟลกเจล
เลตที่ทำให้เกิดปรากฏการณ์ปีลาวาพในประเทศไทย ได้แก่

Noctiluca scintillans ทำให้น้ำเปลี่ยนสีเขียวโพล เป็นชนิดที่พบบ่อยและครอบ
คลุมบริเวณกว้างขวางที่สุด พบริวารในอ่าวไทย เกิดครั้งใหญ่ที่ศรีราชา พศ. 2534

Ceratium furca เกย์กิดพร้อมกับ *N. scintillans* ที่ป่ากแม่น้ำแม่กลอง และแม่น้ำท่าจีน พศ. 2524 ทำให้น้ำเป็นสีแดงอิฐ

Ceratium fusus เป็นสาเหตุร่วมกับแบคทีเรียทำให้ลูกหอยนางรมตายลง

Mesodinium sp. ทำให้เกิดการตายของปลากระบอก พศ. 2532

Dinophysis caudata ทำให้น้ำเป็นสีแดงเดือด เกิดนอกฝั่งสมุทรปราการ

Alexandrium tamarensis ทำให้เกิด PSP มีรายงานว่าพบในประเทศไทยแต่ยังไม่มีรายงานว่าทำให้เกิดน้ำเปลี่ยนสี

ในไทยมีรายงานการเกิด *Trichodesmium* sp. บลูมในพศ. 1983 (สมบัติ และ สมกพ (2536) อ้างถึง Suwapepun (1989) ทำให้ปลาตายในอ่าวไทยเป็นจำนวนมาก ไทยดาวร เลิศวิทยาประดิษฐิ (2536) ได้แบ่ง cysts เป็น temporary cysts และ resting cysts (dormacy cysts) กล่าวว่าบริเวณที่ศึกษาจะต้องมีลักษณะเป็นดินโคลน หรือดินโคลนปนทรายเดือนน้อย การศึกษาใช้ gravity corer sampler แล้วตักเนื้อพะบริเวณผิวน้ำดิน 1-2 ซม. โดยตัวอย่างต้องมีน้ำท่วมตลอดเวลา ได้ศึกษา cysts 2 แบบ คือ 1) โดยการเพาะให้เกิดใหม่ เช่น ในหลอดทดลอง 2) โดยนำดินผสมน้ำทະเด แล้วนำไป sonicate แล้วนำตะกอนเบ้าด้านบนมาตรวจ cysts จะได้เป็น ปริมาณ และ รูปร่าง

Waewtaa et al (1996) รายงานในการศึกษาริเวณตั้งแต่ป่าแม่น้ำบางปะกง ถึงครึ่รชา (1995) ว่าไม่พบการบลูมใดๆ และ พบรากลุ่มไดโนแฟลกเจลเลตที่พูง จำนวนมากที่สุด ในเดือนตุลาคม (126.9×10^4 cell/cu.m) ใกล้เขกเมืองชลบุรี ประกอบด้วย *Noctiluca scintillans*, *Ceratium spp.*, *Dinophysis spp.* และ *Peridinium spp.* ตามลำดับ

วิธีการดำเนินการ

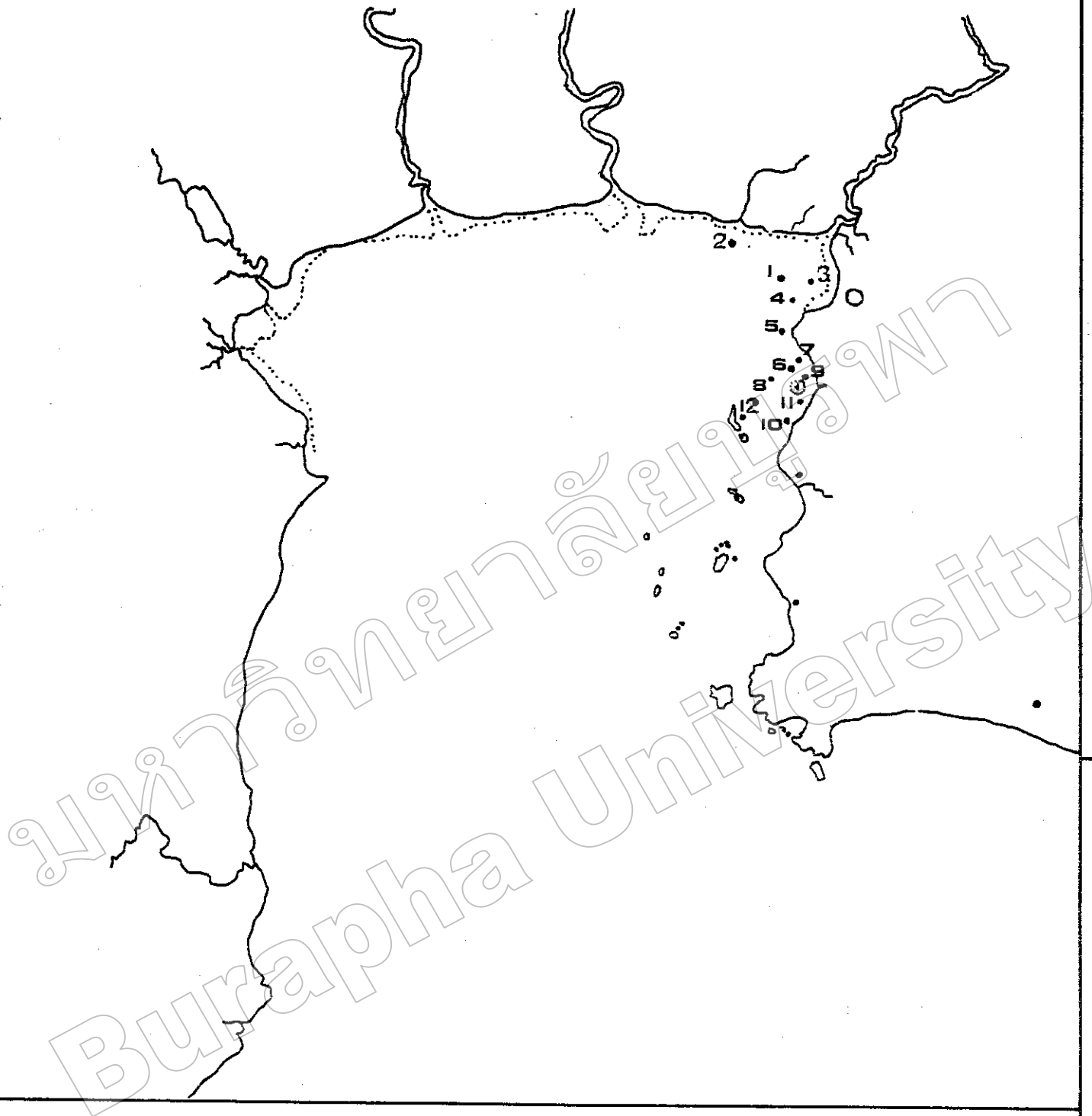
1. ทำการเก็บตัวอย่าง ตื้งแต่บริเวณปากแม่น้ำบางปะกง จนถึง ศรีราชา และ เกาะสีชัง รวมทั้งสิ้น 12 สถานี (ตารางที่ 1) โดยเก็บตัวอย่าง 2 เดือนครึ่ง เป็นเวลา 1 ปี

ตารางที่ 1 แสดงสถานีเก็บตัวอย่างและลักษณะดินตะกอนบริเวณอ่าวไทยตอนบนดัง

ตะวันออก : พศ. 2538-2539

สถานี	ชื่อย่อ	บริเวณ	ลักษณะดินตะกอน
1	BPRM1	ปากแม่น้ำบางปะกง	โคลนเหลว
2	BPRM2	ปากแม่น้ำบางปะกง	โคลนเหลว
3	BPRM3	ปากแม่น้ำบางปะกง	โคลนเหลว
4	BPRM4	ปากแม่น้ำบางปะกง	โคลนเหลว
5	BPRM5	ปากแม่น้ำบางปะกง	โคลนเหลวปนเปลือกหอย
6	BSAN1	บางแสน	โคลนเหลว
7	BSAN2	บางแสน	โคลนเหลว
8	BPRA1	บางพระ	ทรายหยาบ
9	BPRA2	บางพระ	ทรายหยาบ
10	SIRA1	ศรีราชา	โคลนเหลว
11	SIRA2	ศรีราชา	ทรายหยาบปนโคลน
12	SCIE	เกาะสีชัง(ผ่านตะวันออก)	ทรายหยาบปนเปลือกหอย

1. นัดแต่ละสถานีทำการเก็บตัวอย่างดินด้วย Corer Sampler (แบบ Gravity Corer : รูปที่ 2) เมื่อรอดับน้ำลึกเกิน 8 เมตร และใช้แบบ Handing Core sampler เมื่อรอดับน้ำลึกไม่เกิน 8 เมตร (รูปที่ 3)
2. นำตัวอย่างดินที่ได้มาตัดเอาเฉพาะพิภพดินหนา 1-2 เซนติเมตร มาแบ่งเป็น 2 ส่วนคือ



รูปที่ 1 แสดงสถานีเก็บตัวอย่างบริเวณที่ศึกษาชายฝั่งทะเลตะวันออกของอ่าวไทยตอนบน

- | | |
|---|---------------------------------------|
| 1) ปากแม่น้ำบางปะกง (BPRM 1) | 7) หาดบางแสนด้านติดชายฝั่ง (BSAN 2) |
| 2) หน้าคลองด่าน (BPRM 2) | 8) บางพระด้านห่างฝั่ง (BPRA 1) |
| 3) หน้าอ่าगे�อเมืองชลบุรี (BPRM 3) | 9) บางพระด้านติดฝั่ง (BPRA 2) |
| 4) หน้าอ่างศิลา (BPRM 4) | 10) ศรีราชาหน้าอ่ากงเมือง (SIRA 1) |
| 5) หน้าปากคลองโกรนภาคเขากาสามมุก (BPRM 2) | 11) ศรีราชาหน้ากำลังอย (SIRA 2) |
| 6) หาดบางแสนด้านห่างฝั่ง (BSAN 1) | 12) เกาะสีชังฝั่งตะวันออก (SCIE) |



รูปที่ 2 แสดง Gravity Corer ซึ่งมีขนาดเส้นผ่าศูนย์กลางห่อเก็บตัวอย่างขนาด 3 นิ้ว ใช้สำหรับระดับน้ำลึกเกิน 8 เมตร



รูปที่ 3 แสดง Hand Corer ซึ่งมีขนาดเส้นผ่าศูนย์กลางห่อเก็บตัวอย่างขนาด 3 นิ้ว ใช้สำหรับระดับ น้ำลึกน้อยกว่า 8 เมตร

3.1 ส่วนที่หนึ่งนำมาใส่หลอดทดลอง 3 หลอดๆ ละประมาณ 1 ลบ.ชม. ตั้งทิ้งไว้ 24 ชั่วโมง นำมาคุณน้ำใส่ด้านบนเหนือตัวอย่างดินออก เติมน้ำทะเลขรองให้มลลไป 1 ลบ.ชม. แล้วนำไปตั้งทิ้งไว้ในตู้เย็นแพลงก์ตอนพีช ในแต่ละวันคุณน้ำทะเลขตัวอย่าง 1 ลบ.ชม. พร้อมกับใส่น้ำทะเลขใหม่ที่กรองแล้ว 1 ลบ.ชม. ลงไปแทน ตัวอย่างน้ำที่คุณน้ำเดือนนี้ นำไปตรวจคุณเซลล์ที่เกิดใหม่หรือ cysts ที่อาจลอยขึ้นมากจากไถกถือ งจุลทรรศน์ บันทึกไว้ร่าง และ จำนวนเซลล์ใหม่ที่พบ ทำติดต่อประมาณ 7 วัน

3.2 ส่วนที่สองนำมาใส่ในบีกเกอร์ใส่น้ำทะเลขที่กรองแล้วลงไป แล้วนำไป sonicate ด้วยเครื่อง sonicator เป็นเวลา 10 นาที จากนั้นนำมากรองผ่านตะแกรงร่อนขนาด 180, 125 และ 37 ไมครอน เพื่อแยก Cysts ออกจากคินตะกอน นำมาตรวจคุณปั่งลักษณะ Cyst และนับจำนวนจากตัวอย่างที่ค้างอยู่บนตะแกรง

4. ทำการวัดอุณหภูมิ ความเค็ม ความเป็นกรด-ด่าง และ ปริมาณออกซิเจน溶解 oxygen ด้วย เครื่อง Submersible Water Qualtiy Checker รุ่น YSI 3800

5. ทำการเก็บตัวอย่างแพลงก์ตอนพีช ด้วยถุงลากแพลงก์ตอนพีช ขนาดกว้างปากถุง 0.45 เมตร ขนาดตื้อ 37 ไมครอน คงด้วยฟอร์มาลีน 4% นำกลับไปวิเคราะห์ชนิดและความหนาแน่นต่อไป

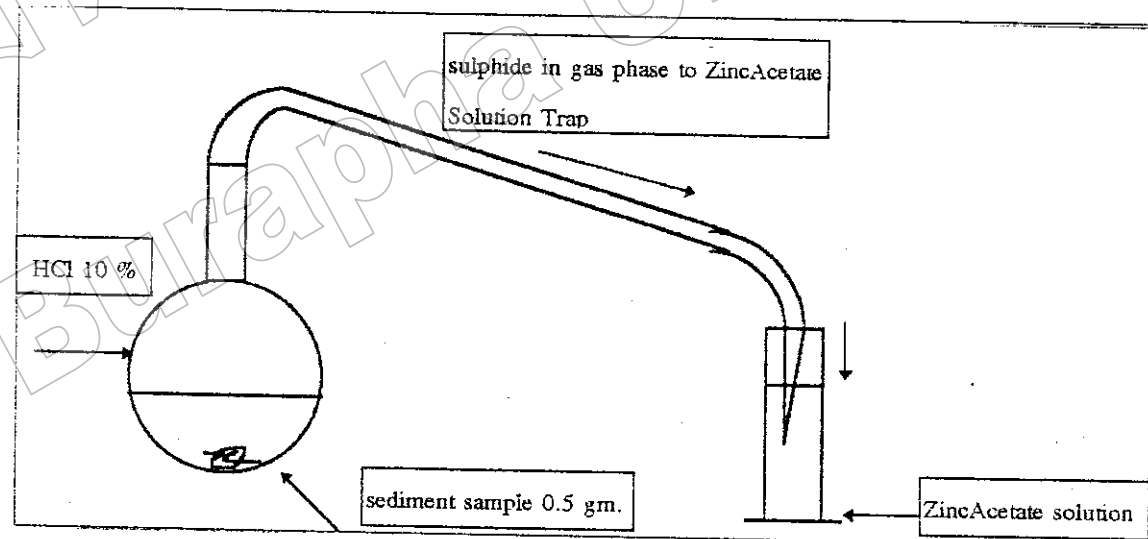
6. ทำการเก็บตัวอย่างน้ำทะเลข ที่ระดับพิวน้ำและหน้าดิน วิเคราะห์ ในเขต พื้นที่ และ ชีลิกิต (StrickStrickland and Parsons (1972) วิเคราะห์ด้วยเครื่อง Scanning - spectrophotometer (รุ่น Spectronic Genesys 5 : ของ Milton Roy Company)

7. ทำการเก็บตัวอย่างน้ำทะเลข ที่ระดับพิวน้ำ และ หน้าดิน วิเคราะห์ปริมาณคลอรีฟิลล์ เอ บี และ ซี (StrickStrickland and Parsons (1972) วิเคราะห์ด้วยเครื่อง Scanning - spectrophotometer (รุ่น Spectronic Genesys 5 : ของ Milton Roy Company)

8. ทำการเก็บตัวอย่างคินตะกอน (จากข้อ 2) วิเคราะห์ปริมาณอินทรีย์สารที่ถูกออกซิได้ส์ ได้ ที่ระดับพิวน้ำ (0 ซม.) 5, 10 และ 15 ซม. (ตามความลึกของคินตะกอนที่สามารถเก็บขึ้นมาได้) วิเคราะห์ตามวิธีของ Loring and Rantala (1977) โดยนำคินตะกอนในแต่ละชั้นที่เก็บขึ้นมาได้ ผึ่งให้แห้งในที่ร่ม แล้วนำไปอบที่อุณหภูมิ 80-90 องศาเซลเซียส จนน้ำหนักคงที่อย่างน้อย 24 ชั่วโมง นำมาทำปฏิกิริยา กับกรดไฮโดรคลอริก 10 % เพื่อขัดสารประกอบหินปูนออกให้หมด (decarbonation) ก่อนนำไปวิเคราะห์ต่อ

9. ทำการเก็บตัวอย่างดินตะกอน (จากข้อ 2) วิเคราะห์ปริมาณชัลไฟฟ์ ในดินตะกอนที่ระดับผิวดิน (0 ซม.) 5, 10 และ 15 ซม. (ตามความลึกของดินตะกอนที่สามารถเก็บขึ้นมาได้) วิเคราะห์ตามวิธีที่พัฒนาจาก StrickStrickland and Parsons (1972) Chuan L. L and I Sugahara (1984) , วินครัตน์ เกษมทรัพย์ (2524), ชานาณ บุญมาตี (2537) โดยทำการเก็บรักษาตัวอย่างดินตะกอนที่จะนำมาวิเคราะห์ปริมาณ ชัลไฟฟ์ ด้วยชิงค์-อะซิเตด แล้วเก็บในถุงแข็ง ก่อนนำไปวิเคราะห์ โดยมีวิธีการวิเคราะห์ดังนี้

ตั้งชุดเครื่องกลั่น (รูปที่ 4) ใส่ HCl 10% 100 มิลลิลิตร ให้ความร้อนจนเริ่มปะทุฟองอากาศ ใส่ตัวอย่างดินตะกอนที่จะวิเคราะห์ 0.5 กรัม แล้วรีบปิดภาชนะ และนำสารละลายน้ำชิงค์อะซิเตด 30 มิลลิลิตร ใส่ในภาชนะที่จะทำให้เกิดสี (stoper cylinder volumetric) ขนาด 50 มิลลิลิตร นำไปวางไว้ที่ปากทางออกของเครื่องกลั่น ให้ปั๊ลมลงในสารละลายน้ำชิงค์อะซิเตด ทิ้งไว้ให้เดือดประมาณ 15 นาที นำมาวิเคราะห์ปริมาณ ชัลไฟฟ์ต่อตามวิธีของ StrickStrickland and Parsons (1972) วัดค่าการดูดกลืนแสงด้วยเครื่อง Scanning -spectrophotometer (รุ่น Spectronic Genesys 5 : ของ Milton Roy Company)



รูปที่ 4 แสดงการกลั่นเพื่อวิเคราะห์ปริมาณชัลไฟฟ์ในดินตะกอน

ผลการศึกษา

1. อุณหภูมิลดการศึกษามีค่าเฉลี่ย ระหว่าง $26.7 \pm 0.5 - 30.3 \pm 0.4$ องศาเซลเซียส โดยในช่วงฤดูฝนและฤดูหนาว ซึ่งเป็นระยะปลายปี จะมีค่าต่ำกว่าช่วงอื่นๆ

ความเค็ม ตลอดการศึกษามีค่าเฉลี่ย ระหว่าง $24.3 \pm 1.8 - 32.5 \pm 0.7$ ส่วนในพื้นที่ ส่วน โดยในช่วงฤดูร้อนถึงฤดูฝนจะมีค่าต่ำกว่าช่วงอื่นๆของปี

ค่าความเป็นกรด-ด่าง ตลอดการศึกษามีค่าเฉลี่ย ระหว่าง $8.3 \pm 0.1 - 8.5 \pm 0.2$ ค่าความเป็นกรด-ด่างไม่ค่อยมีการเปลี่ยนแปลงมากในรอบปี

ปริมาณออกซิเจนละลายน้ำ ตลอดการศึกษามีค่าเฉลี่ย ระหว่าง $3.6 \pm 0.5 - 7.0 \pm 0.8$ มิลลิกรัม/ลิตร ปริมาณออกซิเจนละลายน้ำมีการเปลี่ยนแปลงขึ้นลงตลอดเวลา ในระยะที่ทำการศึกษาพบว่า ช่วงปลายฤดูฝนถึงกลางฤดูหนาว จะมีค่าต่ำสุด

ความโปร่งใส ตลอดการศึกษามีค่าเฉลี่ย ระหว่าง $2.5 \pm 2.0 - 3.4 \pm 3.0$ เมตร พบร่วมกับความโปร่งใสไม่ค่อยมีการเปลี่ยนแปลงมากนัก ซึ่งแสดงถึงความชุ่มหรือสารแขวนลอยต่างๆในบริเวณที่ทำการศึกษา ควรจะมีค่าที่ไม่เปลี่ยนแปลงมากนักเช่นกัน

ตารางที่ 2 แสดงคุณภาพน้ำเฉลี่ย (ค่าเฉลี่ย \pm standard deviation) บริเวณอ่าวไทยตอนบน ผ่านไป 5 คะแนนของ พศ. 2538 - 2539

date	temp.	sali	pH	DO	trans.
avgAug-95	30.3 ± 0.4	27.1 ± 5.3	8.4 ± 0.2	4.6 ± 0.5	3.4 ± 3.0
avgOct-95	26.7 ± 0.5	31.7 ± 2.5	8.3 ± 0.1	4.3 ± 0.1	2.5 ± 2.0
avgJan-96	28.9 ± 1.6	32.5 ± 0.7	8.5 ± 0.1	3.6 ± 0.5	3.2 ± 1.2
avgMar-96	30.0 ± 0.6	24.6 ± 2.4	8.4 ± 0.1	6.7 ± 1.2	2.8 ± 1.4
avgJun-96	30.0 ± 0.4	28.5 ± 2.3	8.5 ± 0.2	4.6 ± 0.6	3.0 ± 1.6
avgAug-96	30.1 ± 0.5	24.3 ± 1.8	8.5 ± 0.1	7.0 ± 0.8	2.8 ± 1.4

หมายเหตุ : avg=average, temp.=องศาเซลเซียส, sali=ส่วนในพื้นที่ ส่วน,

DO=มิลลิกรัม/ลิตร, trans.= เมตร

2. ปริมาณธาตุอาหาร (อุตรางที่ 3)

ปริมาณไนโตรฟ ($\text{NO}_2\text{-N}$) มีค่าเฉลี่ยตลอดการศึกษา อยู่ในช่วง 0.089 ± 0.033 - 1.938 ± 1.019 ไมโครโมล/ลิตร ซึ่งเป็นที่น่าสังเกตว่าค่าเฉลี่ยปริมาณไนโตรฟมีค่าเพิ่มขึ้นตลอดเวลาที่ทำการศึกษา

ปริมาณไนเตรฟ ($\text{NO}_3\text{-N}$) มีค่าเฉลี่ยตลอดการศึกษา อยู่ในช่วง 0.536 ± 0.144 - 10.937 ± 3.212 ไมโครโมล/ลิตร ซึ่งค่าเฉลี่ยปริมาณไนเตรฟมีค่าเฉลี่ยเพิ่มขึ้นตลอดเวลาที่ทำการศึกษาเช่นกัน

ปริมาณซิลิกะ ($\text{SiO}_3\text{-Si}$) มีค่าเฉลี่ยตลอดการศึกษา อยู่ในช่วง 5.975 ± 2.822 - 34.117 ± 6.933 ไมโครโมล/ลิตร โดยค่าเฉลี่ยปริมาณซิลิกะมีค่าต่ำในช่วงฤดูหนาวและฤดูร้อน และมีค่าสูงสุดในช่วงฤดูฝน คาดว่าสาเหตุมาจากการอิทธิพลของน้ำจากแม่น้ำบางปะกง

ปริมาณฟอสเฟฟ ($\text{PO}_4\text{-P}$) มีค่าเฉลี่ยอยู่ในช่วง 0.048 ± 0.015 - 3.588 ± 2.218 ไมโครโมล/ลิตร ปริมาณฟอสเฟฟมีค่าเฉลี่ยเปลี่ยนแปลงขึ้นลงตลอดเวลา ในการศึกษาครั้งนี้ มีค่าสูงสุดในเดือนตุลาคม พศ. 2538 ซึ่งเป็นกลางฤดูฝน แต่แนวโน้มของข้อมูลพบว่ามีการเปลี่ยนแปลงขึ้นลงไม่คงที่ แต่จะสูงในฤดูฝนมากกว่าช่วงอื่นๆ ของปี

ตารางที่ 3 แสดงปริมาณธาตุอาหารเฉลี่ย (ไมโครโมล/ลิตร)(ค่าเฉลี่ย \pm standard deviation) บรรยายอ้างไทยตอนบนผู้ตั้งตะวันออก พศ. 2538-2539

date	nitrite	nitrate	silicate	phosphate
avgAug-95	0.089 ± 0.033	1.095 ± 0.321	11.756 ± 2.605	0.053 ± 0.010
avgOct-95	0.229 ± 0.085	0.553 ± 0.132	6.653 ± 1.997	3.588 ± 2.218
avgJan-96	0.549 ± 0.323	0.594 ± 0.139	5.975 ± 2.822	0.049 ± 0.014
avgMar-96	0.679 ± 0.286	0.536 ± 0.144	30.013 ± 6.642	0.117 ± 0.037
avgJun-96	1.540 ± 0.456	4.181 ± 1.020	34.117 ± 6.933	0.502 ± 0.266
avgAug-96	1.938 ± 1.019	10.937 ± 3.212	22.902 ± 4.170	0.048 ± 0.015

หมายเหตุ : avg= average; nitrite = $\text{NO}_2\text{-N}$, nitrate = $\text{NO}_3\text{-N}$, silicate = $\text{SiO}_3\text{-Si}$, phosphate- $\text{PO}_4\text{-P}$

3. ปริมาณคลอโรฟิล์ เอ บี และ ซี (ตารางที่ 4)

ปริมาณคลอโรฟิล์ เอ (มิลลิกรัม/ลูกบาศก์เมตร) ตลอดการศึกษามีค่าเฉลี่ยอยู่ในช่วง 0.247 ± 0.182 - 0.603 ± 0.373 มิลลิกรัม/ลูกบาศก์เมตร โดยพบว่ามีค่าเฉลี่ยสูงสุดในช่วงฤดูร้อน และ มีค่าต่ำสุดในช่วงฤดูฝน

ปริมาณคลอโรฟิล์ บี (มิลลิกรัม/ลูกบาศก์เมตร) ตลอดการศึกษามีค่าเฉลี่ยอยู่ในช่วง 0.074 ± 0.051 - 0.225 ± 0.184 มิลลิกรัม/ลูกบาศก์เมตร โดยพบว่ามีค่าเฉลี่ยสูงสุดในช่วงฤดูร้อน และ มีค่าต่ำสุดในช่วงฤดูฝน เชนเดียวกับปริมาณคลอโรฟิล์ เอ

ปริมาณคลอโรฟิล์ ซี (มิลลิกรัม/ลูกบาศก์เมตร) ตลอดการศึกษามีค่าเฉลี่ยอยู่ในช่วง 0.054 ± 0.057 - 0.130 ± 0.179 มิลลิกรัม/ลูกบาศก์เมตร โดยพบว่ามีค่าเฉลี่ยสูงสุดในช่วงฤดูร้อน และ ต่ำสุดในช่วงฤดูฝน อย่างเห็นได้ชัด เช่นเดียวกับปริมาณคลอโรฟิล์ เอ และ บี

ตารางที่ 4 แสดงปริมาณคลอโรฟิล์ เอ บี และ ซีเฉลี่ย (mg/cu.m) (ค่าเฉลี่ย ± standard deviation) บริเวณอ่าวไทยตอนบน ผังตะวันออกพศ. 2538-2539

date	chl a	chl b	chl c
avgAug-95	0.309 ± 0.237	0.085 ± 0.083	0.059 ± 0.065
avgOct-95	0.196 ± 0.141	0.074 ± 0.051	0.087 ± 0.071
avgJan-96	0.352 ± 0.243	0.138 ± 0.140	0.107 ± 0.100
avgMar-96	0.603 ± 0.373	0.225 ± 0.184	0.130 ± 0.179
avgJun-96	0.247 ± 0.183	0.149 ± 0.228	0.088 ± 0.181
avgAug-96	0.254 ± 0.182	0.087 ± 0.090	0.054 ± 0.057

หมายเหตุ : avg=average, chl a = chlorophyll a, chl b = chlorophyll b,
chl c = chlorophyll c

4. ชนิด จำนวน และความถี่ที่พบ Dinoflagellate Cysts (ตารางที่ 5)

จากการศึกษาทั้ง 2 วิธี ได้แก่ การนำตัวอย่างดินผิวน้ำ (หนา 2 เซนติเมตร) มากรองแล้วนำตัวอย่างที่ค้างบนตะแกรงไปส่องด้วยกล้องจุลทรรศน์ และ การนำตัวอย่างดินผิวน้ำ ไปเพาะขยายในหลอดทดลอง พบร่วมกับการนำไปเพาะขยายในหลอดทดลองให้ผลดีและสามารถตรวจพบได้ง่ายกว่า และผลการศึกษาพบ cysts ของ *Phaeopolykrikos sp.* มากและบ่อยที่สุด โดยมีลักษณะกลมมีหนามเล็กๆ โดยรอบ (รูปที่ 5) ปากแม่น้ำบางปะกงเป็นบริเวณที่พบบ่อยที่สุด โดยเฉพาะอย่างยิ่งในเดือน มกราคม พ.ศ. 2539 หรือในช่วงฤดูหนาว พบรังหุมด้อยในช่วง 6-40 % ของจำนวนตัวอย่างทั้งหมดที่นำมาวิเคราะห์

cysts อีกชนิดที่พบได้แก่ *Scrippsiella trochoidea* ซึ่งมีลักษณะเป็นรูปกรวย 2 อันกว่าประกอนกัน (รูปที่ 7) แต่พบน้อย และพบบริเวณเดียวกับบางแสนใกล้ฝั่งในเดือน มกราคม พ.ศ. 2539 พน 20 % ของจำนวน ตัวอย่างทั้งหมดที่นำมาวิเคราะห์

ตารางที่ 5 แสดงชนิดและ % frequency ของไดโนไฟลากเจลเลตไซต์ ที่พบบ่อยที่สุดที่สถานีเก็บตัวอย่างบริเวณชายฝั่งตะวันออกของอ่าวไทย เมื่อทำการศึกษาด้วยวิธีกรอง (sieve-method) และ วิธีเพาะขยายในหลอดทดลอง (culture-method)

date	location	sieve-method		culture-method	
		type	%freq	type	%freq
Aug-95	อ่าวนอกเมือง ชลบุรี	<i>Pheopolykrikos</i> <i>hartmannii</i>	10%		
Aug-95	บางแสนห่าง ฝั่ง			<i>Pheopolykrikos</i> <i>hartmannii</i>	10%
Jan-96	บางพระห่าง ฝั่ง			<i>Pheopolykrikos</i> <i>hartmannii</i>	20%

(ตารางที่ ๕ ต่อ)

Jan-96	ป่ากแม่น้ำ	Pheopolykrikos	6%
	บางปะกง	<i>hartmannii</i>	
Jan-96	หนองคลอง	Pheopolykrikos	20%
	ค่าน	<i>hartmannii</i>	
Jan-96	ข้าวເກອມເມືອງ	Pheopolykrikos	20%
	ชลบุรี	<i>hartmannii</i>	
Jan-96	อ่างศิลา	Pheopolykrikos	20%
		<i>hartmannii</i>	
Jan-96	ป่ากคลอง	Pheopolykrikos	7%
	โรงนา	<i>hartmannii</i>	
Jan-96	บางแสนห้าง	Pheopolykrikos	7%
	ผึ้ง	<i>hartmannii</i>	
Jan-96	บางแสนไกส์	Scrippsiella	20%
	ผึ้ง	<i>trochoidea</i>	
Jan-96	บางแสนไกส์	Pheopolykrikos	20%
	ผึ้ง	<i>hartmannii</i>	
Jan-96	บางพระไกส์	Pheopolykrikos	7%
	ผึ้ง	<i>hartmannii</i>	
Jan-96	ศรีราชาแกะ	Pheopolykrikos	7%
	ดอย	<i>hartmannii</i>	20%
Mar-96	บางพระห้าง	Pheopolykrikos	20%
	ผึ้ง	<i>hartmannii</i>	
Mar-96	ป่ากแม่น้ำ	Pheopolykrikos	20%
	บางปะกง	<i>hartmannii</i>	
Mar-96	หนองคำ	Pheopolykrikos	20%
	เมืองชลบุรี	<i>hartmannii</i>	

(ตารางที่ 5 ต่อ)

Mar-96 บางแสนห่าง ผิว	<i>Pheopolykrikos</i> 40% <i>hartmannii</i>
Mar-96 ศรีราชาท่า เรือ	<i>Pheopolykrikos</i> 40% <i>hartmannii</i>

5. ชนิดและความหนาแน่นของแพลงก์ตอนพืชชนิดเด่น (ดูตารางที่ 6)

เนื่องจากแพลงก์ตอนพืชมีความสำคัญในแง่เป็นตัวบ่งชี้ว่ามีการมีหรือไม่มีการเกิด Dinoflagellate cysts โดยถ้าพบ แพลงก์ตอนพืชในกลุ่มไดโนแฟลกเจลเลตเด่นเป็นพิเศษในบริเวณใด หรือ ช่วงระยะเวลาใดแล้ว ก็คาดว่าจะมีโอกาสพบ Dinoflagellate cysts ในบริเวณหรือช่วงระยะเวลาดังกล่าวมาก จึงได้เคราะห์ในส่วนนี้อย่างละเอียดต่อไป

เดือนสิงหาคม พศ. 2538 : (ดูตารางที่ 6.1) พบรูปแพลงก์ตอนพืชชนิดเด่นในทุกสถานีที่ทำการศึกษาจำนวน 5 ชนิด ได้แก่ 1) กลุ่มไดอะตوم ได้แก่ *Coscinodiscus sp.*, *Bacteriastrum sp.* และ *Chaetoceros sp.* 2) กลุ่มไดโนแฟลกเจลเลต ได้แก่ *Ceratium sp.* และ *Noctiluca scintillans* โดยพบว่า *Chaetoceros sp.* เป็นแพลงก์ตอนพืชชนิดเด่นที่มีความหนาแน่นมากที่สุด พบรูปที่แสดงถึงตัวอย่างต่อวันออก เท่ากับ 1.880×10^6 เชลล์/ลูกบาศก์เมตร และรองลงมาได้แก่ บริเวณศรีราชา (ท่าเรือ) และ บางแสน (ห่างผิว) เท่ากับ 1.756×10^6 เชลล์/ลูกบาศก์เมตร และ 0.980×10^6 เชลล์/ลูกบาศก์เมตร ตามลำดับ

เดือนตุลาคม พศ. 2538 : (ดูตารางที่ 6.2) พบรูปแพลงก์ตอนพืชชนิดเด่นในทุกสถานีที่ทำการศึกษา จำนวน 6 ชนิด ได้แก่ 1) กลุ่มไดอะตوم ได้แก่ *Coscinodiscus sp.*, *Rhizosolenia sp.*, *Bacteriastrum sp.*, *Chaetoceros sp.* และ *Thalasiothrix sp.* 2) กลุ่มไดโนแฟลกเจลเลต ได้แก่ *Noctiluca scintillans* โดยพบว่า *Rhizosolenia sp.* เป็นแพลงก์ตอนพืชชนิดเด่นที่มีความหนาแน่นมากที่สุด พบรูปที่บางแสนห่างผิว เท่ากับ 0.990×10^6 เชลล์/ลูกบาศก์เมตร และรองลงมาได้แก่ บางแสนใกล้ผิว และ เกาะสีชัง ตัวอย่างต่อวันออก เท่ากับ 0.870×10^6 เชลล์/ลูกบาศก์เมตร และ 0.863×10^6 เชลล์/ลูกบาศก์เมตร ตามลำดับ

family	genera	ชื่อวิทยาศาสตร์	ชื่อภาษาไทย	ชื่อภาษาอังกฤษ	ชื่อสกุล	ภาษาไทย	ภาษาอังกฤษ	ภาษาไทย	ภาษาอังกฤษ	ภาษาไทย	ภาษาอังกฤษ	ภาษาไทย	ภาษาอังกฤษ
Coscinodiscaceae	<i>Coscinodiscus</i>	0.01	0.012	0.022	0.015	0.005	0.124	0.002	0.098	0.650	0.560	0.187	
Bacteriastrium	<i>Bacteriastrium</i>	0.053				0.088	0.44	0.44	0.009	0.09	0.833	0.110	
Chaetoceraceae	<i>Chaetoceros</i>	0.009	0.021			0.005	0.088	0.98	0.54	0.169	1.756	0.222	1.880
Dinoflagellate	<i>Ceratium</i>	0.021	0.011	0.012	0.012	0.125				0.000			
Dinoflagellate	<i>Noctiluca</i>	0.023	0.012	0.022	0.025		0.042	0.043	0.004	0.055	0.060	0.055	0.413

ตารางที่ 6.2 ผลิตภัณฑ์และกิจกรรม ($\times 1,000,000$ ล้านบาท) ประจำปีงบประมาณ พ.ศ. 2538

ตารางที่ 6.3 ผลกระทบต่อความหนาแน่น (x 1,000,000 เซลล์/กรัมกรดเหลว) บริเวณต่างๆ ที่ทดสอบเพื่อตรวจสอบคุณภาพ : เตือนภัยกรมฯ พศ. 2539

family	genera	ปริมาณน้ำ คลอรีนที่ห้าม สำหรับผู้ช่วย ชุมชน	ถังศักดา	ป่าภาคตะวันออก	แม่น้ำสีน้ำเงิน	แม่น้ำสีฟ้า	แม่น้ำฟอง	แม่น้ำฟอง	แม่น้ำฟอง	แม่น้ำฟอง	แม่น้ำฟอง
Coccomyces	<i>Coccomyces</i>	0.019	0.020	0.040	0.099	0.045	0.003	0.070	0.022	0.030	0.018
Rhizosolenia	<i>Rhizosolenia</i>	0.060	0.060	0.078	0.080	0.082	0.091	0.017	0.104	0.004	0.127
Bacteriastrum	<i>Bacteriastrum</i>	0.011	0.021	0.034	0.055	0.154	0.166	0.014	0.282	0.118	0.212
Chaetoceraceae	<i>Chaetoceros</i>	0.010	0.010	0.022	0.041	0.066	0.032	0.013	1.389	0.091	1.411
Pennales	<i>Thalassiothrix</i>			0.021	0.011	0.011		0.012	0.006	0.021	
Dinoflagellatae	<i>Ceratium</i>			0.011	0.022	0.022	0.003	0.006	0.008	0.025	

ตารางที่ 6.4 ผลกระทบต่อความหนาแน่น (x 1,000,000 เซลล์/กรัมกรดเหลว) บริเวณต่างๆ ที่ทดสอบเพื่อตรวจสอบคุณภาพ : เตือนภัยกรมฯ พศ. 2539

family	genera	ปริมาณน้ำ คลอรีนที่ห้าม สำหรับผู้ช่วย ชุมชน	ถังศักดา	ป่าภาคตะวันออก	แม่น้ำสีน้ำเงิน	แม่น้ำสีฟ้า	แม่น้ำฟอง	แม่น้ำฟอง	แม่น้ำฟอง	แม่น้ำฟอง	แม่น้ำฟอง
Coccomyces	<i>Coccomyces</i>	0.631	0.024	0.418	0.024	0.022	0.010	0.035	0.007	0.046	0.006
Rhizosolenia	<i>Rhizosolenia</i>			0.836	0.061	0.121	0.111	0.009	0.257	0.055	0.071
Bacteriastrum	<i>Bacteriastrum</i>	0.180	0.066	0.468	0.066	0.055	0.008	0.025	0.045	0.128	0.011
Chaetoceraceae	<i>Chaetoceros</i>	0.495	0.059	0.251	0.817	0.770	0.233	0.001	0.069	0.024	0.159
Pennales	<i>Thalassiothrix</i>	0.069	0.418	0.037	0.099	0.087	0.001			0.004	0.001
Dinoflagellatae	<i>Ceratium</i>	0.045	0.011	0.084	0.050	0.050	0.002	0.010	0.025	0.002	

ตารางที่ 6.5 เมตรชั่วโมงและความหนาแน่น (x1,000,000 หยดต่อสูบบากกิเมตร) บริเวณท่าเรือแหลมฉบังวันออก : เดือนเมษายน พ.ศ. 2539

family	genera	น้ำทะเล	คลองท่อ	แม่น้ำแม่กลอง	ถ่าสาคร	ปากคลอง	บางแสน	บางพระ	บางพะรัง	หัวแม่สัง	หัวแม่ดี	กรีรacha	กรีรacha	กรีรacha
		บริเวณ	บริเวณ	บริเวณ	บริเวณ	บริเวณ	บริเวณ	บริเวณ	บริเวณ	บริเวณ	บริเวณ	บริเวณ	บริเวณ	บริเวณ
Melosiraceae	Trichodesmium	0.054	0.045	0.030	0.010	0.250	0.022	0.222	0.030					
Coccolithophoridaceae	Coscinodiscus	0.070	0.034	0.011	0.077	0.081	0.070	0.052	0.051	0.033	0.089			
Rhizosoleniaceae	Rhizosolenia	0.070	0.011	0.010	0.020	0.090	0.341	0.022	0.011	0.022	0.220	0.400	0.788	
Bacteriastriatum	Bacteriastriatum	0.090	0.022	0.003	0.560	0.736	0.550	0.421	0.330	0.036	0.420	0.170		
Chaetoceraceae	Chaetoceros	0.070	0.023	0.006	0.770	2.740	0.880	0.550	0.520	0.147	0.230	1.890		
Dinoflagellatae	Noctiluca	1.560	1.100		0.880	1.060	0.921	0.520	0.440	0.784	0.990	0.716		

ตารางที่ 6.6 เมตรชั่วโมงและความหนาแน่น (x1,000,000 หยดต่อสูบบากกิเมตร) บริเวณท่าเรือแหลมฉบังวันออก : เดือนเมษายน พ.ศ. 2539

family	genera	น้ำทะเล	คลองท่อ	แม่น้ำแม่กลอง	ถ่าสาคร	ปากคลอง	บางแสน	บางพระ	หัวแม่สัง	หัวแม่ดี	กรีรacha	กรีรacha	กรีรacha	
		บริเวณ	บริเวณ	บริเวณ	บริเวณ	บริเวณ	บริเวณ	บริเวณ	บริเวณ	บริเวณ	บริเวณ	บริเวณ	บริเวณ	บริเวณ
Coccolithophoridaceae	Coscinodiscus	0.008	0.022	0.055	0.013	0.002	0.011	0.010	0.013	0.050	0.004	0.015		
Bacteriastriatum	Bacteriastriatum	0.000	0.009			0.030	0.031	0.005	0.129	0.113	0.001			
Chaetoceraceae	Chaetoceros	0.008	0.017		0.001	0.037	0.044	0.030	0.016	0.158	0.005	0.163	0.004	
Biddulphiaceae	Biddulphia	0.001	0.002	0.010	0.001			0.001	0.000			0.002		
Dinoflagellatae	Ceratium	0.032	0.056	0.173	0.155	0.223	0.020	0.117	0.082	0.509	0.560	0.517	0.039	
Dinoflagellatae	Peridinium	0.124	0.115	0.222	0.017	0.046	0.064	0.040	0.044	0.086	0.126	0.150	0.018	

ตารางที่ 6.7 ผลต่อความหนาแน่นของผู้คน (total density : $\times 1,000,000$ คนต่อกิโลเมตร²) ในการตั้งถิ่นฐานของมนุษย์ในประเทศไทย : พ.ศ. 2538-2539

การที่ 6.8 แสดงให้เห็นว่า genera ทั้งหมดในชุมชนต่างกันน้อยมาก (total genera) แต่ความหลากหลายสูงกว่า 90%

เดือนมกราคม พศ. 2539 : (ดูตารางที่ 6.3) พบแพลงก์ตอนพืชนิคเค่นในทุกสถานีที่ทำการศึกษา จำนวน 6 ชนิด ได้แก่ 1) กลุ่มไโคอะตوم ได้แก่ *Coscinodiscus sp.*, *Rhizosolenia sp.*, *Bacteriastrum sp.*, *Chaetoceros sp.* และ *Thalassiothrix sp.* 2) กลุ่มไโนแฟลกเจลเลต ได้แก่ *Ceratium sp.* โดยพบว่า *Chaetoceros sp.* เป็นแพลงก์ตอนพืชนิคเด่นที่พบมากที่สุด ที่ ศรีราชา บริเวณเกาะลอย เท่ากับ 1.411×10^6 เชลล์/ลูกบาศก์เมตร รองลงไปได้แก่ บางพระ ใกล้ฝั่ง และ เกาะสีชังฝั่งตะวันออก เท่ากับ 1.389×10^6 เชลล์/ลูกบาศก์เมตร และ $0.550\ 389 \times 10^6$ เชลล์/ลูกบาศก์เมตร ตามลำดับ

เดือนมีนาคม พศ. 2539 : (ดูตารางที่ 6.4) พบแพลงก์ตอนพืชนิคเด่นในทุกสถานีที่ทำการศึกษาจำนวน 6 ชนิด ได้แก่ 1) กลุ่มไโคอะตوم ได้แก่ *Coscinodiscus sp.*, *Rhizosolenia sp.*, *Bacteriastrum sp.*, *Chaetoceros sp.* และ *Thalassiothrix sp.* 2) กลุ่มไโนแฟลกเจลเลต ได้แก่ *Ceratium sp.* โดยพบว่า *Rhizosolenia sp.* เป็นแพลงก์ตอนพืชนิคเด่นที่พบมากที่สุด ที่ อ่างศิลา เท่ากับ 0.836×10^6 เชลล์/ลูกบาศก์เมตร รองลงไปได้แก่ บางพระ ใกล้ฝั่ง และ บางแสนห่างฝั่ง เท่ากับ 0.257×10^6 เชลล์/ลูกบาศก์เมตร และ 0.121×10^6 เชลล์/ลูกบาศก์เมตร ตามลำดับ

เดือนมิถุนายน พศ. 2539 : (ดูตารางที่ 6.5) พบแพลงก์ตอนพืชนิคเค่นในทุกสถานีที่ทำการศึกษาจำนวน 6 ชนิด ได้แก่ 1) กลุ่มสาหร่ายสีน้ำเงินแกรมเบี้ยง ได้แก่ *Trichodesmium sp.* 2) กลุ่มไโคอะตوم ได้แก่ *Coscinodiscus sp.*, *Rhizosolenia sp.*, *Bacteriastrum sp.*, และ *Chaetoceros sp.* 2) กลุ่มไโนแฟลกเจลเลต ได้แก่ *Noctiluca scintillans* โดยพบว่า *Chaetoceros sp.* เป็นแพลงก์ตอนพืชนิคเด่นที่พบมากที่สุด ที่ บางแสนห่างฝั่ง เท่ากับ 2.740×10^6 เชลล์/ลูกบาศก์เมตร รองลงไปได้แก่ เกาะสีชังฝั่งตะวันออก และ บางแสน ใกล้ฝั่ง เท่ากับ 1.890×10^6 เชลล์/ลูกบาศก์เมตร และ 0.880×10^6 เชลล์/ลูกบาศก์เมตร ตามลำดับ ทั้งนี้โดยมีข้อสังเกตว่าพน *Noctiluca scintillans* มีความหนาแน่นมากถึงขึ้นเกิดปรากฏการณ์ปี平淡ໄได้ โดยพบมากที่สุดที่ ปากแม่น้ำบางปะกง เท่ากับ 1.560×10^6 เชลล์/ลูกบาศก์เมตร รองลงไปที่ คลองค่าน และ บางแสนห่างฝั่ง เท่ากับ 1.100×10^6 เชลล์/ลูกบาศก์เมตร และ 1.060×10^6 เชลล์/ลูกบาศก์เมตร ตามลำดับ

เดือนสิงหาคม พศ. 2539 : (ดูตารางที่ 6.6) พบแพลงก์ตอนพีชชนิดเด่นในทุกสถานีที่ทำการศึกษาจำนวน 6 ชนิด ได้แก่ 1) กลุ่มไಡอะตوم ได้แก่ *Coscinodiscus* sp., *Bacteriastrum* sp., *Chaetoceros* sp. และ *Biddulphia* sp. 2) กลุ่มไไดโนแฟลกเจลเลต ได้แก่ *Ceratium* sp. และ *Peridinium* sp. โดยพบว่า *Ceratium* sp. เป็นแพลงก์ตอนพีชชนิดเด่นที่พบมากที่สุด ที่ บางพระ ใกล้ฝั่ง เท่ากับ 0.560×10^6 เชลล์/ลูกบาศก์เมตร รองลงไปได้แก่ ศรีราชบาริเวณท่าเรือ และ ศรีราชบาริเวณเกาะถอย เท่ากับ 0.560×10^6 เชลล์/ลูกบาศก์เมตร และ 0.0517×10^6 เชลล์/ลูกบาศก์เมตร ตามลำดับ

ความหนาแน่นรวม (total density) : (ดูตารางที่ 6.7)

พบว่าสำหรับความหนาแน่นรวมในแต่ละสถานีเก็บตัวอย่างนั้น พบว่าบางแห่งน้ำห่างฝั่งมีความหนาแน่น รวมสูงที่สุด ตลอดเวลาที่ทำการศึกษาพบอยู่ในช่วง $0.187-7.247 \times 10^6$ เชลล์/ลูกบาศก์เมตร รองลงไปได้แก่ เกาะสีชังฝั่งตะวันออก และ ศรีราชบาริเวณท่าเรือ อยู่ในช่วง $0.044-6.872 \times 10^6$ เชลล์/ลูกบาศก์เมตร และ $0.131-4.052 \times 10^6$ เชลล์/ลูกบาศก์เมตร ตามลำดับ

สำหรับความหนาแน่นรวมในแต่ละช่วงเวลาที่ทำการศึกษานั้น พบว่า เดือนมิถุนายน พศ. 2539 มีความหนาแน่นรวมตลอดเวลาที่ทำการศึกษาสูงสุด อยู่ในช่วง $0.075-7.247 \times 10^6$ เชลล์/ลูกบาศก์เมตร รองลงไปได้แก่เดือนสิงหาคม พศ. 2538 และเดือนมีนาคม พศ. 2539 เท่ากับ $0.079-4.052 \times 10^6$ เชลล์/ลูกบาศก์เมตร และ $< 0.001-3.741 \times 10^6$ เชลล์/ลูกบาศก์เมตร ตามลำดับ

จำนวน genera รวม (total genera) : (ดูตารางที่ 6.8)

พบว่าจำนวน genera รวมในแต่ละสถานีเก็บตัวอย่างนั้น พบว่าบางพระ ใกล้ฝั่งมีจำนวน genera รวมสูงที่สุด ตลอดเวลาที่ทำการศึกษาพบอยู่ในช่วง 4-19 generas รองลงไปได้แก่ ศรีราชบาริเวณเกาะถอย และ ศรีราชบาริเวณท่าเรือ อยู่ในช่วง ตามลำดับ 7-18 และ 3-18 generas ตามลำดับ

สำหรับความหนาแน่นรวมในแต่ละช่วงเวลาที่ทำการศึกษานั้น พบว่า เดือนมกราคม พศ. 2539 มีความหนาแน่นรวมตลอดเวลาที่ทำการศึกษาสูงสุด อยู่ในช่วง 3-19 generas รองลงไปได้แก่เดือนตุลาคม พศ. 2538 และ เดือนมิถุนายน พศ. 2539

เท่ากับ 5-13 และ 3-13 generas ตามลำดับ

6. ปริมาณอินทรีย์สารในดินตะกอน (oxidisable organic matter) (ดูตารางที่ 7)

พบว่าค่าเฉลี่ยของปริมาณอินทรีย์สารในดินตะกอน มีค่าสูงสุด ในเดือน มกราคม พศ. 2539 เท่ากับ $2.68 \pm 0.87\%$ ค่าเฉลี่ยต่ำสุดในเดือนมิถุนายน พศ. 2539 เท่ากับ $1.94 \pm 0.84\%$ พบว่าค่าเฉลี่ยของปริมาณอินทรีย์สารในดินตะกอนลดลงช่วงที่ทำการศึกษามีค่าลดลง แต่กลับพบอีกว่า ค่าต่ำสุดในแต่ละช่วงเวลาที่ทำการศึกษากลับเพิ่มขึ้น

ตารางที่ 7 แสดงปริมาณสารอินทรีย์ที่ถูกออกซิได้ได้เฉลี่ย (% oxidisable organic matter) (ค่าเฉลี่ย \pm standard deviation) บริเวณอ่าวไทยผังตะวันออก พศ. 2538-2539

date	% org matter	min	max
avgAug95	2.44 ± 0.95	0.18	3.78
avgOct95	2.42 ± 0.86	0.32	3.84
avgJan96	2.68 ± 0.87	0.14	3.67
avgMar96	2.61 ± 0.75	0.89	4.03
avgJun96	1.94 ± 0.84	0.55	3.55
avgAug96	2.07 ± 0.57	1.02	3.42

avg = average, % org matter = % oxidisable organic matter

7. ปริมาณซัลไฟฟ์ในดินตะกอน (sulphide content) (ดูตารางที่ 8)

ปริมาณซัลไฟฟ์ในดินตะกอนมีค่าเฉลี่ยสูงสุด ในเดือนมีนาคม พศ. 2539 เท่ากับ 0.945 ± 1.227 mM/gm wet wt sed และมีค่าเฉลี่ยต่ำสุดในเดือนสิงหาคม พศ. 2538 เท่ากับ 0.435 ± 0.301 mM/gm wet wt sed เป็นที่น่าสังเกตว่าปริมาณซัลไฟฟ์ในดินตะกอนจะมีค่าสูงในระหว่างปลายฤดูฝนจนถึงต้นฤดูฝน และ จะมีค่าต่ำสุดตลอดฤดูฝน

ตารางที่ 8 แสดงปริมาณซัลไฟด์ในคินตะกอนเฉลี่ย (mM/gm wet wt sed)

(ค่าเฉลี่ย±standard deviation และ ค่าต่ำสุด-ค่าสูงสุด) บริเวณอ่าวไทย
ตอนบนผังตะวันออก พศ. 2538-2539

date	mM/gm wet wt sed	min	max
avgAug-95	0.435±0.301	0.015	1.050
avgOct-95	0.935±1.230	0.021	4.029
avgJan-96	0.935±1.230	0.021	4.029
avgMar-96	0.945±1.283	0.020	4.270
avgJun-96	0.916±1.227	0.017	3.889
avgAug-96	0.446±0.300	0.009	1.001
avg=average			

สรุปและวิจารณ์ผลการศึกษา

1. คุณภาพน้ำท่วม (ตารางที่ 2)

อุณหภูมน้ำทะเลโขಯเฉลี่ยอยู่ในช่วง 26.7 - 30.3 องศาเซลเซียส โดยในเดือน ตุลาคม พศ. 2538 มีค่าต่ำสุด (26.7 องศาเซลเซียส) อุณหภูมิดังกล่าวใกล้เคียงกับที่รายงานโดย Waewta, et al (1996) ซึ่งรายงานว่าอุณหภูมอน้ำทะเลบริเวณตั้งแต่ปากแม่น้ำบางปะกง ถึง ศรีราชา ระหว่างเดือน กรกฎาคม ถึง ธันวาคม พศ. 2538 อยู่ในช่วง 26.0-29.0 องศาเซลเซียส

ในช่วงเดือนสิงหาคม พศ. 2539 มีความเค็มต่ำสุด (24.3 ส่วนในพันส่วน) โดยเดือนสิงหาคม พศ. 2538 ความเค็มในแต่ละสถานีเก็บตัวอย่างจะแตกต่างกันมาก ในขณะที่เดือนมกราคม พศ. 2539 มีความเค็มในแต่ละสถานีใกล้เคียงกัน ค่าความเค็มที่ได้สูงกว่าที่รายงานโดย Waewta, et al (1996) เช่นกัน โดยได้รายงานไว้ว่าความเค็มบริเวณเดียวกันนี้อยู่ในช่วง 3-36 ส่วนในพันส่วน ทั้งนี้ควรจะเป็นพระไadas ทำการศึกษาเฉพาะช่วงระยะเวลาปลายปีที่เป็นฤดูฝนเท่านั้น

สำหรับปริมาณออกซิเจนละลายน้ำพบว่ามีค่าเฉลี่ยอยู่ในช่วง 3.6 - 7.0 มิลลิกรัม/ลิตร ในเดือนมกราคม พศ. 2539 มีปริมาณออกซิเจนละลายน้ำต่ำสุด (2.5 มิลลิกรัม/ลิตร) เดือนสิงหาคม พศ. 2539 มีปริมาณออกซิเจนละลายน้ำสูงสุด (7.0 มิลลิกรัม/ลิตร) ก้าเฉลี่ยปริมาณออกซิเจนละลายน้ำในการศึกษาริบบินี้ใกล้เคียงกับที่รายงานโดย Waeta, et al (1996) แต่พบว่าสูงสุดในการศึกษาริบบินี้ (7.0 มิลลิกรัม/ลิตร) ต่ำกว่าที่ Waeta, et al (1996) เคยรายงานไว้ (เท่ากับ 9.5 มิลลิกรัม/ลิตร)

pH ของน้ำทะเลในบริเวณที่ทำการศึกษามีค่าไม่เปลี่ยนแปลงมากนัก อยู่ในช่วงที่ใกล้เคียงตลอดเวลาที่ทำการศึกษา (8.3-8.5) และใกล้เคียงกับค่าเฉลี่ยในบริเวณเดียวกันที่ทำการศึกษาโดย Waeta, et al (1996) ซึ่งเท่ากับ 8.2 ± 0.3 โดยมีค่าต่ำสุด-สูงสุดเท่ากับ 7.4-8.7

ความโปร่งแสงเฉลี่ยอยู่ในช่วง 2.5 - 3.4 เมตร และ ในแต่ละช่วงเวลาที่ทำการศึกษาค่าความโปร่งแสงใกล้เคียงกัน และพบว่าค่าเฉลี่ยของความโปร่งแสงจะใกล้เคียงกับของ Waeta, et al (1996) ซึ่งเท่ากับ 2.5 ± 1.6 เมตร

2. ปริมาณชาตุอาหาร (ตารางที่ 3)

ปริมาณในไตรมาสลี่ย์ มีการเพิ่มขึ้นตามเวลา (ปริมาณในไตรมาสลี่ย์ เดือน สิงหาคม พศ. 2538 เท่ากับ 0.089 ug-at N/L และ ปริมาณในไตรมาสลี่ย์เดือน สิงหาคม พศ. 2539 เท่ากับ 1.938 ug-at N/L) พบว่าค่าที่ได้ใกล้เคียงกับที่รายงาน โดย Waewta, et al (1996) ซึ่งเท่ากับ $0.03 \pm 0.05 \text{ mgN/L}$ หรือ เท่ากับ $2.14 \pm 3.57 \text{ ugatN/L}$ เช่นเดียวกับ ปริมาณในตรบที่เพิ่มขึ้นเช่นกัน (ปริมาณในตรบที่เดือนสิงหาคม พศ. 2538 เท่ากับ 1.095 ug-at N/L และ ปริมาณในตรบที่เดือนสิงหาคม พศ. 2539 เท่ากับ 10.937 ug-at N/L) และค่าที่ในตรบที่ได้นี้ใกล้เคียงกับที่รายงาน โดย Waewta, et al (1996) อีก เช่นกัน ซึ่งเท่ากับ $0.023 \pm 0.31 \text{ mgN/L}$ หรือเท่ากับ $1.64 \pm 22.14 \text{ ugatN/L}$ ในขณะที่ ปริมาณซิลิกาตเนลี่ย์ในบริเวณที่ศึกษามีการเปลี่ยนแปลงขึ้น-ลง ตามเวลา โดยในระยะ เดือนตุลาคม พศ. 2538 ถึง เดือนมกราคม พศ. 2539 (ตดูหน้า) มีค่าต่ำสุด ($5.975 - 6.653 \text{ ug-at Si/L}$) เดือนมีนาคม - เดือนมิถุนายน พศ. 2539 (ตดูผ่น) มีค่าสูงสุด ($30.013 - 34.117 \text{ ug-at Si/L}$) สำหรับปริมาณฟอสฟพนว่ามีค่าเฉลี่ยใกล้เคียงกัน (อุปทานช่วง $0.048 - 0.502 \text{ ug-at P/L}$) ยกเว้นในเดือนตุลาคม พศ. 2538 มีปริมาณ ฟอสฟทเพิ่มขึ้น สูงสุด เท่า กับ 3.588 ug-at P/L แต่ไม่ปรากฏว่าเท่ากับที่รายงานไว้โดย Waewta, et al (1996) ซึ่งเท่ากับ $0.04 \pm 0.03 \text{ mgP/L}$ หรือเท่ากับ $1.29 \pm 0.96 \text{ ugatP/L}$

3. ปริมาณคลอโรฟิลล์ อี บี และ ซี (ตารางที่ 4)

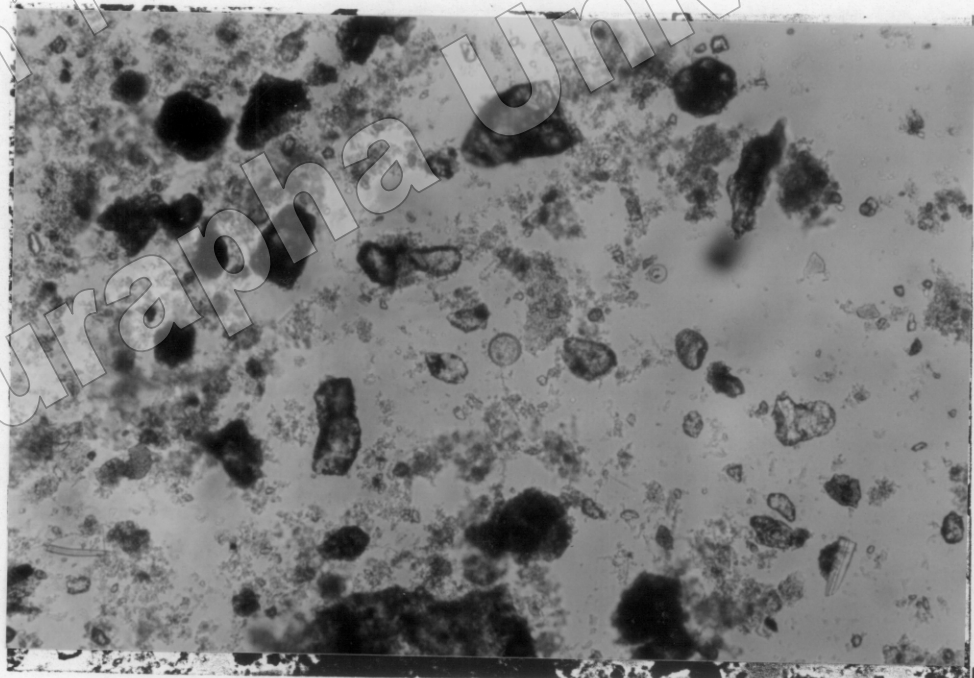
ปริมาณคลอโรฟิลล์ อี และ ซี มีการเปลี่ยนแปลงขึ้นลงตามเวลา โดยมีค่าต่ำใน ช่วงเดือนสิงหาคม - เดือนตุลาคม พศ. 2538 (ปริมาณคลอโรฟิลล์ อี อยู่ในช่วง $0.074 \pm 0.051 - 0.085 \pm 0.083 \text{ mg/cu.m}$ และ ปริมาณคลอโรฟิลล์ ซี อยู่ในช่วง $0.059 \pm 0.065 - 0.087 \pm 0.071 \text{ mg/cu.m}$) และเดือนมิถุนายน - สิงหาคม พศ. 2539 (ปริมาณ คลอโรฟิลล์ อี อยู่ในช่วง $0.087 \pm 0.090 - 0.149 \pm 0.228 \text{ mg/cu.m}$ และ ปริมาณคลอ โรฟิลล์ ซี อยู่ในช่วง $0.054 \pm 0.057 - 0.088 \pm 0.181 \text{ mg/cu.m}$) และมีค่าสูงสุดในช่วงเดือน มกราคม - เดือนมีนาคม พศ. 2539 (ซึ่งปริมาณคลอโรฟิลล์ อี อยู่ในช่วง $0.138 \pm 0.140 - 0.225 \pm 0.184 \text{ mg/cu.m}$ และ ปริมาณคลอโรฟิลล์ ซี อยู่ในช่วง $0.107 \pm 0.100 - 0.130 \pm$

0.179 mg/cu.m) ในขณะที่ปริมาณคลอโรฟิลล์ เอ มีค่าไม่เปลี่ยนแปลงมาก (อุปในช่วง 0.196 - 0.603 mg/cu.m) อย่างไรก็ตามค่าที่ได้ต่ำกว่าที่รายงานไว้โดย ไพรัช เดชาลีย์ (2535) ซึ่งได้ทำการศึกษาริเวณระหว่างอำเภอสัตหีบ จังหวัดชลบุรีและ อัมกอหัวหิน ขึ้นหัวดประจำวันคีรีขันธ์ (พศ. 2533) โดยรายงานว่า ปริมาณคลอโรฟิลล์ เอ บี และ ซี มีค่าสูงสุดในเดือนตุลาคม เท่ากับ 2.30, 0.51 และ 2.48 mg/cu.m ตามลำดับ

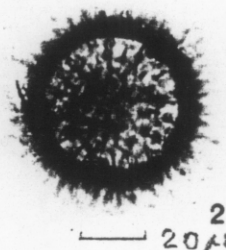
4. ชนิด และ จำนวนที่พบของ Dinoflagellate Cysts (ตารางที่ 5)

4.1 ชนิด และ รูปร่างลักษณะ

พบเพียง 2 ชนิด คือ *Phaeopolykrikos hartmannii* และ *Scrippsiella trochoidea* โดยพบว่า *P. hartmannii* มีลักษณะกลมมีหนามเล็กๆ โดยรอบ (รูปที่ 5) ซึ่งได้ทำการเทียบ กับที่พบในประเทศไทย (จาก Matsuoka, K. and Yasuwo Fukuyo, 1986 ; Hak Gyoon Kim, 1996) (รูปที่ ๖)



รูปที่ 5 แสดง cysts ของ *Phaeopolykrikos hartmannii* ที่พบในการศึกษาริเวณที่สังเกตจาก การใช้กล้องจุลทรรศน์กำลังขยาย 10*40 เท่า

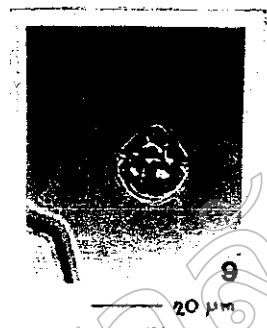


รูปที่ 6 แสดง cysts ของ *Phaeopolykrikos hartmanni* ที่พบในประเทศไทยญี่ปุ่น และ ประเทศไทย
(จาก Matsuoka, K. and Yasuwo Fukuyo, 1986; Hak Gyoong Kim, 1996)

ในขณะที่ พม cyst ของ *S. trochoidea* เพียงครั้งเดียวในตัวอย่างที่หาดบางแสนติด
ชายฝั่ง ซึ่ง *S. trochoidea* ที่พบมีลักษณะเป็นรูปกรวย 2 อันกว่าประกอบกัน (รูปที่ 7)
เทียบกับที่พบในประเทศไทย (Hak Gyoong Kim, 1996) (รูปที่ 8)



รูปที่ 7 แสดง cysts ของ *Scrippsiella trochoidea* ที่พบในการศึกษาครั้งนี้ที่
สังเกตจากการใช้กล้องจุลทรรศน์กำลังขยาย 10*40 เท่า



รูปที่ 8 แสดง cysts ของ *Scippsiella trochoidea* ที่พนในประเทศไทย (จาก Hak Gyoong Kim, 1996)

4.2 บริเวณและระยะเวลาที่พน

พบบ่อยที่สุดในตัวอ่ายงบริเวณปากแม่น้ำบางปะกง ถึง หาดบางแสน (ตารางที่ 5) โดยพบเป็นปริมาณมากเมื่อเทียบกับจำนวนตัวอ่ายงที่นำมาศึกษาแล้วมีจำนวนต่ำมาก โดยทั้งนี้จะพบบ่อยที่สุดในช่วงเดือนมกราคม พศ. 2539 รองลงไปได้แก่เดือนมีนาคม พศ. 2539 และอย่างไรก็ตาม cysts ทั้ง 2 ชนิดที่พบนี้สามารถถกถ่วงได้ว่าพบน้อยมากเมื่อเทียบกับจำนวนตัวอ่ายงและระยะเวลาที่ทำการศึกษา จึงไม่น่าจะก่อให้เกิดเป็นปัญหาต่อประชาชนและสิ่งแวดล้อม เช่น ในต่างประเทศได้

5. สรุปและข้อเสนอแนะ :

5.1 สำหรับความเป็นไปได้ที่จะพบ Dinoflagellate cysts อันที่เป็นพิษในอ่าวไทยตอนบน

บวบเนนที่ทำการศึกษานั้น จากการศึกษาครั้งนี้ และ จากการศึกษาในประเทศไทย (สุทธิชัย เตเมียวณิชย์ , 2527; Yasuwo Fukuyo et al, 1989; ไทยดาวร เดชวิทยาประสีฐ, 2537; สมบัติ อินทร์คงและสมภพ รุ่งสุภา, 2536; Waewtaa et al, 1996) ที่ได้รายงานการเกิดปรากฏการณ์เปลี่ยนสี ซึ่งที่มีรายงานครั้งร้ายแรงที่สุด ได้แก่ที่อ่าวกงปราณบุรี จังหวัดประจวบคีรีขันธ์ (พศ. 2521) (สมบัติ อินทร์คงและสมภพ รุ่งสุภา, 2536) หลังจากนั้นกันถึงปัจจุบัน (พศ. 2539) ยังไม่มีรายงานเป็นทางการเรื่องที่เคยเกิดที่อ่าวกงปราณบุรี แต่ปรากฏว่าในช่วงเวลาตั้งแต่ พศ. 2527 - 2539 กลับพบว่าเกิดปรากฏการณ์เปลี่ยนสีจาก *Noctiluca scimillans* ซึ่งที่ร้ายแรงที่สุดและมีรายงานเป็นทางการได้แก่ที่อ่าวกงศรีราชา จังหวัดชลบุรี ในพศ. 2534-2535 (ตารางที่ 9) (สิทธิพันธ์ ศิริรัตนชัย และ แวงตา ทองระอา, 2536; สมภพ รุ่งสุภา และ จิราภรณ์ บุญญประสีฐ, 2536) ซึ่งไม่ใช่กลุ่มที่เป็นพิษทำให้คนถึงตายได้ แต่จะมีผลต่อระบบมนุษย์ทางทะเล ต่อการ nave เสียงสัตว์น้ำ และ ต่อการท่องเที่ยวในด้านที่คนอุจจาระเป็นส่วนใหญ่ (สิทธิพันธ์ ศิริรัตนชัย และ แวงตา ทองระอา, 2536) ถึงแม้ว่าจะมีรายงานจาก ASEAN-Canada Cooperative Progaramme on Marine Science (1995) ว่าพบกลุ่มไดโนแฟลกเจลเลตที่เป็นพิษในประเทศไทย ได้แก่ *Alexandrium bahamensis var. compressa*, *Heterosigma sp.* !! และ *Chattanella sp.* ก็ตาม แต่เมื่อเทียบกับที่เกิดในประเทศไทยเพื่อนบ้านในภูมิภาคเอเชีย ได้แก่ ประเทศไทย มาเลเซีย ประเทศไทยในอดีตเชีย และ ประเทศไทยปัจจุบัน แล้ว พบว่าประเทศไทยที่กล่าวแล้วจะพบมีการเกิดปรากฏการณ์เปลี่ยนสีจากกลุ่มไดโนแฟลกเจลเลตที่เป็นพิษอย่างร้ายแรง และเกิดบ่อยมากกว่าในประเทศไทยเป็นอย่างมาก (John L. Maclean (1993) อ้างถึง FAO/UNESCO (1954) ; John L. Maclean (1993) อ้างถึง Tiny and Wong (1989 ; John L. Maclean (1993) อ้างถึง Gongales (1989 a); John L. Maclean (1993) อ้างถึง Hallegraeff (1987) ; ASEAN-Canada Cooperative Progaramme on Marine Science (1995)) และทั้งนี้ในขณะนี้ไม่ปรากฏว่าในตัวอย่างแพลงก์ตอนพืชที่ได้ทำการศึกษา (ตารางที่ 10, ภาคผนวกตารางที่ 25-30) (การศึกษาครั้งนี้ พศ. 2538-2539;

Waewtaa et al, 1996) จะพบกลุ่มไคโนนแฟลกเจลเลตในสภาพ Swimming form ที่น่าจะเป็นพิษร้ายแรงได้ ซึ่งน่าจะกล่าวไว้ว่ายกเว้น *Noctiluca scintillans* ที่พบว่าเป็นต้นเหตุของปรากฏการณ์น้ำเปลี่ยนสีที่พบบ่อยและแพร่กระจายทั่วไปบริเวณอ่าวไทยตอนบนฝั่งตะวันออกแล้ว ยังไม่มีรายงานการพบกลุ่มไคโนนแฟลกเจลเลตที่เป็นพิษร้ายแรง ในสภาพ Swiming form หรือ Cysts form แต่ถึงอย่างไรก็ตามการตรวจสอบและเฝ้าติดตามการเกิดปรากฏการณ์น้ำเปลี่ยนสีอย่างใกล้ชิดก็มีความจำเป็น แต่อาจสามารถคาดคะเนน การเพียง 1 เที่ยวต่อปี ในระหว่างเดือนธันวาคม ซึ่ง เดือนนี้กรรมการ

5.2 วิธีเก็บตัวอย่างในการศึกษา Dinoflagellate Cysts ในดินตะกอน

จากการสังเกตุจะพบว่าการเก็บตัวอย่างด้วยเครื่องมือขุดตัวอย่างแบบ Hand Corer (รูปที่ 3) ที่มีเส้นผ่าศูนย์กลางห่อเก็บไม่ต่ำกว่า 3 นิ้ว จะทำให้ได้ตัวอย่างที่มีผิวน้ำดินตะกอนสมบูรณ์ที่สุด ทั้งนี้พ vrouge เครื่องมือดังกล่าวจะไม่ทำให้ชั้นดินหรือผิวน้ำดินถูกทำลายแต่อย่างไร

5.3 วิธีการศึกษา Dinoflagellate Cysts ในดินตะกอน

ครั้งนี้ ได้ใช้วิธีการศึกษา 2 แบบ คือ แบบ seive-method และ แบบ culture-method ซึ่งทั้ง 2 วิธีต่างมีข้อดีและข้อเสียต่างกันนั้น (Matsuoka K. and Y. Fukuyo (1986) ; Margasigan A.N., J. Ingles and R. Babaran (1995) และ ไทยศาสตรา เลิศวิทยา ประสีพิที (2536)) ผู้วิจัยพบว่าวิธี culture-method จะสะดวกและให้ผลดีกว่าวิธี seive-method

ตารางที่ 9 แสดงปรากฏการณ์น้ำเปลี่ยนสีและการศึกษาเกี่ยวกับแพลงก์ตอนพืชในกลุ่มไคโนนแฟลกเจลเลตในอ่าวไทย (จาก สมบัติ อินทร์คง และ สมภพ รุ่งสุภา, 2536)

พศ.	ชนิดของแพลงก์ตอน	ระยะเวลา/บริเวณ/ลักษณะ	ผู้ศึกษา
2495	-----	พบน้ำเปลี่ยนเป็นสีเหลือง เขียว และ น้ำตาลในอ่าวไทย	สร้าง (2495) ถ่ายโดย ถุงน้ำ (2536)

(ตารางที่ 9 : ต่อ)

2495	<i>Noctiluca</i> sp.	พบที่จังหวัดชุมพรมากที่สุด เดือน เมษายน - สิงหาคม ระยะ 2-40 ไมล์ อ้างโดย สุนีช (2536) จากชายฝั่ง	Charempol (1978)
2520	<i>Noctiluca</i> sp.	เกิดการบลูม วันที่ 8 มิถุนายน บริเวณปากแม่น้ำเจ้าพระยา ตั้งแต่ ชาขฝั่งชลบุรี จนถึงสมุทรสงคราม เป็นแถบสีเขียวคล้ายสินกิโลเมตร	เสริมมิตร และ สุขนา (2527)
2520-	<i>Ceratium</i> sp.,	บริเวณอ่าวไทยตอนกลาง โดยพน โภภาน (2526)	
2522	<i>Pyrocystis</i> sp., <i>Noctiluca</i>	มากที่สุดในเดือนกุมภาพันธ์ 2521 และน้อยที่สุด เดือนกันยายน 2522	
	<i>scintillans</i>		
2524	<i>Ceratium furca</i> , <i>Noctiluca scintillans</i>	ในเดือนกุมภาพันธ์ แม่น้ำท่าจีน และแม่กลองมีสีเขียว และ แดง นานกันฝั่งละตี ลึกลงไปในแม่น้ำประมาณ 2 กม. เป็นเวลา 10 วัน	สุวรรณ และ ชลัญญา (2525) อ้างโดย สุนีช (2525)
2524-	<i>Noctiluca</i>	เกิดน้ำเปลี่ยนสีเป็นสีเขียวปนเหลือง (2525)	
2525	<i>miliaris</i>	งบรวมปากแม่น้ำท่าจีน อ่าว ปราจีน และ ปากน้ำหลังสวน เดือนกุมภาพันธ์ ถึงมีนาคม กระจายออกไปนอกฝั่งประมาณ 7 ไมล์ทะเล	

(ตารางที่ 9 : ต่อ)

2521- <i>Noctiluca</i> sp.	พบในบริเวณปากแม่น้ำเจ้าพระยา แม่น้ำท่าจีน อ่าวไทยตอนบน อ่าวไทยตอนล่าง พบเดือนตุลาคม 2521 ถึง กันยายน 2523 และ เดือน มกราคม ถึง กุมภาพันธ์ ทำให้น้ำเปลี่ยนเป็นสีเขียวโอลีฟ	สีเขียว และ หม่น (2525), หม่นและอัข dara (2524), Suvapeepun(1980), สุวรรณี และ ชลัญญา (2525)
2525- <i>Ceratium</i> sp., <i>Noctiluca</i> sp.	พบในการสำรวจบริเวณชายฝังทะเลตะวันออกของอ่าวไทย ตั้งแต่บริเวณปากแม่น้ำบางปะกง ถึง บริเวณบางพระ เดือนกุมภาพันธ์ 2526 - กุมภาพันธ์ 2526	สุนนา (2527)
2525- <i>Noctiluca</i> sp., <i>Ceratium</i> sp.	เกิดการบลูมบริเวณอ่าวไทย จังหวัดสมุทรปราการ ไปทางตะวันออกถึง อำเภอศรีราชา พบมากในช่วงฤดูฝน/ฤดูที่มีน้ำหลอก พศ. 2526	สุทธิชัย (2527)
2526 <i>Protoperidinium quinguecorne</i> , <i>Protorcentrum micans</i> , <i>Peridinium</i> sp., <i>Dinophysis</i> sp., <i>Protogonyaulax</i> sp., <i>Alexandrium</i> sp.	เป็นกลุ่มไดโนแฟลกเจลเลตที่พบมากที่สุดในบริเวณที่เกิดปรากฏการณ์น้ำเปลี่ยนสี ในขณะเกิดพิษอัมพาตในหอยของประชาชน เดือน พฤษภาคม บริเวณปากแม่น้ำปราบ	สุทธิชัย (2526)

(ตารางที่ 9 : ต่อ)

2526	<i>Dinophysis caudata</i>	เกิดการบุบลุ่มชายฝั่งทะเล จังหวัดสมุทรปราการ ติดต่อ กรุงเทพฯ และสมุทรสาคร น้ำ ทะเลเป็นสีแดงทำให้ผู้ที่ บริโภคในบริเวณนั้นเกิดการ ท้องเสียและอาเจียน	สุกชัย (2527)
2526	<i>Ceratium furca</i>	เกิดการบุบลุ่มหลังจากหน้าท่วม กรุงเทพฯ ทำให้น้ำทะเลเป็นสี แดงอิฐ วันที่ 15-20 เมษายน บริเวณชายฝั่งตะวันออกของ อ่าวไทย ตั้งแต่กอลองค้าน ป่ากล แม่น้ำบางปะกง จนถึงเขตติด ต่อพัทยา	ชาเริก (2535)
2534	<i>Noctiluca scintillans</i>	เคื่อนติงทางกม เกิดน้ำเบลี่ยนสีทึ้ง ลุนีช (2536) คลบบุรี กลุ่มพื้นที่ตั้งแต่อ่าวไฟ ถึง อ่างศิลา ทำให้สัตว์น้ำดินและ ปลาตายจำนวนมาก	
2534-	<i>Noctiluca scintillans</i>	เกิดการบุบลุ่มระหว่าง 18-20	ชาเริก (2535)
2535	<i>Noctiluca scintillans</i>	สีงูเห่า กม ตั้งแต่ แหลมสหัสกร ถึง กะริราชา พื้นที่ 250 - 300 ไร่ น้ำเป็นสีเขียวจัด มีก้อนฟองเม็ด ปลาหายใจหายใจ	
1995	<i>Alexandrium tamarensis.</i>	แสดงปริมาณ และ ชนิดของ Harmful Algal Bloom ที่เกิดขึ้น	ASEAN-Canada Cooperative
	<i>Heterosigma sp.,</i>	ในภูมิภาค เอเชีย-แปซิฟิกที่ Chattanella sp.,	Programme on
	<i>Noctiluca scintillans</i>	หมู่ รวมประเทศไทย	Marine Science

-38-

ตารางที่ 10 เมตรองค์นิด และ ความหนาแน่น ($\times 10,000 \text{ cell}/\text{cum}$) ของแพลงก์ตอนพืชในอดีตที่พยาไรโว่ภายในแม่น้ำ
บางปะกงที่เชื่อมริมน้ำ พ.ศ. 2538(ก้าว แม่น้ำ ห้องเรียน ภาค ที่ ๑ , 2539)

date	group	genera	BPRM	BSAI	MMAI	ASILA	BSAN	BFRB	SIRA
Jul-95	Diatom	Thalassiosira	5.60	0.24	0.03	0.05	0.15	0.37	0.08
Jul-95	Diatom	Chaetoceros	0.05	0.03	0.08	0.41	3.57	47.02	186.56
Jul-95	Diatom	Cosinodiscus	0.13	0.08	0.12	0.25	0.15	0.23	0.16
Jul-95	Dinoflagellate	Dinophysis	1.06	0.35	0.12	0.01	0.31	0.70	0.12
Jul-95	Dinoflagellate	Ceratium	17.04	5.00	1.47	0.01	0.15		1.01
Jul-95	Dinoflagellate	Noctiluca scintillans	0.30		6.06	24.90	47.24	30.16	12.95
Aug-95	Diatom	Chaetoceros	0.05	0.05		0.08	1.56	2.27	0.07
Aug-95	Diatom	Nitzchia	0.14	0.38	0.03		0.53	0.57	0.01
Aug-95	Diatom	Cosinodiscus	0.11	2.53	0.06	0.44	0.35	0.24	0.03
Aug-95	Diatom	Biddulphia	0.05	1.48	0.02	0.03	0.22	0.13	
Nov-95	Diatom	Hemiaulus	0.04	0.33	0.13	0.06	0.10		0.11
Nov-95	Diatom	Lauderia	3.28	4.74	0.83	11.86	39.73	20.63	
Nov-95	Diatom	Nitzchia	2.48	3.28	49.69	6.74	2.50	10.79	11.56

(ตารางที่ 10 : เฉลี่ย)

	Diatom	Rhizosolenia	0.01	2.61	1.10	1.38	1.43	34.14
Nov-95	Diatom	Cosinodiscus	0.01	0.62	1.34	0.41	1.36	2.02
Nov-95	Diatom	Biddulphia	0.47	5.37	6.36	1.22	0.05	0.14
Nov-95	Dinoflagellate	Dinophysis	0.11	6.10	0.05	0.08	1.19	0.74
Nov-95	Dinoflagellate	Noctiluca scintillans	9.55	32.42	11.45	0.32	0.17	0.01

คำขอบคุณ

ผู้วิจัยขอขอบพระคุณ มหาวิทยาลัยบูรพา ที่ได้กรุณาให้การสนับสนุนการวิจัยครั้งนี้ ซึ่งเป็นโครงการวิจัย ในงบประมาณแผ่นดินประจำปีงบประมาณ 2538 และขอขอบคุณ ท่านผู้อำนวยการสถาบันวิจัยทรัพยากรทางน้ำ บุคลากรผู้มีเกียรติ มหาวิทยาลัย และ ท่านหัวหน้า ภาควิชาบริษัทศาสตร์ คณะวิทยาศาสตร์ มหาวิทยาลัยบูรพา ที่ให้คำแนะนำด้านต่างๆ และ ขอบคุณเจ้าหน้าที่สถานีวิจัยวิทยาศาสตร์ทางทะเล และ ศูนย์ฝึกอบรมฯ ทุกท่านที่ ได้ให้ความช่วยเหลือด้วยดีในทุกด้าน

เอกสารอ้างอิง

วิมลรัตน์ เกย์นทรัพย์, 2524. การวิเคราะห์หาปริมาณรวมของสารอินทรีและความจุรวมของซัลไฟด์ในดินตะกอนอ่าวไทย วิทยานิพนธ์ปริญญามหาบัณฑิต ภาควิชา

วิทยาศาสตร์ทางทะเล บัณฑิตวิทยาลัย จุฬาลงกรณ์มหาวิทยาลัย

สุทธิชัย เตมียวัฒ์, 2527. หอยสีเลือดอันนี้อ่อมมาจากปรากฏการณ์ปีปลาขาว (Red Tides) เอกสารประกอบการสัมนา ครั้งที่ 3 เรื่องการวิจัยคุณภาพน้ำ และ คุณภาพทรัพยากร่มีชีวิตในผ่านน้ำไทย 26-28 มีนาคม 2527 สำนักงานคณะกรรมการวิจัยแห่งชาติ หน้า 296-299

ไพรัช เดชาธารี, 2535. การประเมินปริมาณคลอร็อกฟิดด์ ในบริเวณอ่าวไทยตอนใน รายงานการสัมนาวิชาการประมงประจำปี 2535 หน้า 380 (บทคัดย่อ)

ศิทธิพันธ์ ศิริรัตนชัย และ แวนตา ทองระอา, 2536. ผลกระทบจากปรากฏการณ์ปีปลาขาวต่อ บริเวณชายฝั่งจังหวัดชลบุรี การประชุมวิชาการทรัพยากรทางน้ำครั้งที่ 4 สถาบันวิจัย ทรัพยากรทางน้ำ จุฬาลงกรณ์มหาวิทยาลัย 14-15 มกราคม 2536

สมภพ รุ่งสุภา และ อริยาภรณ์ บุญญประสีทธิ์, 2536. ชนิด, ปริมาณของแพลงก์ตอนพืช และ ปัจจัยสั่งแวดล้อมในขณะที่เกิดปรากฏการณ์ปีปลาขาว ณ อ่ามหาครีรากา พศ. 2534 การประชุมวิชาการ ทรัพยากรทางน้ำ ครั้งที่ 4 สถาบันวิจัยทรัพยากรทางน้ำ จุฬาลง - กรณ์มหาวิทยาลัย 14-15 มกราคม 2536

สมบัติ และ สมภพ, 2536. แพลงก์ตอนพืชชนิดเด่นที่ทำให้เกิดน้ำเปลี่ยนสีรอบชายฝั่งทะเล ของไทย การประชุมวิทยาศาสตร์และเทคโนโลยีแห่งประเทศไทย ครั้งที่ 20

ไทยถาวร เดชวิทยาประสีทธิ์, 2536. บทบาทของ cysts และการศึกษาการแพร่กระจายของ cysts น้ำเปลี่ยนสีรวมคำบรรยายการสัมนาเรื่องปฏิบัติการเรื่องน้ำเปลี่ยนสีกองของประมง ทะเล กรมประมง และกองจัดการคุณภาพน้ำ กรมควบคุมมลพิษในโครงการ

ASEAN-CANADA Cooperative Programme on Marine Science, หน้า 28-31

ไทยถาวร เดชวิทยาประสีทธิ์, 2537. น้ำเปลี่ยนสี การสัมนาวิทยาศาสตร์ทางทะเลแห่งชาติ ครั้งที่ 5 เรื่อง สถานภาพของทะเลไทยและแนวโน้มในอนาคต โรงแรมไพบูลย์ชัช จังหวัดระยอง 22-24 สิงหาคม 2537. สำนักงานคณะกรรมการวิจัยแห่งชาติ

ข้ามๆ บุญมาศ , 2537. การวิเคราะห์หาปริมาณไฮโตรเจนซัลไฟด์ในдинตะกอนบริเวณชายฝั่งทะเลตะวันออกของอ่าวไทย ภาคนิพนธ์ตามหลักสูตรปริญญาวิทยาศาสตร์บัณฑิต ภาควิชาเคมี คณะวิทยาศาสตร์ มหาวิทยาลัยบูรพา 51 หน้า

Strickland, H.D.J., and Parsons, T.R. 1972. A Practical Handbook of Seawater Analysis Fisheries Research Board of Canada. 150 pp.

Tomotoshi OKAICHI, 1974. The Studies on the Cause of the Fish kill due to Red Tide organisms to Establish the Countermeasure to avoid the Damages. p. 61 - 72

Wall, D. 1975. Taxonomy and cysts of red-tide dinoflagellates. in. Toxic dinoflagellates blooms. Proc. Int. Conf. (1st). Mass. Sci. Technol. Found. p. 245 - 265

Anderson , D.M. 1978. Potential Importance of benthic cysts of *Gonyaulax tamarensis* and *G. excavata* in initiating toxic dinoflagellates bloom. J. Phycol. 14 (2) : 224-234.

Anderson, D.M.; D.G. Aubrey; M.A. Tyler and D.W. Coats. 1982 Vertical and Horizontal Distribution of Dinoflagellates cysts in Sediments. Limnol. Oceanogr. 27(4) 1982 : 757-765.

Anderson, D.M.1984. Shellfish Toxicity and Dormant Cysts in Toxic Dinoflagellates Blooms. in Seafood Toxins, Amer. Chem. Soc. Symposium Series No. 263. 1984 p. 125-138

Chuan , L.L and Isso Sugahara, 1984. A Manual on Chemical Analysis of Coastal Water and Bottom Sediment . Primary Production Department / Marine Fisheries Research Department : SEADFDEC Singapore p 35- 40

Kuzumi, Matsuoka and Yasuwo Fukuyo, 1986. Cysts and Motile morphology of a colonial dinoflagellate *Pheopolykrikos hatmannii* (Zimmerman) comb. nov. Journal of Plankton Research vol 8. no 4 pp. 811-818

Yasuwo Fukuyo, Katsumi Yoshida, Takekiko Ogata, Takashi Ishimaru, Masaaki Kodama, Pornsilp Pholpunthin, Suchana Wisessang, Vimol Phanichyakarn and Twesukdi Piyakarnchanna, 1989. Suspected Causative Dinoflagellates of

Paralytic Shellfish Poisoning in the Gulf of Thailand , Red Tides: Biology, Environmental Science and Toxicology, p. 403-406.

- Joo Suck Park. 1992. Red Tide Occurrent and Countermeasure in Korea 12 pp.
- Hak Gyoong Kin, 1993. The Distribution and Role of Benthic Cysts on the Dinoflagellate bloom in Chinhae Bay, p 99 - 120
- Maclean, J.L., 1993. Developing-country aquaculture and harmful algal blooms. In R.S.V. Pullin, H. Rosenthal and J.L. Maclean (eds) Environment and Aquaculture in developing countries. ICLARM Conf. Proc. 31, p. 252-284
- Fabienne Marret; 1994. Distribution of dinoflagellate cysts in recent marine sediments from the east Equatorial Atlantic (Gulf of Guinea). Review of Palaeobotany and Palynology pp 1-22
- Joon- Baek Lee and Kazumi Matsuoka, 1994. Distribution of Dinoflagellate Cysts from Surface Sediments in Souther Korean Waters. Proc. 2nd Int'l Symp. on Mar. Sci. Exploitation of Marine Resources pp. 1-20
- K. Matsuoka and Y. Fukuyo, 1994. Geographical Distribution of the Toxic Dinoflagellate *Gymnodinium catenatum* Graham in Japanese Coastal Waters. Botanica Marina vol 37, pp 495-503.
- ASEAN-Canada Cooperative Programme on Marine Science ,1995 . Location on HAB events in Asean Waters. (Map)
- A.N. Margasigan, J. Ingles and R. Babaran , 1995. Distribution of Resting Cystes of *Pyrodinium bahamense* var. *compressum* in Cancabata Bay, Leyte, Philippines. International Seminar on Marine Fisheries Environment 9-10 March Rayong, Thailand (EMDEC & JICA) 149-156
- Waewtaa Thongra-ar, Khwanruan Pinkaew, Chaluay Musika and Wanchai Wongsuda wan, 1996. A Base line Study on the Occurrence of Red Tide Plankton in the Coastal Waters from the Bangpakong River mouth to SriRacha, Chon Buri Province . Research report 72/1996. Institute of Marine Science Burapha University 40 pp.

LOCATION OF HAB EVENTS IN ASEAN WATERS

LEGEND

- Site of Harmful Algal Bloom - CONFIRMED
- ◆ Site of Harmful Algal Bloom - UNCONFIRMED
- Non-Toxic Causative Organism
- Toxic Causative Organism

1000 meter bathymetric depth
Site Number
Species Identification
Current in August
Current in February
Current direction indicated from Morgan & Valentine 1

SITE LOCATIONS

1	Nearby Bay - Zamboanga	28	Flora - SE Channel
2	Bucom, Marit Bay	29	Flora - East Channel
3	Coffe, Marit Bay	30	North Sambawa
4	Jing Lagoon, Sarawak	31	Kuta, Baff
5	Mabutu	32	Johor Bay
6	Gelang Waters	33	Lemahang
7	Makajaya Bay	34	Strait of Johor - East
8	Cafea Bay	35	Strait of Johor - West
9	Caribao Bay	36	Melaka
10	Cagay	37	Riau Arch
11	North Narao	38	Chinabahr
12	Cebu	39	Upper Gulf of Thailand - SE
13	Coron Island	40	Upper Gulf of Thailand - SW
14	Magat	41	Patchbari
15	Darunggala Bay	42	Tjung Pandang
16	Starkey Bay		
17	Kao Bay		
18	Bak		
19	Phu		
20	Ambon Bay		
21	Sedambo Bay		
22	Tukuk Abai Human Park		
23	Kota Kinabalu		
24	Iner Brunei Bay		
25	Outer Brunei Bay		
26	Brunei Bay - seaway		
27	Sebitik Island		
28			
29			
30			
31			
32			
33			
34			
35			
36			
37			
38			
39			
40			
41			
42			
43			
44			
45			
46			
47			
48			
49			
50			
51			
52			
53			
54			
55			
56			
57			
58			
59			
60			
61			
62			
63			
64			
65			
66			
67			
68			
69			
70			
71			
72			
73			
74			
75			
76			
77			
78			
79			
80			
81			
82			
83			
84			
85			
86			
87			
88			
89			
90			
91			
92			
93			
94			
95			
96			
97			
98			
99			
100			

SPECIES NAME AND D NUMBER

1. Pyrodinium bahamense var. compressa
2. Alexandrium tamarense
3. Gymnodinium breve
4. Heterocysts sp.
5. Chattonella sp.
6. Noctiluca scintillans
7. Trididemnum erythrogramma
8. Gymnodinium sp. Unconfirmed
9. Pseudo-nitzschia
10. *...*



SCALE in Km.
0 100 200

Prepared July 1995
by Graham C. Seeger
and Rhonda Corrada

INDOCHINA

MALAYA

SUMATERA

JAVA

BORENEO

SULAWESI

NEW GUINEA

รูปที่ ๒ แสดงวงรีของสาเหตุเกิดปรากฏการณ์น้ำมึนเฉียบพลัน (Harmful Agal Bloom) ๑

บริเวณภูมิภาคอาเซียน (ASEAN-Canada Cooperative Programme on

Marine Science : 1995)

ตารางที่ 1 แสดงคุณภาพน้ำทั่วไป บริเวณพื้นที่ศึกษา ข่ายผ่านวันออกของอ่าวไทยตอนบน : เดือน สิงหาคม พศ. 2538

date	st	locate	wat depth	depth	wat temp	sali	pH	DO	trans
Aug-95	1	BPRM1	6.0	1.0	29.3	16.5	8.4	4.6	2.5
Aug-95	1	BPRM1		3.0	29.4	19.6	8.4	4.6	
Aug-95	1	BPRM1		5.0	30.2	27.1	8.3	3.7	
Aug-95	2	BPRM2	3.8	1.0	29.7	14.1	8.6	5.1	1.5
Aug-95	2	BPRM2		3.0	30.2	25.6	8.4	3.2	
Aug-95	3	BPRM3	3.3	1.0	30.4	14.8	8.6	5.0	1.6
Aug-95	3	BPRM3		3.0	30.2	26.1	8.4	3.6	
Aug-95	4	BPRM4	2.1	1.0	30.6	16.9	8.6	5.0	0.5
Aug-95	4	BPRM4		2.0	29.8	22.4	8.4	4.5	
Aug-95	5	BPRM5	6.0	1.0	30.7	22.4	8.5	4.6	1.0
Aug-95	5	BPRM5		3.0	30.4	27.6	8.4	4.1	
Aug-95	5	BPRM5		5.0	30.4	30.7	8.3	3.4	
Aug-95	6	BSAN	7.0	1.0	30.8	23.0	8.6	4.9	3.0
Aug-95	6	BSAN		3.0	30.5	26.7	8.6	4.9	
Aug-95	6	BSAN		5.0	30.5	29.3	8.5	4.6	
Aug-95	6	BSAN		7.0	30.6	30.7	8.5	4.1	
Aug-95	7	BSAN2	3.0	1.0	30.8	23.6	8.7	5.3	1.8
Aug-95	7	BSAN2		3.0	31.1	24.0	8.8	5.4	
Aug-95	8	BPRA1	14.6	0.5	30.0	29.2	8.0	4.6	11.0
Aug-95	8	BPRA1		3.0	30.0	29.2	8.2	4.7	
Aug-95	8	BPRA1		5.0	29.9	29.2	8.3	4.8	
Aug-95	8	BPRA1		10.0	30.3	32.4	8.3	4.6	
Aug-95	8	BPRA1		14.0	30.2	32.8	8.3	4.2	
Aug-95	9	BPRA2	3.0	1.0	30.8	29.2	8.4	5.0	2.8
Aug-95	9	BPRA2		3.0	30.7	30.6	8.4	4.7	
Aug-95	10	SIRA1	8.0	1.0	30.3	29.9	8.2	4.7	6.0
Aug-95	10	SIRA1		3.0	30.3	30.0	8.4	4.8	
Aug-95	10	SIRA1		5.0	30.4	31.9	8.4	4.3	
Aug-95	10	SIRA1		8.0	30.3	32.5	8.4	4.0	
Aug-95	11	SIRA2	3.0	1.0		30.1	8.5	4.6	3.0
Aug-95	11	SIRA2		3.0	30.6	30.6	8.5	4.5	

(ตารางที่ 1 : ต่อ)

Aug-95	12	SCIE	12.4	1.0	30.6	30.1	8.6	5.2	6.0
Aug-95	12	SCIE		3.0	30.3	30.2	8.6	5.2	
Aug-95	12	SCIE		5.0	30.1	31.6	8.6	5.1	
Aug-95	12	SCIE		10.0	30.2	32.6	8.6	5.0	
Aug-95	12	SCIE		12.0	30.2	32.9	8.6	4.9	

มหาวิทยาลัยบูรพา
Burapha University

ตารางที่ 2 แสดงคุณภาพน้ำทั่วไป บริเวณที่ศึกษา ข้อมูลประจำวันของอ่าวไทยตอนบน : เดือน ตุลาคม พ.ศ. 2538

(wat depth = meter, wat temp = degree celcius, sali = ppt, DO = mg/l, trans = meter)

date	st	locate	wat depth	depth	wat temp	sali	pH	DO	trans
Oct-95	5	BPRM1	5.5	1.0	26.0	25.0	8.2	4.1	1.1
Oct-95	5	BPRM1		3.0	26.0	26.0	8.2	4.1	
Oct-95	5	BPRM1		5.0	27.0	26.0	8.2	4.2	
Oct-95	5	BPRM2	3.2	1.0	26.0	26.0	8.2	4.2	1.2
Oct-95	5	BPRM2		3.0	26.0	26.0	8.2	4.2	
Oct-95	5	BPRM3	3.0	1.0	26.0	31.0	8.2	4.3	1.4
Oct-95	5	BPRM3		3.0	26.0	31.0	8.2	4.3	
Oct-95	5	BPRM4	2.0	1.0	26.0	31.0	8.2	4.2	1.0
Oct-95	5	BPRM4		2.0	26.0	31.0	8.2	4.3	
Oct-95	5	BPRM5	5.5	1.0	26.0	32.0	8.3	4.4	1.5
Oct-95	5	BPRM5		3.0	26.0	32.0	8.3	4.4	
Oct-95	5	BPRM5		5.0	26.0	33.0	8.3	4.2	
Oct-95	6	BSAN	6.8	1.0	27.0	33.0	8.3	4.3	4.0
Oct-95	6	BSAN		3.0	27.0	33.0	8.3	4.3	
Oct-95	6	BSAN		5.0	27.0	33.0	8.4	4.3	
Oct-95	6	BSAN		6.0	27.0	33.0	8.4	4.3	
Oct-95	6	BSAN2	3.0	1.0	27.0	33.0	8.3	4.4	1.2
Oct-95	6	BSAN2		3.0	27.0	33.0	8.3	4.4	
Oct-95	7	BPRA	13.0	0.5	27.0	33.0	8.3	4.3	5.0
Oct-95	7	BPRA		3.0	27.0	33.0	8.3	4.3	
Oct-95	7	BPRA		5.0	27.0	33.0	8.3	4.3	
Oct-95	7	BPRA		10.0	27.0	33.0	8.4	4.3	
Oct-95	7	BPRA		13.0	27.0	33.0	8.4	4.3	
Oct-95	7	BPRA2	2.5	1.0	27.0	33.0	8.4	4.3	1.5
Oct-95	7	BPRA2		2.5	27.0	33.0	8.4	4.3	
Oct-95	8	SIRA	7.2	1.0	27.0	33.0	8.3	4.3	4.0
Oct-95	8	SIRA		3.0	27.0	33.0	8.3	4.3	
Oct-95	8	SIRA		5.0	27.0	33.0	8.4	4.3	
Oct-95	8	SIRA		7.0	27.0	33.0	8.4	4.3	

(ตารางที่ 2 : ต่อ)

Oct-95	8	SIRA2	2.5	1.0	27.0	33.0	8.3	4.3	1.5
Oct-95	8	SIRA2		2.5	27.0	33.0	8.3	4.3	
Oct-95	10	SCIE	11.0	1.0	27.0	33.0	8.4	4.3	7.0
Oct-95	10	SCIE		3.0	27.0	33.0	8.4	4.3	
Oct-95	10	SCIE		5.0	27.0	33.0	8.4	4.3	
Oct-95	10	SCIE		10.0	27.0	33.0	8.4	4.3	

ตารางที่ 3 แสดงคุณภาพน้ำทั่วไป บริเวณพื้นที่ศึกษา ข่ายผังประจำวันของอ่าวไทยตอนบน : เดือน มกราคม พศ. 2539

(wat depth = meter, wat temp = degree celcius, sali = ppt, DO = mg/l, trans = meter)

date	st	locate	wat depth	depth	wat temp	sali	pH	DO	trans
Jan-96	1	BPRM1	5.6	0.5	29.8	31.2	8.6	3.32	1.0
Jan-96	1	BPRM1		3.0	29.3	31.3	8.5	3.32	
Jan-96	1	BPRM1		5.0	29.2	31.4	8.5	3.32	
Jan-96	2	BPRM2	3.5	1.0	29.8	31.2	8.6	3.32	1.5
Jan-96	2	BPRM2		3.0	29.5	31.2	8.6	3.32	
Jan-96	3	BPRM3	3.2	1.0	29.8	31.2	8.6	3.32	1.5
Jan-96	3	BPRM3		3.0	29.8	31.2	8.6	3.32	
Jan-96	4	BPRM4	2.2	1.0	29.8	32.6	8.5	3.31	1.5
Jan-96	4	BPRM4		2.0	29.8	32.6	8.5	3.31	
Jan-96	5	BPRM5	5.8	1.0	29.8	32.6	8.5	3.31	3.0
Jan-96	5	BPRM5		5.0	29.4	32.6	8.5	3.31	
Jan-96	6	BSAN1	7	0.5	29.8	32.6	8.5	3.31	5.0
Jan-96	6	BSAN1		3.0	29.8	32.7	8.5	3.31	
Jan-96	6	BSAN1		5.0	29.4	32.5	8.5	3.32	
Jan-96	6	BSAN1		7.0	29.4	33.0	8.5	3.20	
Jan-96	7	BSAN2	3.4	1.0	29.4	32.6	8.5	3.80	3.0
Jan-96	7	BSAN2		3.0	29.4	32.6	8.5	3.80	
Jan-96	8	BPRA1	15	0.5	29.8	33.1	8.4	3.28	6.5
Jan-96	8	BPRA1		3.0	29.8	33.1	8.3	3.24	
Jan-96	8	BPRA1		5.0	29.4	33.1	8.3	3.24	
Jan-96	8	BPRA1		10.0	29.4	33.1	8.3	3.25	
Jan-96	8	BPRA1		15.0	29.3	33.2	8.3	3.23	
Jan-96	9	BPRA2	2.5	1.0	29.8	33.1	8.4	3.28	2.5
Jan-96	9	BPRA2		2.0	29.8	33.1	8.3	3.24	
Jan-96	10	SIRA1	8	0.5	29.8	33.2	8.6	3.65	3.5
Jan-96	10	SIRA1		3.0	29.8	33.3	8.6	3.65	
Jan-96	10	SIRA1		5.0	29.8	33.2	8.6	3.65	
Jan-96	10	SIRA1		8.0	29.5	33.2	8.6	3.66	
Jan-96	11	SIRA2	2.8	1.0	29.8	33.2	8.6	3.65	2.8
Jan-96	11	SIRA2		2.0	29.8	33.3	8.6	3.65	

(ตารางที่ 3 : ต่อ)

Jan-96	12	SCIE	12.6	1.0	25.6	32.5	8.5	4.64	6.5
Jan-96	12	SCIE		2.0	25.6	32.4	8.5	4.61	
Jan-96	12	SCIE		3.0	25.6	32.4	8.5	4.55	
Jan-96	12	SCIE		4.0	25.6	32.5	8.5	4.52	
Jan-96	12	SCIE		5.0	25.6	32.5	8.5	4.52	
Jan-96	12	SCIE		10.0	25.6	32.5	8.5	4.52	
Jan-96	12	SCIE		12.0	25.6	32.5	8.5	4.47	

ตารางที่ 4 แสดงคุณภาพน้ำทั่วไป บริเวณที่ศึกษา ข่ายผิ้งตะวันออกของอ่าวไทยตอนบน : เดือน มีนาคม พศ. 2539

(wat depth = meter, wat temp = degree celcius, sali = ppt, DO = mg/l, trans = meter)

date	st	locate	wat depth	depth	wat temp	sali	pH	DO	trans
Mar-96	1	BPRM1	5.3	1.0	30.2	23.5	8.4	7.90	1.5
Mar-96	1	BPRM1		2.0	30.2	23.4	8.4	7.90	
Mar-96	1	BPRM1		3.0	30.2	23.4	8.4	7.90	
Mar-96	1	BPRM1		4.0	30.2	23.5	8.3	7.79	
Mar-96	1	BPRM1		5.0	30.2	23.9	8.3	6.92	
Mar-96	2	BPRM2	6	1.0	30.3	22.6	8.4	6.53	3.5
Mar-96	2	BPRM2		2.0	30.3	22.6	8.4	7.04	
Mar-96	2	BPRM2		3.0	30.3	23.3	8.4	6.51	
Mar-96	2	BPRM2		4.0	30.1	24.0	8.3	6.43	
Mar-96	2	BPRM2		5.0	29.9	24.5	8.3	6.25	
Mar-96	2	BPRM2		6.0	29.5	25.4	8.3	1.91	
Mar-96	3	BPRM3	4.6	1.0	30.3	22.3	8.4	7.75	2.5
Mar-96	3	BPRM3		2.0	30.3	22.9	8.4	6.67	
Mar-96	3	BPRM3		3.0	30.2	22.7	8.4	6.68	
Mar-96	3	BPRM3		4.0	30.2	23.0	8.3	6.35	
Mar-96	4	BPRM4	6.2	1.0	30.4	24.5	8.4	5.47	1.0
Mar-96	4	BPRM4		2.0	30.5	24.6	8.4	5.12	
Mar-96	4	BPRM4		3.0	30.3	24.6	8.4	4.88	
Mar-96	4	BPRM4		4.0	30.3	24.6	8.4	4.80	
Mar-96	4	BPRM4		5.0	30.3	24.6	8.3	4.20	
Mar-96	4	BPRM4		6.0	30.2	24.7	8.3	4.22	
Mar-96	5	BPRM5	4.2	1.0	30.8	25.0	8.4	7.39	1.0
Mar-96	5	BPRM5		2.0	30.7	25.0	8.4	7.59	
Mar-96	5	BPRM5		3.0	30.6	25.1	8.3	7.44	
Mar-96	5	BPRM5		4.0	30.4	25.1	8.3	7.50	
Mar-96	6	BSAN1	7.2	1.0	30.3	24.0	8.4	7.60	3.5
Mar-96	6	BSAN1		2.0	30.3	24.0	8.4	7.85	
Mar-96	6	BSAN1		3.0	30.3	24.1	8.4	7.83	
Mar-96	6	BSAN1		4.0	30.3	24.0	8.4	7.72	
Mar-96	6	BSAN1		5.0	30.1	24.1	8.3	7.78	
Mar-96	6	BSAN1		7.0	29.5	24.1	8.3	7.45	

(ตารางที่ 4 : ต่อ)

Mar-96	7	BSAN2	4.6	1.0	30.8	23.7	8.4	7.43	3.5
Mar-96	7	BSAN2		2.0	30.8	23.8	8.4	7.58	
Mar-96	7	BSAN2		3.0	30.8	23.8	8.4	8.00	
Mar-96	7	BSAN2		4.0	30.8	23.8	8.3	8.15	
Mar-96	8	BPRA1	14.4	1.0	30.0	23.3	8.4	7.55	6.0
Mar-96	8	BPRA1		2.0	30.1	23.4	8.4	7.39	
Mar-96	8	BPRA1		3.0	29.9	23.6	8.4	6.90	
Mar-96	8	BPRA1		4.0	29.7	23.4	8.3	6.70	
Mar-96	8	BPRA1		5.0	29.5	23.3	8.3	6.62	
Mar-96	8	BPRA1		10.0	29.4	23.5	8.3	6.44	
Mar-96	8	BPRA1		14.0	29.4	23.5	8.3	6.08	
Mar-96	9	BPRA2	2.5	1.0	31.0	23.4	8.4	6.96	2.0
Mar-96	9	BPRA2		2.0	30.9	23.4	8.4	7.63	
Mar-96	9	BPRA2		2.5	30.7	23.4	8.4	7.17	
Mar-96	10	SIRA1	8	1.0	29.9	23.1	8.4	7.16	3.0
Mar-96	10	SIRA1		2.0	29.8	23.2	8.4	6.93	
Mar-96	10	SIRA1		3.0	29.7	23.2	8.4	7.00	
Mar-96	10	SIRA1		4.0	29.6	23.2	8.3	6.66	
Mar-96	10	SIRA1		5.0	29.6	23.3	8.3	6.65	
Mar-96	10	SIRA1		8.0	29.5	23.3	8.3	6.70	
Mar-96	11	SIRA2	2.9	1.0	30.6	23.4	8.4	7.75	2.0
Mar-96	11	SIRA2		2.0	30.6	23.4	8.4	6.58	
Mar-96	11	SIRA2		2.5	30.5	23.4	8.4	6.50	
Mar-96	12	SCIE	12.2	1.0	28.8	31.0	8.5	5.53	3.5
Mar-96	12	SCIE		2.0	28.8	31.0	8.5	5.60	
Mar-96	12	SCIE		3.0	28.8	31.0	8.5	5.66	
Mar-96	12	SCIE		4.0	28.8	31.0	8.4	5.64	
Mar-96	12	SCIE		5.0	28.8	31.1	8.4	5.68	
Mar-96	12	SCIE		10.0	28.8	31.1	8.4	5.68	
Mar-96	12	SCIE		12.0	28.8	31.2	8.4	5.68	

ตารางที่ 5 แสดงคุณภาพน้ำทั่วไป บริเวณที่เก็บ ขายผู้ตรวจสอบของอ่าวไทยตอนบน : เดือนมิถุนายน พศ. 2539

(wat depth = meter, wat temp = degree celcius, sali = ppt, DO = mg/l, trans = meter)

date	st	locate	wat depth	depth	wat temp	sali	pH	DO	trans
Jun-96	1	BPRM1	5.2	1.0	30.0	26.0	8.4	5.20	1.6
Jun-96	1	BPRM1		2.0	30.0	26.0	8.4	4.10	
Jun-96	1	BPRM1		3.0	30.0	26.0	8.4	4.10	
Jun-96	1	BPRM1		4.0	29.0	26.0	8.4	4.00	
Jun-96	1	BPRM1		5.0	29.0	26.0	8.3	4.00	
Jun-96	2	BPRM2	3.2	1.0	29.0	26.0	8.5	5.10	3.2
Jun-96	2	BPRM2		2.0	29.0	26.0	8.5	4.00	
Jun-96	3	BPRM3	3.1	1.0	30.0	26.0	8.5	5.20	2.0
Jun-96	3	BPRM3		2.0	30.0	27.0	8.5	4.10	
Jun-96	4	BPRM4	2.7	1.0	30.0	26.0	8.5	5.20	1.0
Jun-96	4	BPRM4		2.0	30.0	26.0	8.5	4.10	
Jun-96	5	BPRM5	5.2	1.0	30.0	28.0	8.5	5.20	2.5
Jun-96	5	BPRM5		2.0	30.0	28.0	8.5	4.80	
Jun-96	5	BPRM5		3.0	30.0	28.0	8.4	4.10	
Jun-96	5	BPRM5		4.0	29.0	29.0	8.4	4.00	
Jun-96	5	BPRM5		5.0	29.0	29.0	8.4	4.00	
Jun-96	6	BSAN1	7.5	1.0	30.2	28.0	8.5	5.60	4.0
Jun-96	6	BSAN1		2.0	30.2	28.0	8.5	5.50	
Jun-96	6	BSAN1		3.0	30.1	29.0	8.5	4.50	
Jun-96	6	BSAN1		4.0	30.1	29.0	8.4	4.10	
Jun-96	6	BSAN1		5.0	30.1	29.0	8.4	4.00	
Jun-96	6	BSAN1		7.0	30.0	30.0	8.4	4.00	
Jun-96	7	BSAN2	4.5	1.0	30.2	28.0	8.5	5.45	4.0
Jun-96	7	BSAN2		2.0	30.2	28.0	8.5	5.10	
Jun-96	7	BSAN2		3.0	30.1	29.0	8.4	4.00	
Jun-96	7	BSAN2		4.0	30.0	29.0	8.4	4.00	

(ตารางที่ 5 : ต่อ)

Jun-96	8	BPRA1	15	1.0	30.2	28.0	8.5	5.55	6.0
Jun-96	8	BPRA1		2.0	30.2	28.0	8.5	5.30	
Jun-96	8	BPRA1		3.0	30.2	29.0	8.5	4.50	
Jun-96	7	BPRA1		4.0	30.1	29.0	8.5	4.50	
Jun-96	8	BPRA1		5.0	30.1	29.0	8.4	4.20	
Jun-96	8	BPRA1		10.0	30.0	29.0	8.4	4.20	
Jun-96	8	BPRA1		14.0	30.0	29.0	8.4	4.20	
Jun-96	9	BPRA2	3	1.0	30.2	29.0	8.5	5.55	2.0
Jun-96	9	BPRA2		2.0	30.2	29.0	8.5	5.55	
Jun-96	10	SIRA1	8.5	1.0	30.2	29.0	8.5	5.40	3.5
Jun-96	10	SIRA1		2.0	30.2	29.0	8.5	4.80	
Jun-96	10	SIRA1		3.0	30.2	29.0	8.5	4.20	
Jun-96	10	SIRA1		4.0	30.2	29.0	8.5	4.10	
Jun-96	10	SIRA1		5.0	30.1	30.0	8.4	4.00	
Jun-96	10	SIRA1		8.0	30.1	30.0	8.4	4.00	
Jun-96	11	SIRA2	3.5	1.0	30.2	29.0	8.5	5.10	1.5
Jun-96	11	SIRA2		2.0	30.2	29.0	8.5	4.10	
Jun-96	12	SCIE	13	1.0	30.2	30.0	8.5	5.40	5.0
Jun-96	12	SCIE		2.0	30.2	30.0	8.5	5.40	
Jun-96	12	SCIE		3.0	30.2	30.5	8.5	5.10	
Jun-96	12	SCIE		4.0	30.2	30.5	8.5	5.00	
Jun-96	12	SCIE		5.0	30.1	31.0	8.4	5.00	
Jun-96	12	SCIE		10.0	30.0	31.0	8.3	4.80	
Jun-96	12	SCIE		11.0	30.0	31.0	8.3	4.80	

ตารางที่ 6 แสดงคุณภาพน้ำทั่วไป บริเวณที่ศึกษา ขายฝั่งตะวันออกของอ่าวไทยตอนบน เดือนสิงหาคม พ.ศ. 2539
 (wat depth = meter, wat temp = degree celcius, sali = ppt, DO = mg/l, trans = meter)

date	st	locate	wat depth	depth	wat temp	sali	pH	DO	trans
Aug-96	1	BPRM1	5.3	1.0	30.2	23.5	8.4	7.90	1.5
Aug-96	1	BPRM1		2.0	30.2	23.4	8.4	7.90	
Aug-96	1	BPRM1		3.0	30.2	23.4	8.4	7.90	
Aug-96	1	BPRM1		4.0	30.2	23.5	8.4	7.79	
Aug-96	1	BPRM1		5.0	30.2	23.9	8.3	6.92	
Aug-96	2	BPRM2	3.0	1.0	30.3	22.6	8.5	6.53	3.5
Aug-96	2	BPRM2		3.0	30.3	23.3	8.5	6.51	
Aug-96	3	BPRM3	3.4	1.0	30.3	22.3	8.5	7.75	2.5
Aug-96	3	BPRM3		2.0	30.3	22.9	8.5	6.67	
Aug-96	3	BPRM3		3.0	30.2	22.7	8.4	6.68	
Aug-96	4	BPRM4	2.5	1.0	30.4	24.5	8.5	5.47	1.0
Aug-96	4	BPRM4		2.0	30.5	24.6	8.5	5.12	
Aug-96	5	BPRM5	5.0	1.0	30.8	25.0	8.5	7.39	1.0
Aug-96	5	BPRM5		2.0	30.7	25.0	8.5	7.59	
Aug-96	5	BPRM5		3.0	30.6	25.1	8.4	7.44	
Aug-96	5	BPRM5		4.0	30.4	25.1	8.4	7.50	
Aug-96	5	BPRM5		5.0	30.4	25.1	8.4	7.50	
Aug-96	6	BSAN1	7.2	1.0	30.3	24.0	8.5	7.60	3.5
Aug-96	6	BSAN1		2.0	30.3	24.0	8.5	7.85	
Aug-96	6	BSAN1		3.0	30.3	24.1	8.5	7.83	
Aug-96	6	BSAN1		4.0	30.3	24.0	8.4	7.72	
Aug-96	6	BSAN1		5.0	30.1	24.1	8.4	7.78	
Aug-96	6	BSAN1		7.0	29.5	24.1	8.4	7.45	
Aug-96	7	BSAN2	4.1	1.0	30.8	23.7	8.5	7.43	3.5
Aug-96	7	BSAN2		2.0	30.8	23.8	8.5	7.58	
Aug-96	7	BSAN2		3.0	30.8	23.8	8.4	8.00	
Aug-96	7	BSAN2		4.0	30.8	23.8	8.4	8.15	

(ตารางที่ ๖ : ต่อ)

Aug-96	8	BPRA1	14.4	1.0	30.0	23.3	8.5	7.55	6.0
Aug-96	8	BPRA1		2.0	30.1	23.4	8.5	7.39	
Aug-96	8	BPRA1		3.0	29.9	23.6	8.5	6.90	
Aug-96	7	BPRA1		4.0	29.7	23.4	8.5	6.70	
Aug-96	8	BPRA1		5.0	29.5	23.3	8.4	6.62	
Aug-96	8	BPRA1		10.0	29.4	23.5	8.4	6.44	
Aug-96	8	BPRA1		14.0	29.4	23.5	8.4	6.08	
Aug-96	9	BPRA2	2.5	1.0	31.0	23.4	8.5	6.96	2.0
Aug-96	9	BPRA2		2.0	30.9	23.4	8.5	7.63	
Aug-96	9	BPRA2		2.5	30.7	23.4	8.4	7.17	
Aug-96	10	SIRA1	8.0	1.0	29.9	23.1	8.5	7.16	3.0
Aug-96	10	SIRA1		2.0	29.8	23.2	8.5	6.93	
Aug-96	10	SIRA1		3.0	29.7	23.2	8.5	7.00	
Aug-96	10	SIRA1		4.0	29.6	23.2	8.5	6.66	
Aug-96	10	SIRA1		5.0	29.6	23.3	8.4	6.65	
Aug-96	10	SIRA1		8.0	29.5	23.3	8.4	6.70	
Aug-96	11	SIRA2	2.9	1.0	30.6	23.4	8.5	7.75	2.0
Aug-96	11	SIRA2		2.0	30.6	23.4	8.5	6.58	
Aug-96	11	SIRA2		2.5	30.5	23.4	8.5	6.50	
Aug-96	12	SCIE	11.6	1.0	29.2	26.5	8.5	5.53	3.5
Aug-96	12	SCIE		2.0	29.3	26.9	8.5	5.60	
Aug-96	12	SCIE		3.0	29.3	27.4	8.5	5.66	
Aug-96	12	SCIE		4.0	29.3	27.3	8.5	5.64	
Aug-96	12	SCIE		5.0	29.2	27.8	8.4	5.68	
Aug-96	12	SCIE		10.0	29.3	30.8	8.3	5.68	
Aug-96	12	SCIE		11.0	29.3	30.8	8.3	5.68	

ตารางที่ 7 แสดงปริมาณธาตุอุ่นห้ามริเวณที่ศึกษาช่วงฝั่งทะเลตะวันออกของอ่าวไทยตอนบน
เดือนสิงหาคม พ.ศ. 2538

date	st	station	level	NO2-N	NO3-N	SiO2-Si	PO4-P
Aug-95	1	BPRM1	sur	0.083	1.087	15.240	0.045
Aug-95	1	BPRM1	bot	0.040	1.462	17.480	0.067
Aug-95	2	BPRM2	sur	0.013	3.248	46.700	0.197
Aug-95	2	BPRM2	bot	0.079	2.883	48.320	0.198
Aug-95	3	BPRM3	sur	0.188	1.490	21.930	0.089
Aug-95	3	BPRM3	bot	0.163	2.588	17.230	0.088
Aug-95	4	BRPM4	sur	0.176	1.252	19.690	0.053
Aug-95	4	BRPM4	bot	0.309	1.742	11.830	0.031
Aug-95	5	BPRM5	sur	0.071	0.798	14.710	0.031
Aug-95	5	BPRM5	bot	0.113	1.235	6.541	0.055
Aug-95	6	BSAN1	sur	<0.01	0.720	8.585	0.041
Aug-95	6	BSAN1	bot	0.129	0.908	5.096	0.021
Aug-95	7	BSAN2	sur	<0.01	0.450	7.503	0.042
Aug-95	7	BSAN2	bot	0.104	1.170	7.262	0.031
Aug-95	8	BPRA1	sur	<0.01	0.533	1.686	0.030
Aug-95	8	BPRA1	mid	0.071	0.377	1.281	0.030
Aug-95	8	BPRA1	bot	0.024	0.487	1.129	0.025
Aug-95	9	BPRA2	sur	0.029	0.777	5.199	0.023
Aug-95	9	BPRA2	bot	<0.01	0.793	2.571	0.023
Aug-95	10	SIRA1	sur	<0.01	0.093	3.173	0.020
Aug-95	10	SIRA1	bot	<0.01	0.899	8.464	0.056
Aug-95	11	SIRA2	sur	0.029	0.189	3.894	0.025
Aug-95	11	SIRA2	bot	0.029	0.589	1.249	0.021
Aug-95	12	SCIE	sur	0.037	0.360	7.382	0.046
Aug-95	12	SCIE	mid	0.037	0.261	1.072	0.015
Aug-95	12	SCIE	bot	0.011	0.842	1.673	0.015

ตารางที่ 8 แสดงปริมาณรากดูดทางการบริเวณที่ศึกษาซึ่งแบ่งตามระดับวันออกของอ่าวไทยตอนบน
: เดือนตุลาคม พศ. 2538

date	st	station	level	NO2-N	NO3-N	SiO2-Si	PO4-P
Oct-95	1	BPRM1	sur	0.117	0.117	0.180	9.012
Oct-95	2	BPRM1	bot	0.243	0.243	0.514	8.565
Oct-95	2	BPRM2	sur	0.210	1.310	13.900	0.190
Oct-95	3	BPRM2	bot	0.420	1.020	3.900	0.090
Oct-95	3	BPRM3	sur	0.064	0.984	3.95	0.06
Oct-95	4	BPRM3	bot	0.026	0.528	2.170	0.060
Oct-95	4	BPRM4	sur	0.220	0.958	25.070	0.066
Oct-95	5	BPRM4	bot	0.220	0.880	10.240	0.066
Oct-95	5	BPRM5	sur	0.230	0.890	23.290	0.825
Oct-95	6	BPRM5	bot	0.220	1.676	25.690	0.503
Oct-95	6	BSAN1	sur	<0.015	<0.015	0.231	2.612
Oct-95	7	BSAN1	bot	<0.015	<0.015	0.668	2.184
Oct-95	7	BSAN2	sur	0.080	0.523	22.610	0.410
Oct-95	8	BSAN2	bot	0.080	0.463	22.450	0.590
Oct-95	8	BPRA1	sur	<0.015	0.186	0.411	14.812
Oct-95	8	BPRA1	mid	<0.015	0.254	0.360	4.461
Oct-95	9	BPRA1	bot	<0.015	0.254	0.360	4.461
Oct-95	9	BPRA2	sur	0.186	0.072	0.042	21.950
Oct-95	10	BPRA2	bot	0.254	0.072	0.033	4.461
Oct-95	10	SIRA1	sur	0.300	0.072	0.042	3.658
Oct-95	11	SIRA1	bot	0.300	0.072	0.042	5.888
Oct-95	11	SIRA2	sur	0.250	0.720	0.042	8.119
Oct-95	12	SIRA2	bot	0.51	0.88	2.57	0.457
Oct-95	12	SCIE	sur	0.720	0.140	1.760	0.536
Oct-95	12	SCIE	mid	0.117	0.072	0.081	0.090
Oct-95	12	SCIE	bot	0.140	0.117	0.094	0.170

ตารางที่ 9 ผลคุณภาพทางการบริเวณที่ศึกษาของพื้นที่เดียวต่อวันออกอากาศประจำปี

เดือนมกราคม พศ. 2540

date	st	station	level	NO2-N	NO3-N	SiO2-Si	PO4-P
Jan-96	1	BPRM1	sur	0.297	0.336	0.175	0.037
Jan-96	1	BPRM1	bot	1.210	0.536	4.274	0.092
Jan-96	2	BPRM2	sur	2.122	1.320	13.895	0.119
Jan-96	2	BPRM2	bot	1.420	1.028	3.192	0.050
Jan-96	3	BPRM3	sur	0.648	0.518	2.951	0.037
Jan-96	3	BPRM3	bot	0.227	0.331	1.147	0.037
Jan-96	4	BPRM4	sur	0.227	0.518	15.097	0.037
Jan-96	4	BPRM4	bot	0.367	0.500	9.205	0.055
Jan-96	5	BPRM5	sur	0.578	<0.01	13.294	0.082
Jan-96	5	BPRM5	bot	0.227	0.676	15.699	0.050
Jan-96	6	BSAN1	sur	0.437	0.289	2.230	0.046
Jan-96	6	BSAN1	bot	0.086	0.254	10.287	0.055
Jan-96	7	BSAN2	sur	0.227	0.325	11.610	0.041
Jan-96	7	BSAN2	bot	0.086	0.263	12.452	0.060
Jan-96	8	BPRA1	sur	0.437	0.958	0.052	0.037
Jan-96	8	BPRA1	mid	<0.01	0.555	1.388	0.037
Jan-96	8	BPRA1	bot	<0.01	0.327	6.920	0.041
Jan-96	9	BPRA2	sur	0.156	0.555	0.907	0.027
Jan-96	9	BPRA2	bot	0.999	1.028	0.296	0.037
Jan-96	10	SIRA1	sur	0.086	0.289	<0.01	0.046
Jan-96	10	SIRA1	bot	0.718	0.482	<0.01	0.037
Jan-96	11	SIRA2	sur	0.507	0.883	2.470	0.046
Jan-96	11	SIRA2	bot	0.578	0.958	<0.01	0.046
Jan-96	12	SCIE	sur	<0.01	0.500	1.869	0.024
Jan-96	12	SCIE	mid	<0.01	0.664	2.350	0.027
Jan-96	12	SCIE	bot	<0.01	0.747	2.109	0.046

ตารางที่ 10 แสดงปริมาณรากอุ่นห้ามบริเวณที่ศึกษาขั้ฟ์ทางเดียววันออกของอ่าวไทยตอนบน

เดือนมีนาคม พศ. 2540

date	st	station	level	NO2-N	NO3-N	SiO2-Si	PO4-P
Mar-96	1	BPRM1	sur	0.437	0.154	18.585	0.110
Mar-96	1	BPRM1	bot	0.999	0.500	28.206	0.124
Mar-96	2	BPRM2	sur	0.297	0.482	20.509	0.161
Mar-96	2	BPRM2	bot	0.578	0.430	26.041	0.179
Mar-96	3	BPRM3	sur	1.139	0.482	12.211	0.161
Mar-96	3	BPRM3	bot	1.210	1.450	18.344	0.174
Mar-96	4	BPRM4	sur	2.894	1.101	30.370	0.083
Mar-96	4	BPRM4	bot	0.648	0.923	38.067	0.092
Mar-96	5	BPRM5	sur	1.701	1.429	42.276	0.106
Mar-96	5	BPRM5	bot	1.701	1.274	44.922	0.110
Mar-96	6	BSAN1	sur	0.156	0.118	55.625	0.037
Mar-96	6	BSAN1	bot	0.718	0.254	22.072	0.050
Mar-96	7	BSAN2	sur	0.578	0.300	40.713	0.055
Mar-96	7	BSAN2	bot	0.156	0.149	46.726	0.060
Mar-96	8	BPRA1	sur	0.367	0.336	38.067	0.138
Mar-96	8	BPRA1	mid	0.227	0.360	1.268	0.041
Mar-96	8	BPRA1	bot	0.367	0.409	11.971	0.725
Mar-96	9	BPRA2	sur	0.297	0.409	40.352	0.072
Mar-96	9	BPRA2	bot	0.227	0.289	36.383	0.083
Mar-96	10	SIRA1	sur	0.367	0.184	28.206	0.151
Mar-96	10	SIRA1	bot	0.578	0.154	29.048	0.161
Mar-96	11	SIRA2	sur	0.227	0.154	30.370	0.073
Mar-96	11	SIRA2	bot	0.437	0.219	29.168	0.064
Mar-96	12	SCIE	sur	0.156	0.993	28.446	0.050
Mar-96	12	SCIE	mid	0.086	0.737	26.522	0.055
Mar-96	12	SCIE	bot	0.227	0.782	16.901	0.050

ตารางที่ 11 แสดงปริมาณรากอุ่นห้ามบริเวณที่กีழขายสั่งทะเลขะวันออกของอ่าวไทยตอนบน
: เดือนมิถุนายน พ.ศ. 2540

date	st	station	level	NO2-N	NO3-N	SiO2-Si	PO4-P
Jun-96	1	BPRM1	sur	2.327	4.553	63.720	0.399
Jun-96	1	BPRM1	bot	2.747	4.062	34.727	0.348
Jun-96	2	BPRM2	sur	1.907	7.354	65.236	0.605
Jun-96	2	BPRM2	bot	2.467	6.584	53.996	3.175
Jun-96	3	BPRM3	sur	1.907	13.448	37.225	0.622
Jun-96	3	BPRM3	bot	2.117	7.634	34.103	0.570
Jun-96	4	BPRM4	sur	0.751	0.788	45.611	0.468
Jun-96	4	BPRM4	bot	2.261	4.810	19.919	0.279
Jun-96	5	BPRM5	sur	2.568	7.456	35.173	0.690
Jun-96	5	BPRM5	bot	5.631	6.755	44.897	0.690
Jun-96	6	BSAN1	sur	1.980	4.432	35.084	0.399
Jun-96	6	BSAN1	bot	1.890	2.818	32.943	0.399
Jun-96	7	BSAN2	sur	1.837	3.740	37.055	0.313
Jun-96	7	BSAN2	bot	1.770	4.406	34.192	0.382
Jun-96	8	BPRA1	sur	1.207	2.323	17.956	0.348
Jun-96	8	BPRA1	mid	1.207	2.323	13.674	0.228
Jun-96	8	BPRA1	bot	0.087	1.901	19.740	1.582
Jun-96	9	BPRA2	sur	1.207	4.230	16.880	0.022
Jun-96	9	BPRA2	bot	0.856	4.865	20.454	0.211
Jun-96	10	SIRA1	sur	0.265	1.184	28.206	0.189
Jun-96	10	SIRA1	bot	0.456	2.155	29.000	0.189
Jun-96	11	SIRA2	sur	0.217	1.145	39.340	0.087
Jun-96	11	SIRA2	bot	0.346	2.191	29.070	0.064
Jun-96	12	SCIE	sur	0.057	0.875	36.540	0.067
Jun-96	12	SCIE	mid	0.077	0.712	26.110	0.078
Jun-96	12	SCIE	bot	0.088	0.667	25.210	0.065

ตารางที่ 12 แสดงปริมาณชาตุ่นทางการบริเวณที่ศึกษาขั้นผิวและลึกวันออกของอ่าวไทยตอนบน
: เดือนสิงหาคม พศ. 2540

date	st	station	level	NO2-N	NO3-N	SiO2-Si	PO4-P
Aug-96	1	BPRM1	sur	0.831	10.974	16.420	0.035
Aug-96	1	BPRM1	bot	4.424	14.627	27.484	0.078
Aug-96	2	BPRM2	sur	13.594	32.426	77.752	0.187
Aug-96	2	BPRM2	bot	7.973	28.834	78.233	0.213
Aug-96	3	BPRM3	sur	1.888	14.908	31.933	0.078
Aug-96	3	BPRM3	bot	1.634	25.880	27.243	0.061
Aug-96	4	BRPM4	sur	1.761	12.516	29.691	0.048
Aug-96	4	BRPM4	bot	3.029	17.426	21.832	0.028
Aug-96	5	BPRM5	sur	0.705	7.989	24.718	0.025
Aug-96	5	BPRM5	bot	1.127	12.355	16.541	0.045
Aug-96	6	BSANI	sur	<0.01	7.199	18.585	0.031
Aug-96	6	BSANI	bot	1.296	9.077	15.095	0.018
Aug-96	7	BSAN2	sur	<0.01	4.502	17.503	0.031
Aug-96	7	BSAN2	bot	1.043	11.749	17.262	0.021
Aug-96	8	BPRA1	sur	<0.01	5.332	9.686	0.035
Aug-96	8	BPRA1	mid	0.071	3.772	7.281	0.025
Aug-96	8	BPRA1	bot	0.239	4.857	11.129	0.015
Aug-96	9	BPRA2	sur	0.029	7.774	25.199	0.018
Aug-96	9	BPRA2	bot	<0.01	7.936	12.572	0.018
Aug-96	10	SIRA1	sur	<0.01	0.924	13.173	0.021
Aug-96	10	SIRA1	bot	<0.01	8.995	18.464	0.051
Aug-96	11	SIRA2	sur	0.029	1.894	13.894	0.028
Aug-96	11	SIRA2	bot	0.029	5.834	11.249	0.015
Aug-96	12	SCIE	sur	0.367	3.006	17.382	0.058
Aug-96	12	SCIE	mid	0.367	2.616	3.072	0.005
Aug-96	12	SCIE	bot	0.113	8.420	3.673	0.008

ตารางที่ 13 แสดงปริมาณคลอรอฟิลล์ a บี และ ซี (mg/cu.m) บริเวณที่ศึกษาขึ้นทั้งหมดวันอุตสาหกรรม
ของอ่าวไทยตอนบน : เดือนสิงหาคม พศ. 2538

date	site	st	level	chl a	chl b	chl c
Aug-95	BPRM1	1	sur	0.292	0.155	0.051
Aug-95	BPRM1	1	bot	0.295	0.132	0.001
Aug-95	BPRM2	2	sur	0.397	0.001	0.040
Aug-95	BPRM2	2	bot	0.606	0.228	0.033
Aug-95	BPRM3	3	sur	0.294	0.130	0.029
Aug-95	BPRM3	3	bot	0.071	0.074	0.001
Aug-95	BPRM4	4	sur	0.956	0.309	0.157
Aug-95	BPRM4	4	bot	0.428	0.145	0.137
Aug-95	BPRM5	5	sur	0.234	0.001	0.153
Aug-95	BPRM5	5	bot	0.109	0.002	0.045
Aug-95	BSANI	6	sur	0.426	0.179	0.078
Aug-95	BSAN1	6	mid	0.245	0.001	0.002
Aug-95	BSAN1	6	bot	0.245	0.001	0.002
Aug-95	BSAN2	7	sur	0.374	0.082	0.006
Aug-95	BSAN2	7	bot	0.015	0.007	0.002
Aug-95	BPRA1	8	sur	0.171	0.039	0.087
Aug-95	BPRA1	8	mid	0.096	0.034	0.001
Aug-95	BPRA1	8	bot	0.145	0.078	0.080
Aug-95	BPRA2	9	sur	0.795	0.206	0.248
Aug-95	BPRA2	9	bot	0.745	0.083	0.170
Aug-95	SIRA1	10	sur	0.209	0.144	0.035
Aug-95	SIRA1	10	bot	0.241	0.021	0.072
Aug-95	SIRA2	11	sur	0.254	0.055	0.055
Aug-95	SIRA2	11	bot	0.072	0.002	0.001
Aug-95	SCIE	12	sur	0.283	0.069	0.040
Aug-95	SCIE	12	bot	0.036	0.022	0.002

ตารางที่ 14 แสดงปริมาณคลอร์ฟิลล์ เอ บี และ ซี (mg/cu.m) บริเวณที่ศึกษาอย่างต่อวันของ
ของอ่าวไทยตอนบน : เดือนคุณาคม พศ. 2538

date	st	locate	level	chl a	chl b	chl c
Oct-95	1	BPRM1	sur	0.061	0.035	0.047
Oct-95	1	BPRM1	bot	0.144	0.163	0.159
Oct-95	2	BPRM2	sur	0.227	0.290	0.271
Oct-95	2	BPRM2	bot	0.110	0.218	0.382
Oct-95	3	BPRM3	sur	0.210	0.118	0.182
Oct-95	3	BPRM3	bot	0.210	0.150	0.011
Oct-95	4	BPRM4	sur	0.146	0.037	0.028
Oct-95	4	BPRM4	bot	0.244	0.018	0.036
Oct-95	5	BPRM5	sur	0.342	0.012	0.044
Oct-95	5	BPRM5	bot	0.440	0.205	0.052
Oct-95	6	BSAN1	sur	0.373	0.053	0.262
Oct-95	6	BSAN1	bot	0.492	0.085	0.036
Oct-95	7	BSAN2	sur	0.305	0.118	0.018
Oct-95	7	BSAN2	bot	0.053	0.081	0.016
Oct-95	8	BPRA1	sur	0.088	0.005	0.132
Oct-95	8	BPRA1	mid	0.094	0.102	0.161
Oct-95	8	BPRA1	bot	0.093	0.101	0.102
Oct-95	9	BPRA2	sur	0.094	0.102	0.221
Oct-95	9	BPRA2	bot	0.052	0.099	0.087
Oct-95	10	SIRA1	sur	0.098	0.066	0.096
Oct-95	10	SIRA1	bot	0.248	0.033	0.106
Oct-95	11	SIRA2	sur	0.298	0.070	0.016
Oct-95	11	SIRA2	bot	0.044	0.021	0.115
Oct-95	12	SCIE	sur	0.268	0.082	0.033
Oct-95	12	SCIE	mid	0.227	0.034	0.021
Oct-95	12	SCIE	bot	0.107	0.021	0.024

ตารางที่ 15 แสดงปริมาณคลอรอฟิลล์ a และ b (mg/cu.m) บริเวณที่ศึกษาซึ่งทดสอบวันอุตสาหกรรม
ของจังหวัดเชียงใหม่ : เดือนมกราคม พศ. 2539

date	st	locate	level	chl a	chl b	chl c
Jan-96	1	BPRM1	sur	0.226	0.017	0.047
Jan-96	1	BPRM1	bot	0.160	0.109	0.070
Jan-96	2	BPRM2	sur	0.826	0.022	0.136
Jan-96	2	BPRM2	bot	0.161	0.013	0.017
Jan-96	3	BPRM3	sur	0.037	0.008	0.001
Jan-96	3	BPRM3	bot	0.332	0.030	0.071
Jan-96	4	BPRM4	sur	0.153	0.001	0.001
Jan-96	4	BPRM4	bot	0.182	0.002	0.020
Jan-96	5	BPRM5	sur	0.031	0.002	0.007
Jan-96	5	BPRM5	bot	0.401	0.022	0.084
Jan-96	6	BSAN1	sur	0.496	0.176	0.041
Jan-96	6	BSAN1	bot	0.986	0.456	0.451
Jan-96	7	BSAN2	sur	0.137	0.017	0.129
Jan-96	7	BSAN2	bot	0.120	0.030	0.147
Jan-96	8	BPRA1	sur	0.221	0.077	0.119
Jan-96	8	BPRA1	mid	0.562	0.183	0.092
Jan-96	8	BPRA1	bot	0.517	0.220	0.092
Jan-96	9	BPRA2	sur	0.471	0.256	0.092
Jan-96	9	BPRA2	bot	0.425	0.292	0.092
Jan-96	10	SIRA1	sur	0.630	0.235	0.134
Jan-96	10	SIRA1	bot	0.443	0.186	0.055
Jan-96	11	SIRA2	sur	0.508	0.218	0.234
Jan-96	11	SIRA2	bot	0.255	0.136	0.024
Jan-96	12	SCIE	sur	0.003	0.490	0.282
Jan-96	12	SCIE	mid	0.447	0.089	0.215
Jan-96	12	SCIE	bot	0.432	0.299	0.139

ตารางที่ 16 แสดงปริมาณคลอรอฟิลล์ เอ บี และ ซี (mg/cu.m) บริเวณที่ศึกษาข้างต้นและวันอื่นๆ
ของอ่าวไทยตอนบน : เดือนมีนาคม พศ. 2539

date	st	location	level	chl a	chl b	chl c
Mar-96	1	BPRM1	sur	0.301	0.004	0.005
Mar-96	1	BPRM1	bot	0.374	0.052	0.159
Mar-96	2	BPRM2	sur	0.230	0.059	0.123
Mar-96	2	BPRM2	bot	0.280	0.288	0.192
Mar-96	3	BPRM3	sur	0.183	0.006	0.002
Mar-96	3	BPRM3	bot	0.735	0.314	0.116
Mar-96	4	BPRM4	sur	0.259	0.071	0.125
Mar-96	4	BPRM4	bot	0.232	0.106	0.277
Mar-96	5	BPRM5	sur	0.553	0.000	0.216
Mar-96	5	BPRM5	bot	0.381	0.059	0.185
Mar-96	6	BSAN1	sur	0.827	0.380	0.296
Mar-96	6	BSAN1	bot	0.717	0.265	0.046
Mar-96	7	BSAN2	sur	0.994	0.340	0.005
Mar-96	7	BSAN2	bot	0.286	0.137	0.003
Mar-96	8	BPRA1	sur	0.356	0.112	0.048
Mar-96	8	BPRA1	mid	0.322	0.076	0.006
Mar-96	8	BPRA1	bot	0.349	0.103	0.037
Mar-96	9	BPRA2	sur	1.377	0.486	0.034
Mar-96	9	BPRA2	bot	0.758	0.127	0.006
Mar-96	10	SIRA1	sur	1.324	0.560	0.178
Mar-96	10	SIRA1	bot	0.916	0.334	0.097
Mar-96	11	SIRA2	sur	0.223	0.208	0.334
Mar-96	11	SIRA2	bot	0.663	0.643	0.857
Mar-96	12	SCIE	sur	1.016	0.441	0.007
Mar-96	12	SCIE	mid	1.304	0.445	0.010
Mar-96	12	SCIE	bot	0.720	0.227	0.029

ตารางที่ 17 แสดงปริมาณคลอโรฟิลล์ อี และ ซี (mg/cu.m) บริเวณที่ศึกษาข้างต้นในวันอุ่นของ
ของอ่าวไทยตอนบน : เดือนมิถุนายน พ.ศ. 2539

date	st	location	level	chl a	chl b	chl c
Jun-96	1	BPRM1	sur	0.273	0.004	0.029
Jun-96	1	BPRM1	bot	0.152	0.005	0.013
Jun-96	2	BPRM2	sur	0.477	0.024	0.027
Jun-96	2	BPRM2	bot	0.091	0.007	0.015
Jun-96	3	BPRM3	sur	0.555	0.041	0.066
Jun-96	3	BPRM3	bot	0.160	0.001	0.012
Jun-96	4	BPRM4	sur	0.190	0.042	0.041
Jun-96	4	BPRM4	bot	0.124	0.019	0.003
Jun-96	5	BPRM5	sur	0.204	0.018	0.022
Jun-96	5	BPRM5	bot	0.128	0.015	0.016
Jun-96	6	BSAN1	sur	0.097	0.019	0.007
Jun-96	6	BSAN1	bot	0.212	0.012	0.038
Jun-96	7	BSAN2	sur	0.119	0.031	0.028
Jun-96	7	BSAN2	bot	0.386	0.017	0.075
Jun-96	8	BPRA1	sur	0.023	0.003	0.008
Jun-96	8	BPRA1	mid	0.088	0.035	0.005
Jun-96	8	BPRA1	bot	0.171	0.037	0.104
Jun-96	9	BPRA2	sur	0.280	0.491	0.042
Jun-96	9	BPRA2	bot	0.291	0.060	0.088
Jun-96	10	SIRA1	sur	0.224	0.760	0.191
Jun-96	10	SIRA1	bot	0.771	0.312	0.087
Jun-96	11	SIRA2	sur	0.231	0.260	0.352
Jun-96	11	SIRA2	bot	0.620	0.661	0.876
Jun-96	12	SCIE	sur	0.110	0.450	0.021
Jun-96	12	SCIE	bot	0.210	0.411	0.021

ตารางที่ 18 แสดงปริมาณเคลอโรฟิลล์ เอ บี และ ซี (mg/cu.m) บริเวณที่ศึกษาข้างต้นและวันอื่นๆ
ของป่าฯ ที่อยู่ตอนบน : เดือนสิงหาคม พ.ศ. 2539

date	st	location	level	chl a	chl b	chl c
Aug-96	1	BPRM1	sur	0.076	0.002	0.006
Aug-96	1	BPRM1	bot	0.158	0.011	0.039
Aug-96	2	BPRM2	sur	0.337	0.011	0.042
Aug-96	2	BPRM2	bot	0.510	0.215	0.043
Aug-96	3	BPRM3	sur	0.287	0.156	0.034
Aug-96	3	BPRM3	bot	0.082	0.088	0.009
Aug-96	4	BPRM4	sur	0.872	0.310	0.165
Aug-96	4	BPRM4	bot	0.433	0.155	0.143
Aug-96	5	BPRM5	sur	0.241	0.009	0.127
Aug-96	5	BPRM5	bot	0.204	0.004	0.044
Aug-96	6	BSAN1	sur	0.304	0.116	0.039
Aug-96	6	BSAN1	bot	0.237	0.021	0.006
Aug-96	7	BSAN2	sur	0.320	0.061	0.007
Aug-96	7	BSAN2	bot	0.046	0.040	0.005
Aug-96	8	BPRA1	sur	0.076	0.010	0.023
Aug-96	8	BPRA1	mid	0.068	0.048	0.005
Aug-96	8	BPRA1	bot	0.262	0.198	0.030
Aug-96	9	BPRA2	sur	0.340	0.169	0.214
Aug-96	9	BPRA2	bot	0.406	0.207	0.110
Aug-96	10	SIRA1	sur	0.254	0.210	0.017
Aug-96	10	SIRA1	bot	0.258	0.013	0.033
Aug-96	11	SIRA2	sur	0.205	0.040	0.037
Aug-96	11	SIRA2	bot	0.038	0.005	0.106
Aug-96	12	SCIE	sur	0.287	0.061	0.032
Aug-96	12	SCIE	bot	0.060	0.008	0.025

ตารางที่ 19 แสดงชนิด จำนวน และ ความถี่ (%) ที่พบ Dinoflagellate cysts ในคืนตะกอนบริเวณที่ศึกษาอย่างทั่วไป
ระหว่างเดือน สิงหาคม พ.ศ. 2538

date	st	location	seive-meth			culture-meth		
			name	number	%freq	name	number	%freq
Aug-95	1	BPRM1	no			no		
Aug-95	2	BPRM2	no			no		
Aug-95	3	BPRM3	<i>Pheopolykrikos hartmannii</i>	1	10	no		
Aug-95	4	BPRM4	no			no		
Aug-95	5	BPRMS	no			no		
Aug-95	6	BSAN1	no			<i>Pheopolykrikos hartmannii</i>	1	10
Aug-95	7	BSAN2	no			no		
Aug-95	8	BPRA1	no			no		
Aug-95	9	BPRA2	no			no		
Aug-95	10	SIRA1	no			no		
Aug-95	11	SIRA2	no			no		
Aug-95	12	SCIE	no			no		

seive-meth = ศึกษาโดยใช้การร่อนแยก

culture-meth = ศึกษาโดยใช้การเพาะในหลังทดลอง

ตารางที่ 20 แสดงชนิด จำนวน และ ความถี่ (%) ที่พบ Dinoflagellate cysts ในดินตะกอนบริเวณที่ศึกษาขั้นผิวทะเล
ระหว่างเดือนตุลาคม พ.ศ. 2538

date	st	location	seive-meth			culture-meth		
			name	number	%freq	name	number	%freq
Oct-95	1	BPRM1	no	no		no	no	
Oct-95	2	BPRM2	no	no		no	no	
Oct-95	3	BPRM3	no	no		no	no	
Oct-95	4	BPRM4	no	no		no	no	
Oct-95	5	BPRM5	no	no		no	no	
Oct-95	6	BSAN1	no	no		no	no	
Oct-95	7	BSAN2	no	no		no	no	
Oct-95	8	BSAN2	no	no		no	no	
Oct-95	9	BPRA1	no	no		no	no	
Oct-95	10	BPRA2	no	no		no	no	
Oct-95	11	SIRA2	no	no		no	no	
Oct-95	12	SCIE	no	no		no	no	

seive-meth = ศึกษาโดยใช้การร่อนแยก

culture-meth = ศึกษาโดยใช้การเพาะในหลอดทดลอง

ตารางที่ 21 แสดงชนิด จำนวน และ ความถี่ (%) ที่พบ Dinoflagellate cysts ในคืนตะกอนบริเวณที่ศึกษาอย่างพั่งทะเล
- ระหว่างออกของอ่าวไทยตอนบน : เดือนมกราคม พ.ศ. 2539

seive-meth				culture-meth				
date	st	location	name	number	%freq	name	numbe	%freq
Jan-96	1	BPRM1	no	no		<i>Pheopolykrikos</i> <i>hartmannii</i>	2	6.7
Jan-96	2	BPRM2	no	no		<i>Pheopolykrikos</i> <i>hartmannii</i>	2	20.0
Jan-96	3	BPRM3	no	no		<i>Pheopolykrikos</i> <i>hartmannii</i>	2	20.0
Jan-96	4	BPRM4	no	no		<i>Pheopolykrikos</i> <i>hartmannii</i>	1	20.0
Jan-96	5	BPRM5	no	no		<i>Pheopolykrikos</i> <i>hartmannii</i>	2	6.7
Jan-96	6	BSAN1	no	no		<i>Pheopolykrikos</i> <i>hartmannii</i>	2	6.7
Jan-96	7	BSAN2	no	no		<i>Scrippsiella trochoidea</i>	2	20.0
Jan-96	8	BSAN2	no	no		<i>Pheopolykrikos</i> <i>hartmannii</i>	1	20.0
Jan-96	9	BPRA1	no	no		<i>Pheopolykrikos</i> <i>hartmannii</i>	1	20.0
Jan-96	10	BPRA2	no	no		<i>Pheopolykrikos</i> <i>hartmannii</i>	2	6.7
Jan-96	11	SIRA2	<i>Pheopolykrikos hartmannii</i>	1		no		20.0
Jan-96	12	SCIE	no	no		no	no	

seive-meth = ศึกษาโดยใช้การร่อนแยก

culture-meth = ศึกษาโดยใช้การเพาะในหลอดทดลอง

ตารางที่ 22 แสดงชนิด จำนวน และ ความถี่ (%) ที่พบ Dinoflagellate cysts ในดินตะกอนบริเวณที่ศึกษาซึ่งพื้นที่และ
ระยะเวลาของอย่างอ่าวไทยตอนบน : เดือนมีนาคม พศ. 2539

seive-meth				culture-meth				
date	st	location	name	number	%freq	name	number	%freq
Mar-96	1	BPRM1	no	no		<i>Pheopolykrikos hartmannii</i>	2	20.0
Mar-96	2	BPRM2	no	no		no	no	
Mar-96	3	BPRM3	no	no		<i>Pheopolykrikos hartmannii</i>	2	20.0
Mar-96	4	BPRM4	no	no		no	no	
Mar-96	5	BPRM5	no	no		no	no	
Mar-96	6	BSAN1	no	no		<i>Pheopolykrikos hartmannii</i>	2	40.0
Mar-96	7	BSAN2	no	no		no	no	
Mar-96	8	BPRA1	no	no		<i>Pheopolykrikos hartmannii</i>	4	20.0
Mar-96	9	BPRA2	no	no		no	no	
Mar-96	10	SIRAI	no	no		<i>Pheopolykrikos hartmannii</i>	4	40.0
Mar-96	11	SIRA2	no	no		no	no	
Mar-96	12	SCIE	no	no		no	no	

seive-meth = ศึกษาโดยใช้การร่อนแยก

culture-meth = ศึกษาโดยใช้การเพาะในหลอดทดลอง

ตารางที่ 23 แสดงชนิด จำนวน และ ความถี่ (%) ที่พบ Dinoflagellate cysts ในดินตะกอนบริเวณที่ศึกษาอย่างพื้นที่
ตะวันออกของอ่าวไทยตอนบน : เดือนมิถุนายน พ.ศ. 2539

date	st	location	seive-meth			culture-meth		
			name	number	%freq	name	number	%freq
Jun-96	5	BPRM1	no	no		no	no	
Jun-96	5	BPRM2	no	no		no	no	
Jun-96	5	BPRM3	no	no		no	no	
Jun-96	5	BPRM4	no	no		no	no	
Jun-96	5	BPRM5	no	no		no	no	
Jun-96	6	BSAN1	no	no		no	no	
Jun-96	6	BSAN2	no	no		no	no	
Jun-96	7	BPRA1	no	no		no	no	
Jun-96	7	BPRA2	no	no		no	no	
Jun-96	8	SIRA1	no	no		no	no	
Jun-96	8	SIRA2	no	no		no	no	
Jun-96	10	SCIE	no	no		no	no	

seive-meth = ศึกษาโดยใช้การร่อนแยก

culture-meth = ศึกษาโดยใช้การเพาะในหลังค�펙ตอง

ตารางที่ 24 แสดงชนิด จำนวน และ ความถี่ (%) ที่พบ Dinoflagellate cysts ในดินตะกอนบริเวณที่ศึกษาอย่างทั่วไป
ระหว่างเดือนกรกฎาคม - กันยายน พ.ศ. 2539

date	st	location	seive-meth			culture-meth		
			name	number	%freq	name	number	%freq
Aug-96	5	BPRM1	no	no		no	no	
Aug-96	5	BPRM2	no	no		no	no	
Aug-96	5	BPRM3	no	no		no	no	
Aug-96	5	BPRM4	no	no		no	no	
Aug-96	5	BPRM5	no	no		no	no	
Aug-96	6	BSAN1	no	no		no	no	
Aug-96	6	BSAN2	no	no		no	no	
Aug-96	7	BPRA1	no	no		no	no	
Aug-96	7	BPRA2	no	no		no	no	
Aug-96	8	SIRA1	no	no		no	no	
Aug-96	8	SIRA2	no	no		no	no	
Aug-96	10	SCIE	no	no		no	no	

seive-meth = ศึกษาโดยใช้การร่อนแยก

culture-meth = ศึกษาโดยใช้การเพาะในหลังทดลอง

ตารางที่ 25 ผลของน้ำโดยรวมทั้งหมด ($\times 10^6$ cell/cu.m) ของแพลงก์ตอนพืช บริเวณที่ศึกษาและผู้ตรวจสอบ ชุมชนวัฒนธรรม : เต็มสีทางตาม พท. 2538

date	family	genera	BPRM1	BPRM2	BPRM3	BPRM4	BPRMS	BSAN1	BSAN2	BPRAI	BPRA2	SIRAI	SIRA2	SCHIE
Aug-95	Cyanophyta	Melosira												0.172
Aug-95	Cyanophyta	Trichodesmium	0.02	0.021	0.018	0.011								0.545
Aug-95	Thalassiosiraceae	Thalassiosira												0.117
Aug-95	Rhizosolenaceae	Rhizosolenia	0.01					0.112	0.11		0.055			0.050
Aug-95	Coccolithophoridaceae	Coscinodiscus	0.01	0.012	0.022	0.015	0.005	0.124		0.002	0.098	0.650	0.560	0.187
Aug-95	Bacteriastrum	Bacteriastrum	0.053				0.088	0.44	0.44	0.009	0.09	0.833	0.110	
Aug-95	Chaetoceraceae	Chaetoceros	0.009	0.021		0.005	0.088	0.98	0.54	0.169		1.756	0.222	1.880
Aug-95	Biddulphiaceae	Biddulphia		0.011	0.011									
Aug-95	Fragiliaceae	Thalassionema								0.007				0.067
Aug-95	Nitzchiaceae	Nitzchia						0.067	0.045			0.167	0.056	
Aug-95	Pennales	Thalassiothrix						0.001	0.001	0.000		0.467	0.220	0.280
Aug-95	Dinoflagellate	Ceratium	0.021	0.011	0.012	0.012	0.125			0.000				
Aug-95	Dinoflagellate	Dinophysis										0.003	0.009	
Aug-95	Dinoflagellate	Nothoca	0.023	0.012	0.022	0.025		0.042	0.043	0.004	0.055	0.060	0.055	0.413

ตารางที่ 26 ผลิตซึ่นเป็นค่าความหนาแน่น ($\times 10^6$ cell/cu.m) ของแพลงก์ตอนพืช บริเวณที่ศึกษาทั้งสี่แห่ง วันเดียว จึงอาจไม่ถูกต้องมาก แต่ก็พอจะได้มาใช้เป็นข้อมูล : ศิริบุตรกาม พ.ศ. 2538

date	family	genera	BPRM1	BPRM2	BPRM3	BPRM4	BPRMS	BSANI	BSAN2	BPRA1	BPRA2	SIRA1	SIRA2	SCIE
Oct-95	Melosiraceae	Trichodesmium	0.02	0.02	0.01									
Oct-95	Corethromecae	Corethron												0.019
Oct-95	Leptocylindraceae	Guinardia	0.023	0.021			0.022	0.021						0.087
Oct-95	Thalassiotriaceae	Thalassiosira												0.019
Oct-95	Coccolinodiscaceae	Coccolinodiscus	0.12	0.17	0.02	0.16		0.278	0.199	0.080	0.043			0.019
Oct-95	Coccolinodiscaceae	Asteromphalus												0.025
Oct-95	Rhizosoleniacae	Rhizosolenia	0.073	0.082		0.051	0.721	0.99	0.87	0.107	0.349	0.475	0.017	0.863
Oct-95	Bacteriastrium	Bacteriastrium	0.033	0.023		0.022	0.045	0.11	0.171	0.107	0.152		0.087	0.096
Oct-95	Chaetoceraceae	Chaetoceros	0.011	0.01		0.021	0.099	0.198	0.155		0.567		0.169	0.058
Oct-95	Biddulphaeace	Biddulphia	0.005	0.005	0.02							0.024	0.125	
Oct-95	Biddulphaeace	Hemianthus												0.008
Oct-95	Biddulphaeace	Cerataulina												0.050
Oct-95	Fragilariacae	Thalassionema	0.01	0.01	0.021			0.089	0.091	0.027				0.026
Oct-95	Fragilariacae	Asterionella												0.019
Oct-95	Fragilariacae	Pleurosigma												0.200
Oct-95	Nitzchiaceae	Nitzchia					0.055	0.041				0.0333		0.014
Oct-95	Pennales	Thalassiothrix	0.005	0.005		0.011	0.012	0.01	0.01			0.0199		0.087

ตารางที่ 27 ผลิตภัณฑ์และคุณภาพน้ำหนึ่ง ($\times 10^6$ cell/cu.m) ของแพลงก์ตอนพืช บริเวณที่ศึกษาซึ่งต้องการข้อมูลเพื่อวิเคราะห์ภัยคุกคาม ของแม่น้ำท่าจีน ภาคใต้ ประเทศไทย : เดือนมกราคม พ.ศ. 2539

date	family	genera	BPRM1	BPRM2	BPRM3	BPRM4	BPRM5	BSANI	BSAN2	BPRA1	BPRA2	SIRA1	SIRA2	SCIE
Jan-96	Melosiraceae	Trichodesmium												0.010
Jan-96	Melosiraceae	Melosira												0.010
Jan-96	Leptocylindraceae	Guinardia	0.010											0.006
Jan-96	Coccolindraceae	Coccolindicus	0.019	0.020										0.021
Jan-96	Rhizosolenia	Rhizosolenia	0.060	0.060			0.078	0.080	0.082	0.091	0.017	0.104	0.004	0.127
Jan-96	Bacillastrom	Bacillastrom	0.011	0.021	0.034									0.055
Jan-96	Chaetoceros	Chaetoceros	0.010	0.010			0.022	0.041	0.066	0.032	0.013	1.389	0.091	1.411
Jan-96	Biddulphiaceae	Biddulphia	0.005		0.008									0.020
Jan-96	Biddulphiaceae	Hermanus												0.002
Jan-96	Biddulphiaceae	Cerataulina												0.015
Jan-96	Biddulphiaceae	Triceratium												0.020
Jan-96	Fragilariaeae	Thalassionema	0.002	0.002	0.002									0.022
Jan-96	Tabellariaeae	Grammatophor												0.006
Jan-96	Naviculaceas	Navicula												0.101
Jan-96	Naviculaceae	Pleurosigma												0.190
Jan-96	Naviculaceae	Gyrosigma												0.031
Jan-96	Naviculaceae	Diplooneis												0.329
Jan-96	Nitzschiaeae	Nitzchia												0.006
Jan-96	Nitzschiaeae	Bacillans												0.004

(ตารางที่ 27 : ๑๑)

Jan-96	Pennales	Thalassiothrix	0.021	0.011	0.012	0.006	0.021
Jan-96	Dinoflagellate	Ceratium	0.011	0.022	0.022	0.003	0.008
Jan-96	Dinoflagellate	Peridinium	0.021	0.020			0.025
Jan-96	Dinoflagellate	Dinophysis					
Jan-96	Dinoflagellate	Noctiluca					
Jan-96	Dinoflagellate	Tintinnopsis					0.015
Jan-96	Dinoflagellate	Protoperidinium					0.025
Jan-96	Dinoflagellate	Poecilomonas					
Jan-96	Dinoflagellate	Epiplatys					
Jan-96	Dinoflagellate	Leproton tinnum					0.006
Jan-96	Dinoflagellate	Amphocellaopsis					0.005

ตารางที่ 28 ผลของการเดินทางบนพื้น ($\times 10^3$ cell/cm³) ของแพลงก์ตอนพื้น บริเวณที่ศึกษาที่ต่อวันของ 0 องศาฯ ไทยตอนบน : เดือนกันยายน พ.ศ. 2539

date	family	genera	BPRM1	BPRM2	BPRM3	BPMR4	BPRM5	BSAN1	BSAN2	BPRA1	BPRA2	SRA1	SRA2	SCIE
Mar-96	Cyanophyta	Trichodesmium	0.045											
Mar-96	Thalassiosiraceae	Lauderia										0.001		
Mar-96	Coccolithophoraceae	Coccolisces	0.631	0.024			0.418	0.024	0.022	0.010	0.035	0.007	0.046	0.006
Mar-96	Coccolithophoraceae	Asteromphalus	0.045											
Mar-96	Rhizosolenia	Rhizosolenia					0.836	0.061	0.121	0.111	0.009	0.257	0.055	0.071
Mar-96	Bacillariaceum	Bacillastrum	0.180	0.066			0.468				0.055	0.008	0.025	0.045
Mar-96	Chaetoceraceae	Chaetoceros	0.495	0.059			0.251	0.817	0.770	0.233	0.001	0.069	0.024	0.159
Mar-96	Biddulphiaceae	Biddulphia	0.045				0.084		0.011					
Mar-96	Biddulphiaceae	Henniaulus												0.002
Mar-96	Fragilariaeae	Thalassionema	1.533				0.231	0.024	0.050	0.012				
Mar-96	Fragilariaeae	Asterionella					0.084							
Mar-96	Naviculaceae	Pleurosigma						0.024						
Mar-96	Naviculaceae	Gyrosigma					0.167	0.037						
Mar-96	Nitzschiaeae	Nitzchia	0.135				0.084	0.183	0.110	0.230				
Mar-96	Nitzschiaeae	Bacillaris	0.270											
Mar-96	Pennales	Thalassiothrix	0.069				0.418	0.037	0.099	0.087	0.001			
Mar-96	Dinoflagellate	Ceratium	0.045	0.011			0.084		0.050	0.050	0.002	0.010	0.025	0.002
Mar-96	Dinoflagellate	Dinophysis												0.020
Mar-96	Dinoflagellate	Protoperidinium	0.316											0.022

ตราสารที่ 29 ผลผลิตน้ำมันเชื้อเพลิงในประเทศไทย ประจำปี พ.ศ. 2539

(ตารางที่ 29 : ต่อ)

Jun-96	Pennales	<i>Thalassiothrix</i>	0.004					0.610
Jun-96	Fragilariaeae	<i>Thalassionema</i>		0.010	0.022	0.023		
Jun-96	Fragilariaeae	<i>Fragilaria</i>						
Jun-96	Dinoflagellate	<i>Ceratium</i>		0.020	0.074	0.043	0.044	0.022
Jun-96	Dinoflagellate	<i>Peridinium</i>	0.020	0.045	0.022	0.010	0.030	
Jun-96	Dinoflagellate	<i>Noctilica</i>	1.560	1.100	0.880	1.060	0.921	0.520
		<i>scintillans</i>					0.440	0.784
							0.990	0.716

ตารางที่ 30 ผลตัวบีตเตอร์และการหาแบบน้ำ ($\times 10^6$ cell/cm³) ของแพลงก์ตอนพื้นที่ศึกษาของผู้จัดทำวันเดียวกันเดือนกัน : ต่อน้ำทะเล พ.ศ. 2539

date	family	genera	B'RM1	B'RM2	B'RM3	B'RM4	B'SAN1	B'SAN2	B'PRA1	B'PRA2	S'RA1	S'RA2	SCIE
Aug-96	Cyanophyta	Trichodesmium											0.007
Aug-96	Leptocylindraceae	Guinardia											0.006
Aug-96	Leptocylindraceae	Leptocylindrus											0.004
Aug-96	Thalassiosiraceae	Lauderia											0.015
Aug-96	Coscinodiscaceae	Coscinodiscus	0.008	0.022	0.055	0.013	0.002	0.011	0.010	0.013	0.050	0.004	0.015
Aug-96	Coscinodiscaceae	Actinptychus											
Aug-96	Coscinodiscaceae	Planktonella	0.000		0.003		0.002	0.001			0.001	0.007	
Aug-96	Rhizosolenia	Rhizosolenia	0.001				0.014	0.003	0.018	0.068		0.076	0.021
Aug-96	Bacteriastylum	Bacteriastylum	0.000	0.009			0.030	0.031	0.031	0.005	0.129		0.113
Aug-96	Chaetoceraceae	Chaetoceros	0.008	0.017		0.001	0.037	0.044	0.030	0.016	0.158	0.005	0.163
Aug-96	Biddulphiaceae	Biddulphia	0.001	0.002	0.010	0.001		0.001	0.000				0.002
Aug-96	Pennales	Thalassiothrix			0.001		0.001	0.005	0.000	0.007		0.031	0.000
Aug-96	Dinoflagellate	Ceratium	0.032	0.056	0.173	0.155	0.223	0.020	0.117	0.082	0.509	0.560	0.517
Aug-96	Dinoflagellate	Peridinium	0.124	0.115	0.222	0.017	0.046	0.064	0.040	0.044	0.086	0.126	0.150
Aug-96	Dinoflagellate	Pyroclytis											0.001

ตารางที่ 31 แสดงปริมาณอินทรีย์สารในดินตะกอน (%) ผิวตะวันออกของย่านไทยตอนบน
เดือนสิงหาคม 2538

Date	st	location	level	% org matter
Aug-95	1	BPRM1	0	3.51
Aug-95	1	BPRM1	5	3.38
Aug-95	1	BPRM1	10	3.47
Aug-95	1	BPRM1	15	3.47
Aug-95	2	BPRM2	0	3.47
Aug-95	2	BPRM2	5	3.20
Aug-95	2	BPRM2	10	3.20
Aug-95	3	BPRM3	0	3.01
Aug-95	3	BPRM3	5	2.88
Aug-95	3	BPRM3	10	2.80
Aug-95	4	BPRM4	0	3.78
Aug-95	4	BPRM4	5	2.52
Aug-95	4	BPRM4	10	2.52
Aug-95	4	BPRM4	15	1.22
Aug-95	5	BPRM5	0	3.34
Aug-95	5	BPRM5	5	2.87
Aug-95	5	BPRM5	10	2.50
Aug-95	5	BPRM5	15	2.55
Aug-95	6	BSAN1	0	2.01
Aug-95	6	BSAN1	5	2.15
Aug-95	6	BSAN1	10	1.86
Aug-95	6	BSAN1	15	2.00
Aug-95	7	BSAN2	0	2.10
Aug-95	7	BSAN2	5	2.05
Aug-95	7	BSAN2	10	2.05
Aug-95	7	BSAN2	15	2.00
Aug-95	8	BPRA1	0	3.03
Aug-95	8	BPRA1	5	3.18
Aug-95	8	BPRA1	10	3.24
Aug-95	8	BPRA1	15	3.01

(ตารางที่ 31 : ต่อ)

Aug-95	9	BPRA2	0	3.00
Aug-95	9	BPRA2	5	2.11
Aug-95	9	BPRA2	10	2.00
Aug-95	10	SIRA1	0	3.05
Aug-95	10	SIRA1	5	2.85
Aug-95	10	SIRA1	10	2.87
Aug-95	10	SIRA1	15	2.85
Aug-95	11	SIRA2	0	0.32
Aug-95	11	SIRA2	5	0.25
Aug-95	11	SIRA2	10	0.25
Aug-95	11	SIRA2	15	0.18
Aug-95	12	SCIE	0	1.46
Aug-95	12	SCIE	5	1.20

ตารางที่ 32 แสดงปริมาณอินทรีชีลารในคืน哪กอน (%) ฝั่งตะวันออกของอ่าวไทยตอนบน

: เดือนตุลาคม 2538

Date	st	location	level	% org matter
Oct-95	1	BPRM1	0	3.47
Oct-95	1	BPRM1	5	3.81
Oct-95	1	BPRM1	10	3.51
Oct-95	1	BPRM1	15	3.84
Oct-95	2	BPRM2	0	3.27
Oct-95	2	BPRM2	5	2.99
Oct-95	2	BPRM2	10	1.91
Oct-95	3	BPRM3	0	3.16
Oct-95	3	BPRM3	5	2.82
Oct-95	3	BPRM3	10	1.70
Oct-95	4	BPRM4	0	3.04
Oct-95	4	BPRM4	5	2.09
Oct-95	4	BPRM4	10	1.55
Oct-95	4	BPRM4	15	0.87
Oct-95	5	BPRM5	0	3.20
Oct-95	5	BPRM5	5	2.88
Oct-95	5	BPRM5	10	2.85
Oct-95	5	BPRM5	15	2.76
Oct-95	6	BSAN1	0	2.27
Oct-95	6	BSAN1	5	2.43
Oct-95	6	BSAN1	10	2.26
Oct-95	6	BSAN1	15	2.35
Oct-95	7	BSAN2	0	2.45
Oct-95	7	BSAN2	5	2.43
Oct-95	7	BSAN2	10	2.76
Oct-95	7	BSAN2	15	1.28
Oct-95	8	BPRA1	0	3.04
Oct-95	8	BPRA1	5	3.07
Oct-95	8	BPRA1	10	3.03
Oct-95	8	BPRA1	15	2.93

(ค่ารากที่ 32 : ๘๙)

Oct-95	9	BPRA2	0	2.98
Oct-95	9	BPRA2	5	2.46
Oct-95	9	BPRA2	10	1.28
Oct-95	10	SIRA1	0	2.72
Oct-95	10	SIRA1	5	2.90
Oct-95	10	SIRA1	10	2.86
Oct-95	10	SIRA1	15	2.78
Oct-95	11	SIRA2	0	1.11
Oct-95	11	SIRA2	5	0.98
Oct-95	11	SIRA2	10	0.91
Oct-95	11	SIRA2	15	0.32
Oct-95	12	SCIE	0cm	1.55
Oct-95	12	SCIE	5cm	1.41

ตารางที่ 33 แสดงปริมาณอินทรีสารในคืนตาก้อน (%) ผ่านตะวันออกของอำเภอไทยตอนบน
: เดือนกรกฎาคม 2539

Date	st	location	level	% org matter
Jan-96	1	BPRM1	0	3.44
Jan-96	1	BPRM1	5	3.54
Jan-96	1	BPRM1	10	3.58
Jan-96	1	BPRM1	15	3.67
Jan-96	2	BPRM2	0	3.26
Jan-96	2	BPRM2	5	3.21
Jan-96	2	BPRM2	10	3.39
Jan-96	3	BPRM3	0	2.89
Jan-96	3	BPRM3	5	2.98
Jan-96	3	BPRM3	10	2.97
Jan-96	4	BPRM4	0	3.33
Jan-96	4	BPRM4	5	3.37
Jan-96	4	BPRM4	10	3.52
Jan-96	4	BPRM4	15	3.42
Jan-96	5	BPRMS	0	3.22
Jan-96	5	BPRMS	5	3.31
Jan-96	5	BPRMS	10	3.31
Jan-96	5	BPRMS	15	3.39
Jan-96	6	BSAN1	0	2.01
Jan-96	6	BSAN1	5	1.88
Jan-96	6	BSAN1	10	2.07
Jan-96	6	BSAN1	15	2.15
Jan-96	7	BSAN2	0	2.13
Jan-96	7	BSAN2	5	2.18
Jan-96	7	BSAN2	10	2.17
Jan-96	7	BSAN2	15	2.40
Jan-96	8	BPRA1	0	2.95
Jan-96	8	BPRA1	5	2.90
Jan-96	8	BPRA1	10	3.05
Jan-96	8	BPRA1	15	3.19

(ตารางที่ 33 : ต่อ)

Jan-96	9	BPRA2	0	3.13
Jan-96	9	BPRA2	5	2.82
Jan-96	9	BPRA2	10	2.92
Jan-96	10	SIRA1	0	2.91
Jan-96	10	SIRA1	5	2.96
Jan-96	10	SIRA1	10	2.87
Jan-96	10	SIRA1	15	3.04
Jan-96	11	SIRA2	0	0.14
Jan-96	11	SIRA2	5	0.28
Jan-96	11	SIRA2	10	0.74
Jan-96	11	SIRA2	15	1.57
Jan-96	12	SCIE	0	1.52
Jan-96	12	SCIE	5	1.49

ตารางที่ 34 แสดงปริมาณทรัพย์สารในคืน哪กอน (%) ผ่านวันออกของอ่าวไทยตอนบน
: เดือนมีนาคม 2539

Date	st	location	level	% org
				matter
Mar-96	1	BPRM1	0	4.03
Mar-96	1	BPRM1	5	3.55
Mar-96	1	BPRM1	10	3.55
Mar-96	2	BPRM2	0	3.74
Mar-96	2	BPRM2	5	3.25
Mar-96	2	BPRM2	10	3.21
Mar-96	2	BPRM2	15	3.06
Mar-96	3	BPRM3	0	3.28
Mar-96	3	BPRM3	5	3.54
Mar-96	3	BPRM3	10	3.43
Mar-96	3	BPRM3	15	3.31
Mar-96	4	BPRM4	0	2.81
Mar-96	4	BPRM4	5	2.44
Mar-96	4	BPRM4	10	2.48
Mar-96	4	BPRM4	15	2.34
Mar-96	5	BPRM5	0	3.00
Mar-96	5	BPRM5	5	3.00
Mar-96	5	BPRM5	10	3.21
Mar-96	6	BSAN1	0	2.16
Mar-96	6	BSAN1	5	2.44
Mar-96	6	BSAN1	10	1.92
Mar-96	6	BSAN1	15	2.11
Mar-96	7	BSAN2	0	2.37
Mar-96	7	BSAN2	5	2.40
Mar-96	7	BSAN2	10	2.40
Mar-96	8	BPRA1	0	2.80
Mar-96	8	BPRA1	5	2.84
Mar-96	8	BPRA1	10	2.71
Mar-96	9	BPRA2	0	2.44

(ตารางที่ 34 : ต่อ)

Mar-96	10	SIRA1	0	2.61
Mar-96	10	SIRA1	5	2.39
Mar-96	10	SIRA1	10	2.06
Mar-96	10	SIRA1	15	2.11
Mar-96	11	SIRA2	0	0.89
Mar-96	11	SIRA2	5	1.20
Mar-96	11	SIRA2	10	1.88
Mar-96	12	SCIE	0	1.08
Mar-96	12	SCIE	5	1.22

ตารางที่ 35 แสดงปริมาณอินทรีสารในคืนตะกอน (%) ผิ้งตะวันออกของอ่าวไทยตอนบน
: เดือนมิถุนายน 2539

Date	st	location	level	% org matter
Jun-96	1	BPRM1	0	3.28
Jun-96	1	BPRM1	5	3.55
Jun-96	2	BPRM2	0	2.81
Jun-96	2	BPRM2	5	2.67
Jun-96	3	BPRM3	0	3.23
Jun-96	3	BPRM3	5	2.86
Jun-96	4	BPRM4	0	2.68
Jun-96	4	BPRM4	5	2.44
Jun-96	5	BPRM5	0	2.88
Jun-96	5	BPRM5	5	3.10
Jun-96	6	BSAN1	0	1.64
Jun-96	6	BSAN1	5	1.41
Jun-96	7	BSAN2	0	1.69
Jun-96	7	BSAN2	5	1.88
Jun-96	8	BPRA1	0	1.55
Jun-96	8	BPRA1	5	1.73
Jun-96	8	BPRA1	10	1.92
Jun-96	9	BPRA2	0	1.45
Jun-96	9	BPRA2	5	1.05
Jun-96	9	BPRA2	10	1.05
Jun-96	10	SIRA1	0	1.55
Jun-96	10	SIRA1	5	1.20
Jun-96	10	SIRA1	10	1.20
Jun-96	11	SIRA2	0	0.55
Jun-96	11	SIRA2	5	1.20
Jun-96	11	SIRA2	10	1.20
Jun-96	12	SCIE	0	1.33
Jun-96	12	SCIE	5	1.23

ตารางที่ 36 แสดงปริมาณอินทรีย์สารในคืนตะกอน (%) ผ่านตะวันออกของอ่าวไทยตอนบน
: เดือนสิงหาคม 2539

Date	st	location	level	% org matter
Aug-96	1	BPRM 1	0	2.63
Aug-96	1	BPRM 1	5	3.42
Aug-96	1	BPRM 1	10	2.75
Aug-96	1	BPRM 1	15	3.38
Aug-96	2	BPRM 2	0	2.31
Aug-96	2	BPRM 2	5	2.04
Aug-96	3	BPRM 3	0	2.55
Aug-96	3	BPRM 3	5	2.04
Aug-96	4	BPRM 4	0	1.55
Aug-96	4	BPRM 4	5	1.02
Aug-96	5	BPRM 5	0	2.30
Aug-96	5	BPRM 5	5	2.17
Aug-96	5	BPRM 5	10	2.47
Aug-96	5	BPRM 5	15	2.26
Aug-96	6	BSAN 1	0	1.87
Aug-96	6	BSAN 1	5	2.04
Aug-96	6	BSAN 1	10	1.99
Aug-96	6	BSAN 1	15	2.04
Aug-96	7	BSAN 2	0	2.13
Aug-96	7	BSAN 2	5	2.14
Aug-96	7	BSAN 2	10	2.75
Aug-96	8	BPRA 1	0	2.30
Aug-96	8	BPRA 1	5	2.22
Aug-96	8	BPRA 1	10	2.08
Aug-96	8	BPRA 1	15	2.13
Aug-96	9	BPRA 2	0	2.21
Aug-96	9	BPRA 2	5	2.13

(ตารางที่ 36 : ต่อ)

Aug-96	10	SIRA 1	0	1.69
Aug-96	10	SIRA 1	5	2.21
Aug-96	10	SIRA 1	10	2.13
Aug-96	10	SIRA 1	15	2.00
Aug-96	11	SIRA 2	0	1.36
Aug-96	11	SIRA 2	5	1.19
Aug-96	11	SIRA 2	10	1.06
Aug-96	12	SCIE	0	1.05
Aug-96	12	SCIE	5	1.05

ตารางที่ ๓๙ แสดงปริมาณซัลไฟต์ในดินตะกอน (mM/gm wet wt sed) บริเวณที่ศึกษาอย่างทั่วไปในวันอุ่น
ของอ่าวไทยตอนบน : เดือน สิงหาคม พ.ศ. 2538

date	st	locate	cm.	mM/gm wet wt sed
Aug-95	1	BPRM1	0	0.611
Aug-95	1	BPRM1	5	0.598
Aug-95	2	BPRM2	0	0.701
Aug-95	2	BPRM2	5	0.811
Aug-95	3	BPRM3	0	0.095
Aug-95	3	BPRM3	5	0.045
Aug-95	4	BPRM3	10	0.660
Aug-95	4	BPRM4	0	1.050
Aug-95	4	BPRM4	5	0.532
Aug-95	5	BPRMS	0	0.521
Aug-95	5	BPRMS	5	0.555
Aug-95	6	BSAN1	0	0.550
Aug-95	6	BSAN1	5	0.723
Aug-95	7	BSAN2	0	0.115
Aug-95	7	BSAN2	5	0.350
Aug-95	8	BPRA2	0	0.015
Aug-95	8	BPRA2	5	0.065
Aug-95	9	SIRA1	0	0.781
Aug-95	9	SIRA1	5	0.770
Aug-95	9	SIRA1	10	0.156
Aug-95	10	SIRA2	0	0.251
Aug-95	10	SIRA2	5	0.242
Aug-95	11	SCIE	0	0.125
Aug-95	11	SCIE	5	0.125

ตารางที่ 30 แสดงปริมาณซัลไฟด์ในดินตะกอน (mM/gm wet wt sed) บริเวณที่ศึกษาของฝั่งทะเลวันออก
ของอ่าวไทยตอนบน : เดือนตุลาคม พศ. 2538

date	st	locate	cm.	mM/gm wet wt sed
Oct-95	1	BPRM1	0	2.825
Oct-95	1	BPRM1	5	4.972
Oct-95	1	BPRM1	10	4.108
Oct-95	1	BPRM1	15	0.584
Oct-95	2	BPRM2	0	0.106
Oct-95	2	BPRM2	5	0.322
Oct-95	2	BPRM2	10	1.866
Oct-95	3	BPRM3	0	0.534
Oct-95	3	BPRM3	5	0.129
Oct-95	3	BPRM3	10	0.318
Oct-95	4	BPRM4	0	0.050
Oct-95	4	BPRM4	5	0.116
Oct-95	4	BPRM4	10	0.165
Oct-95	4	BPRM4	15	0.265
Oct-95	5	BPRM5	0	2.334
Oct-95	5	BPRM5	5	2.831
Oct-95	5	BPRM5	10	4.056
Oct-95	5	BPRM5	15	3.780
Oct-95	6	BSAN1	0	0.505
Oct-95	6	BSAN1	5	0.921
Oct-95	7	BSAN2	0	0.024
Oct-95	7	BSAN2	5	0.088
Oct-95	8	BPRA1	0	0.095
Oct-95	8	BPRA1	5	0.103
Oct-95	8	BPRA1	10	0.074
Oct-95	8	BPRA1	15	0.237
Oct-95	9	BPRA2	0	0.066
Oct-95	9	BPRA2	5	0.203
Oct-95	9	BPRA2	10	1.176

(ตารางที่ 3.1 : ต่อ)

Oct-95	10	SIRA1	0	1.299
Oct-95	10	SIRA1	5	1.329
Oct-95	10	SIRA1	10	1.660
Oct-95	11	SIRA2	0	0.275
Oct-95	11	SIRA2	5	0.315
Oct-95	12	SCIE	0	0.085
Oct-95	12	SCIE	5	0.043

ตารางที่ 39 แสดงปริมาณซัลไฟต์ในคินตระกอน (mM/gm wet wt sed) บริเวณที่ศึกษาอย่างทั่วๆ
ประจำเดือน มกราคม พ.ศ. 2539

date	st	locate	cm.	mM/gm wet wt sed
Jan-96	1	BPRM1	0	2.290
Jan-96	1	BPRM1	5	4.029
Jan-96	1	BPRM1	10	3.329
Jan-96	1	BPRM1	15	0.473
Jan-96	2	BPRM2	0	0.100
Jan-96	2	BPRM2	5	0.305
Jan-96	2	BPRM2	10	1.769
Jan-96	3	BPRM3	0	0.508
Jan-96	3	BPRM3	5	0.123
Jan-96	3	BPRM3	10	0.304
Jan-96	4	BPRM4	0	0.048
Jan-96	4	BPRM4	5	0.111
Jan-96	4	BPRM4	10	0.157
Jan-96	4	BPRM4	15	0.252
Jan-96	5	BPRM5	0	2.260
Jan-96	5	BPRM5	5	2.740
Jan-96	5	BPRM5	10	3.926
Jan-96	5	BPRM5	15	3.660
Jan-96	6	BSAN1	0	0.450
Jan-96	6	BSAN1	5	0.820
Jan-96	7	BSAN2	0	0.021
Jan-96	7	BSAN2	5	0.078
Jan-96	8	BPRA1	0	0.102
Jan-96	8	BPRA1	5	0.111
Jan-96	8	BPRA1	10	0.080
Jan-96	8	BPRA1	15	0.254
Jan-96	9	BPRA2	0	0.100
Jan-96	9	BPRA2	5	0.305
Jan-96	9	BPRA2	10	1.769

(ตารางที่ 39 : ต่อ)

Jan-96	10	SIRA1	0	0.780
Jan-96	10	SIRA1	5	0.798
Jan-96	10	SIRA1	10	0.997
Jan-96	11	SIRA2	0	0.165
Jan-96	11	SIRA2	5	0.189
Jan-96	12	SCIE	0	0.171
Jan-96	12	SCIE	5	0.087

ตารางที่ ๔๙ แสดงปริมาณซัลไฟฟ์ในดินตะกอน (mM/gm wet wt sed) บริเวณที่ศึกษาอย่างทั่วไป
ระหว่างออกของอ่าวไทยตอนบน : เดือนมีนาคม พศ. 2539

date	st	locate	cm.	mM/gm wet wt sed
Mar-96	1	BPRM1	0	3.782
Mar-96	1	BPRM1	5	4.270
Mar-96	2	BPRM2	0	3.819
Mar-96	2	BPRM2	5	2.220
Mar-96	3	BPRM3	0	0.298
Mar-96	3	BPRM3	5	0.115
Mar-96	4	BPRM4	0	0.591
Mar-96	4	BPRM4	5	0.444
Mar-96	5	BPRMS	0	1.558
Mar-96	5	BPRMS	5	1.225
Mar-96	6	BSAN1	0	0.454
Mar-96	6	BSAN1	5	0.743
Mar-96	7	BSAN2	0	0.020
Mar-96	7	BSAN2	5	0.084
Mar-96	8	BPRA1	0	0.020
Mar-96	8	BPRA1	5	0.120
Mar-96	9	BPRA2	0	0.190
Mar-96	9	BPRA2	5	0.335
Mar-96	10	SIRA1	0	0.885
Mar-96	10	SIRA1	5	0.912
Mar-96	11	SIRA2	0	0.145
Mar-96	11	SIRA2	5	0.168
Mar-96	12	SCIE	0	0.140
Mar-96	12	SCIE	5	0.140

ตารางที่ 41 แสดงปริมาณซัลไฟฟ์ในดินตะกอน (mM/gm wet wt sed) บริเวณที่ศึกษาอย่างทั่วไป
ประจำปีของไทยตอนบน : เดือนมิถุนายน พ.ศ. 2539

date	st	locate	cm.	mM/gm wet wt sed
Jun-96	1	BPRM1	0	3.782
Jun-96	1	BPRM1	5	3.889
Jun-96	2	BPRM2	0	3.819
Jun-96	2	BPRM2	5	1.960
Jun-96	3	BPRM3	0	0.298
Jun-96	3	BPRM3	5	0.527
Jun-96	4	BPRM4	0	0.591
Jun-96	4	BPRM4	5	2.322
Jun-96	5	BPRM5	0	1.558
Jun-96	5	BPRM5	5	0.280
Jun-96	6	BSAN1	0	0.454
Jun-96	6	BSAN1	5	0.819
Jun-96	7	BSAN2	0	0.020
Jun-96	7	BSAN2	5	0.080
Jun-96	8	BPRA1	0	0.020
Jun-96	8	BPRA1	5	0.031
Jun-96	9	BPRA1	10	0.017
Jun-96	9	BPRA2	0	0.190
Jun-96	9	BPRA2	5	0.125
Jun-96	10	SIRA1	0	0.687
Jun-96	10	SIRA1	5	0.789
Jun-96	10	SIRA1	10	0.899
Jun-96	11	SIRA2	0	0.176
Jun-96	11	SIRA2	5	0.137
Jun-96	12	SCIE	0	0.130
Jun-96	12	SCIE	5	0.131

ตารางที่ 42 แสดงปริมาณซัลไฟฟ์ในดินตะกอน (mM/gm wet wt sed) บริเวณที่ศึกษาอย่างทั่วไป

ระหว่างวันออกของจ่าวไทรตอนบน : เดือนสิงหาคม พ.ศ. 2539

date	st	locate	cm.	mM/gm wet wt sed
Aug-96	1	BPRM1	0	0.609
Aug-96	1	BPRM1	5	0.498
Aug-96	2	BPRM2	0	0.691
Aug-96	2	BPRM2	5	0.830
Aug-96	3	BPRM3	0	0.082
Aug-96	3	BPRM3	5	0.037
Aug-96	4	BPRM3	10	0.535
Aug-96	4	BPRM4	0	1.001
Aug-96	4	BPRM4	5	0.466
Aug-96	5	BPRM5	0	0.518
Aug-96	5	BPRM5	5	0.548
Aug-96	6	BSAN1	0	0.550
Aug-96	6	BSAN1	5	0.653
Aug-96	7	BSAN2	0	0.145
Aug-96	7	BSAN2	5	0.440
Aug-96	8	BPRA2	0	0.009
Aug-96	8	BPRA2	5	0.058
Aug-96	9	SIRA1	0	0.681
Aug-96	9	SIRA1	5	0.796
Aug-96	9	SIRA1	10	0.911
Aug-96	10	SIRA2	0	0.177
Aug-96	10	SIRA2	5	0.191
Aug-96	11	SCIE	0	0.140
Aug-96	11	SCIE	5	0.140